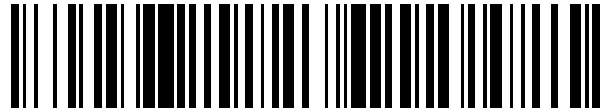


19



OFICINA ESPAÑOLA DE  
PATENTES Y MARCAS

ESPAÑA



11 Número de publicación: **2 413 756**

51 Int. Cl.:

**H04L 5/00**

(2006.01)

12

TRADUCCIÓN DE PATENTE EUROPEA

T3

96 Fecha de presentación y número de la solicitud europea: **03.06.2009 E 11194003 (7)**

97 Fecha y número de publicación de la concesión europea: **01.05.2013 EP 2442477**

54 Título: **Aparato y método para recibir una señal**

30 Prioridad:

**31.10.2008 US 10994408 P**

45 Fecha de publicación y mención en BOPI de la traducción de la patente:

**17.07.2013**

73 Titular/es:

**LG ELECTRONICS INC. (100.0%)  
20, Yeouido-Dong Yeongdeungpo-Gu  
Seoul 150-721 , KR**

72 Inventor/es:

**KO, WOO SUK y  
MOON, SANG CHUL**

74 Agente/Representante:

**DE ELZABURU MÁRQUEZ, Alberto**

**ES 2 413 756 T3**

Aviso: En el plazo de nueve meses a contar desde la fecha de publicación en el Boletín europeo de patentes, de la mención de concesión de la patente europea, cualquier persona podrá oponerse ante la Oficina Europea de Patentes a la patente concedida. La oposición deberá formularse por escrito y estar motivada; sólo se considerará como formulada una vez que se haya realizado el pago de la tasa de oposición (art. 99.1 del Convenio sobre concesión de Patentes Europeas).

**DESCRIPCIÓN**

Aparato y método para recibir una señal.

**Antecedentes de la invención**

**Campo de la invención**

5 La presente invención se refiere a un método para la recepción de una señal y un aparato para la recepción de una señal, y, más particularmente, a un método para la recepción de una señal y un aparato para la recepción de una señal que puedan mejorar la eficacia de transmisión de datos.

**Descripción de la técnica relacionada**

10 Como se ha desarrollado una tecnología de difusión digital, los usuarios han recibido una imagen en movimiento de alta definición (HD). Con el desarrollo continuo de un algoritmo de compresión y alto rendimiento de hardware, se proporcionará a los usuarios un mejor entorno en el futuro. Un sistema de televisión digital (DTV) puede recibir una señal de difusión digital y proporcionar a los usuarios una diversidad de servicios complementarios así como una señal de vídeo y una señal de audio.

15 La difusión de vídeo digital (DVB)-C2 es la tercera especificación que se une a la familia de DVB de sistemas de transmisión de segunda generación. Desarrollado en 1994, en la actualidad DVB-C está implantado en más de 50 millones de sintonizadores de cable por todo el mundo. En conformidad con los demás sistemas de segunda generación DVB, DVB-C2 usa una combinación de códigos BCH y de comprobación de paridad de baja densidad (LDPC). Esta potente corrección de errores sin canal de retorno (FEC) proporciona aproximadamente una mejora de 5 dB de la relación portadora a ruido sobre DVB-C. Los esquemas de entrelazado de bits apropiados optimizan la robustez global del sistema FEC. Extendidas por una cabecera, estas tramas se denominan conexiones de capa física (PLP). Una o más de estas PLP se multiplexan en un segmento de datos. Se aplica entrelazado bidimensional (en los dominios de tiempo y frecuencia) a cada segmento permitiendo al receptor eliminar el impacto de deterioros por ráfagas e interferencia selectiva de frecuencia tal como el ingreso de frecuencia única.

20 Con el desarrollo de estas tecnologías de difusión digital, se aumenta el requisito de un servicio tal como una señal de vídeo y una señal de audio y se aumenta el tamaño de los datos deseado por los usuarios o el número de canales de difusión de manera gradual.

25 El documento "tm3980.DVB-T2.V0.5.5.pdf", ORGANIZACIÓN DE DVB, publicado el 17 de marzo de 2008, describe un método de DVB según la técnica anterior que utiliza modulación OFDM y una trama de señal que comprende símbolos de datos de preámbulo que tienen información de señalización L1 que incluyen información de identificación de PLP (conexión de capa física)

**Compendio de la invención**

Por consiguiente, la presente invención se refiere a un método para la recepción de una señal y un aparato para la recepción de una señal que sustancialmente evitan uno o más problemas debidos a las limitaciones y desventajas de la técnica relacionada.

35 Un objetivo de la presente invención es proporcionar un método según la reivindicación 1.

Aún otro aspecto de la presente invención proporciona un receptor según la reivindicación 6.

**Breve descripción de los dibujos**

40 Los dibujos adjuntos, que se incluyen para proporcionar una comprensión adicional de la invención y se incorporan en esta solicitud y constituyen parte de la misma, ilustran una realización o realizaciones de la invención y junto con la descripción sirven para explicar el principio de la invención. En los dibujos:

La figura 1 es un ejemplo de modulación de amplitud en cuadratura (QAM) de 64 estados usada en el DVB-T europeo.

La figura 2 es un método del código binario reflejado de Gray (BRGC).

La figura 3 es una salida próxima al gaussiano por modificación de 64 QAM que se usa en DVB-T.

45 La figura 4 es la distancia de Hamming entre el par reflejado en BRGC.

La figura 5 son las características en QAM en las que existe un par reflejado para cada eje I y eje Q.

La figura 6 es un método para modificar QAM usando un par reflejado de BRGC.

- La figura 7 es un ejemplo de 64/256/1024/4096 QAM modificada.
- Las figuras 8 – 9 son un ejemplo de 64 QAM modificada usando un par reflejado de BRGC.
- Las figuras 10 – 11 son un ejemplo de 256 QAM modificada usando un par reflejado de BRGC.
- Las figuras 12 – 13 son un ejemplo de 1024 QAM modificada usando un par reflejado de BRGC (0 ~ 511).
- 5 Las figuras 14 – 15 son un ejemplo de 1024 QAM modificada usando un par reflejado de BRGC (512 ~ 1023).
- Las figuras 16 – 17 son un ejemplo de 4096 QAM modificada usando un par reflejado de BRGC (0 ~ 511).
- Las figuras 18 – 19 son un ejemplo de 4096 QAM modificada usando un par reflejado de BRGC (512 ~ 1023).
- Las figuras 20 – 21 son un ejemplo de 4096 QAM modificada usando un par reflejado de BRGC (1024 ~ 1535).
- Las figuras 22 – 23 son un ejemplo de 4096 QAM modificada usando un par reflejado de BRGC (1536 ~2047).
- 10 Las figuras 24 – 25 son un ejemplo de 4096 QAM modificada usando un par reflejado de BRGC (2048 ~2559).
- Las figuras 26 – 27 son un ejemplo de 4096 QAM modificada usando un par reflejado de BRGC (2560 ~3071).
- Las figuras 28 – 29 son un ejemplo de 4096 QAM modificada usando un par reflejado de BRGC (3072 ~3583).
- Las figuras 30 – 31 son un ejemplo de 4096 QAM modificada usando un par reflejado de BRGC (3584 ~4095).
- La figura 32 es un ejemplo de mapeo de bit de QAM modificada donde se modifica 256 QAM usando BRGC.
- 15 La figura 33 es un ejemplo de transformación de MQAM para dar una constelación no uniforme.
- La figura 34 es un ejemplo de sistema de transmisión digital.
- La figura 35 es un ejemplo de un procesador de entrada.
- La figura 36 es una información que puede incluirse en una banda base (BB).
- La figura 37 es un ejemplo de módulo BICM.
- 20 La figura 38 es un ejemplo de codificador acortado/perforado.
- La figura 39 es un ejemplo de aplicación de diversas constelaciones.
- La figura 40 es otro ejemplo de casos en los que se considera la compatibilidad entre sistemas convencionales.
- La figura 41 es una estructura de trama que comprende el preámbulo para la señalización L1 y símbolo de datos para datos PLP.
- 25 La figura 42 es un ejemplo de formador de tramas.
- La figura 43 es un ejemplo del módulo 404 de inserción de piloto mostrado en la figura 4.
- La figura 44 es una estructura de SP.
- La figura 45 es una nueva estructura de SP o patrón piloto (PP) 5'.
- La figura 46 es una estructura de PP5' sugerida.
- 30 La figura 47 es una relación entre preámbulo y símbolo de datos.
- La figura 48 es otra relación entre preámbulo y símbolo de datos.
- La figura 49 es un ejemplo de perfil de retardo de canal de cable.
- La figura 50 es una estructura de piloto disperso que usa  $z=56$  y  $z=112$ .
- La figura 51 es un ejemplo de modulador basado en OFDM.
- 35 La figura 52 es un ejemplo de estructura de preámbulo.
- La figura 53 es un ejemplo de decodificación de preámbulo.
- La figura 54 es un proceso para el diseño de preámbulo más optimizado.

La figura 55 es otro ejemplo de estructura de preámbulo.

La figura 56 es otro ejemplo de decodificación de preámbulo.

La figura 57 es un ejemplo de estructura de preámbulo.

La figura 58 es un ejemplo de decodificación de L1.

5 La figura 59 es un ejemplo de procesador analógico.

La figura 60 es un ejemplo de sistema de receptor digital.

La figura 61 es un ejemplo de procesador analógico usado en el receptor.

La figura 62 es un ejemplo de demodulador.

La figura 63 es un ejemplo de analizador sintáctico de trama.

10 La figura 64 es un ejemplo de demodulador BICM.

La figura 65 es un ejemplo de decodificación LDPC usando acortamiento/perforación.

La figura 66 es un ejemplo de procesador de salida.

La figura 67 es un ejemplo de tasa de repetición de bloque L1 de 8 MHz.

La figura 68 es un ejemplo de tasa de repetición de bloque L1 de 8 MHz.

15 La figura 69 es una nueva tasa de repetición de bloque L1 de 7,61 MHz.

La figura 70 es un ejemplo de señalización L1 que se transmite en cabecera de trama.

La figura 71 es el resultado de simulación de preámbulo y estructura L1.

La figura 72 es un ejemplo de entrelazador de símbolo.

La figura 73 es un ejemplo de una transmisión de bloque L1.

## 20 Descripción de las realizaciones preferidas

Ahora se hará referencia con detalle a las realizaciones preferidas de la presente invención, cuyos ejemplos se ilustran en los dibujos adjuntos. Siempre que sea posible, se usarán los mismos números de referencia por todos los dibujos para hacer referencia a partes iguales o similares.

25 En la siguiente descripción, el término "servicio" es indicativo de cualquiera de los contenidos de difusión que pueden ser transmitidos/recibidos por el aparato de transmisión/recepción de señal.

La modulación de amplitud en cuadratura (QAM) usando el código binario reflejado de Gray (BRGC) se usa como modulación en un entorno de transmisión por difusión en el que se usa la modulación codificada entrelazada de bit (BICM). La figura 1 muestra un ejemplo de 64 QAM usada en la DVB-T europea.

30 El BRGC puede realizarse usando el método mostrado en la figura 2. Un BRGC de  $n$  bits puede realizarse añadiendo un código inverso de BRGC de  $(n-1)$  bits (es decir, código reflejado) detrás de  $(n-1)$  bits, añadiendo ceros delante del BRGC de  $(n-1)$  bits original, y añadiendo unos al principio del código reflejado. El código BRGC realizado con este método tiene una distancia de Hamming entre códigos adyacentes de uno (1). Además, cuando el BRGC se aplica a la QAM, la distancia de Hamming entre un punto y los cuatro puntos más adyacentes al punto, es uno (1) y la distancia de Hamming entre el punto y otros cuatro puntos que son los segundos más adyacentes al punto, es dos (2). Tales características de las distancias de Hamming entre un punto de constelación específico y otros puntos adyacentes pueden doblarse según la regla de mapeo de Gray en QAM.

35 Para hacer que un sistema sea robusto contra el ruido gaussiano blanco aditivo (AWGN), la distribución de señales transmitidas desde un transmisor puede realizarse cerca de la distribución gaussiana. Para poder hacer eso, pueden modificarse las ubicaciones de los puntos en la constelación. La figura 3 muestra una salida cercana a la gaussiana modificando la 64 QAM usada en DVB-T. Tal constelación puede doblarse como QAM no uniforme (NU-QAM).

40 Para realizar una constelación de QAM no uniforme, puede usarse la función de distribución acumulativa gaussiana (CDF). En el caso de 64, 256 o 1024 QAM, es decir,  $2^N$  AM, la QAM puede dividirse en dos N-PAM independientes. Al dividir la CDF gaussiana en  $N$  secciones de idéntica probabilidad y al permitir que un punto de señal en cada sección represente la sección, puede realizarse una constelación con una distribución gaussiana.

45 Dicho de otro modo, la coordenada  $x_j$  de la N-PAM no uniforme recién definida puede definirse del siguiente modo:

$$\int_{-\infty}^{x_j} \frac{1}{\sqrt{2\pi}} e^{-\frac{x^2}{2}} dx = p_j, \quad p_j \in \left\{ \frac{1}{2N}, \frac{3}{2N}, \dots, \frac{2N-1}{2N} \right\} \text{ (Ec. 1)}$$

La figura 3 es un ejemplo de transformación de 64-QAM de DVB-T para dar NU-64 QAM usando los métodos anteriores. La figura 3 representa el resultado de modificar coordenadas de cada eje I y eje Q usando los métodos anteriores y mapeando los puntos de constelación previos respecto a las coordenadas recién definidas. En el caso de QAM de 32, 128 o 512, es decir, QAM de cruz, que no es QAM 2^N, al modificar Pj apropiadamente puede hallarse una nueva coordenada.

Una realización de la presente invención puede modificar QAM usando BRGC al usar características de BRGC. Según se muestra en la figura 4, la distancia de Hamming entre par reflejado en BRGC es uno porque difiere sólo en un bit que se añade al principio de cada código. La figura 5 muestra las características en QAM en las que existe el par reflejado para cada eje I y eje Q. En esta figura, el par reflejado existe a cada lado de la línea de puntos negra.

Al usar pares reflejados existentes en QAM, puede reducirse la potencia media de una constelación QAM mientras se mantiene la regla de mapeo de Gray en QAM. Dicho de otro modo, en una constelación en la que una potencia media se normaliza como 1, puede aumentarse la distancia euclidiana mínima en la constelación. Cuando se aplica esta QAM modificada a sistemas de comunicación o difusión, es posible implementar bien un sistema más robusto contra el ruido usando la misma energía que en un sistema convencional o bien un sistema con el mismo rendimiento como sistema convencional pero que usa menos energía.

La figura 6 muestra un método para modificar QAM usando el par reflejado de BRGC. La figura 6a muestra una constelación y la figura 6b muestra un diagrama de flujo para modificar QAM usando el par reflejado de BRGC. En primer lugar, es necesario hallar un punto objetivo con la mayor potencia entre los puntos de constelación. Los puntos candidatos son puntos en los que ese punto objetivo puede moverse y son los puntos más próximos del par reflejado del punto objetivo. Entonces, es necesario hallar un punto vacío (es decir, un punto que todavía no ha sido tomado por otros puntos) con la menor potencia entre los puntos candidatos y se compara la potencia del punto objetivo y la potencia de un punto candidato. Si la potencia del punto candidato es menor, el punto objetivo se mueve hacia el punto candidato. Estos procesos se repiten hasta que una potencia media de los puntos en constelación alcanza un mínimo mientras se mantiene la regla de mapeo de Gray.

La figura 7 muestra un ejemplo de 64/256/1024/4096-QAM modificada. Los valores mapeados de Gray se corresponden con las figuras 8 ~ 31 respectivamente. Además de estos ejemplos, pueden realizarse otros tipos de QAM modificada que permitan una optimización de potencia idéntica. Esto se debe a que un punto objetivo puede moverse a múltiples puntos candidatos. La QAM modificada sugerida puede aplicarse no sólo a la 64/256/1024/4096-QAM, sino también a la QAM en cruz, una QAM de mayor tamaño, o modulaciones que usan un BRGC distinto de QAM.

La figura 32 muestra un ejemplo de mapeo de bit de QAM modificada en donde la 256-QAM se modifica usando BRGC. La figura 32a y la figura 32b muestran el mapeo de los bits más significativos (MSB). Los puntos indicados como círculos rellenos representan mapeos de unos y los puntos indicados como círculos en blanco representan mapeos de ceros. De la misma manera, cada bit se mapea como se muestra en las figuras (a) a (h) en la figura 32, hasta que se mapean los bits menos significativos (LSB). Según se muestra en la figura 32, la QAM modificada puede permitir la decisión de bit usando sólo los ejes I o Q como QAM convencional, excepto por un bit que se encuentra junto al MSB (figura 32c y figura 32d). Al usar estas características, puede realizarse un receptor simple modificando parcialmente un receptor para QAM. Puede implementarse un receptor eficaz mediante la comprobación de ambos valores I y Q únicamente cuando se determina el bit junto al MSB y calculando sólo I o Q para el resto de bits. Este método puede aplicarse a LLR aproximada, LLR exacta o decisión firme.

Al usar la QAM modificada o MQAM, que usa las características del BRGC anterior, puede realizarse la constelación no uniforme o NU-MQAM. En la ecuación anterior en la que se usa la CDF gaussiana, Pj puede modificarse para adaptarse a MQAM. Al igual que QAM, en MQAM, pueden considerarse dos PAM con eje I y eje Q. Sin embargo, a diferencia de QAM, en la que varios puntos correspondientes a un valor de cada eje PAM son idénticos, el número de puntos cambia en MQAM. Si un número de puntos que corresponden al valor de orden j de PAM se define como nj en una MQAM donde existe un total de M puntos de constelación, entonces Pj puede definirse como sigue:

$$\int_{-\infty}^{x_j} \frac{1}{\sqrt{2\pi}} e^{-\frac{x^2}{2}} dx = p_j, \quad p_j = \frac{\sum_{i=0}^{i=j-1} n_i + \frac{n_j}{2}}{M}, \quad n_0 = 0 \text{ (Ec. 2)}$$

Al usar el  $P_j$  recién definido, MQAM puede transformarse en una constelación no uniforme.  $P_j$  puede definirse como sigue para el ejemplo de 256-MQAM.

$$P_j \in \left\{ \frac{2.5}{256}, \frac{10}{256}, \frac{22}{256}, \frac{36}{256}, \frac{51}{256}, \frac{67}{256}, \frac{84}{256}, \frac{102}{256}, \frac{119.5}{256}, \frac{136.5}{256}, \frac{154}{256}, \frac{172}{256}, \frac{189}{256}, \frac{205}{256}, \frac{220}{256}, \frac{234}{256}, \frac{246}{256}, \frac{253.5}{256} \right\}$$

5 La figura 33 es un ejemplo de transformación de MQAM para dar una constelación no uniforme. La NU-MQAM realizada usando estos métodos puede conservar características de receptores MQAM con coordenadas modificadas de cada PAM. De este modo, puede implementarse un receptor eficaz. Además, puede implementarse un sistema más robusto contra el ruido que el NU-QAM previo. Para un sistema de transmisión por difusión más eficaz, es posible hibridar MQAM y NU-MQAM. Dicho de otro modo, puede implementarse un sistema más robusto  
10 contra el ruido usando MQAM para un entorno en el que se usa un código de corrección de errores con una alta tasa de código y si no usando NU-MQAM. Para tal caso, un transmisor puede permitir que un receptor tenga información de tasa de código de un código de corrección de errores usado actualmente y un tipo de modulación usado actualmente de tal manera que el receptor pueda demodular según la modulación usada actualmente.

15 La figura 34 muestra un ejemplo de sistema de transmisión digital. Las entradas pueden comprender varios flujos de MPEG-TS o flujos de GSE (encapsulación de flujo general). Un módulo 101 de procesador de entrada puede añadir parámetros de transmisión al flujo de entrada y realizar la planificación para un módulo 102 BICM. El módulo 102 BICM puede añadir redundancia y datos de entrelazado para la corrección de error de canal de transmisión. Un formador 103 de tramas puede formar tramas añadiendo pilotos e información de señalización de capa física. Un modulador 104 puede realizar modulación en símbolos de entrada en métodos eficaces. Un procesador analógico 105 puede realizar diversos procesos para convertir señales digitales de entrada en señales analógicas de salida.

20 La figura 35 muestra un ejemplo de un procesador de entrada. El flujo MPEG-TS o GSE de entrada puede ser transformado por el preprocesador de entrada en un total de  $n$  flujos que se procesarán de manera independiente. Cada uno de esos flujos puede ser bien una trama TS completa que incluye múltiples componentes de servicio o bien una trama TS mínima que incluye componente de servicio (es decir, vídeo o audio). Además, cada uno de estos flujos puede ser un flujo GSE que transmite bien múltiples servicios o bien un único servicio.

25 La interfaz 202-1 de entrada puede asignar un número de bits de entrada igual a la máxima capacidad de datos de campo de una trama de banda base (BB). Puede insertarse un relleno para completar la capacidad de bloque de código LDPC/BCH. El módulo 203-1 sincronizador de flujo de entrada puede proporcionar un mecanismo para regenerar, en el receptor, el reloj del flujo de transporte (o flujo genérico empaquetado), con el fin de garantizar un retardo y tasas de bit constantes de extremo a extremo.

30 Con el fin de permitir la recombinación de flujo de transporte sin requerir memoria adicional en el receptor, los flujos de transporte de entrada son retardados por compensadores 204-1~ $n$  de retardo que consideran parámetros de entrelazado de las PLP de datos en un grupo y la correspondiente PLP común. Los módulos 205-1~ $n$  de borrado de paquetes nulos pueden aumentar la eficacia de transmisión eliminando paquetes nulos insertados para un caso de servicio de VBR (tasa de bit variable). Los módulos 206-1~ $n$  de codificador de comprobación de redundancia cíclica (CRC) pueden añadir paridad CRC para aumentar la fiabilidad de transmisión de la trama BB. Los módulos 207-1~ $n$  de inserción de cabecera BB pueden añadir la cabecera de trama BB en una parte de comienzo de la trama BB. La información que puede incluirse en la cabecera BB se muestra en la figura 36.

35 Un módulo 208 de fusionador/segmentador puede realizar segmentación de trama BB desde cada PLP, fusionando las tramas BB de múltiples PLP, y planificando cada trama BB dentro de una trama de transmisión. Por tanto, el módulo 208 de fusionador/segmentador puede emitir información de señalización L1 que se refiere a una asignación de PLP en la trama. Finalmente, un módulo 209 de aleatorizador BB puede aleatorizar los flujos de bits de entrada para minimizar la correlación entre los bits dentro de los flujos de bits. Los módulos sombreados en la figura 35 son módulos usados cuando el sistema de transmisión usa una única PLP, los demás módulos en la figura 35 son módulos usados cuando el dispositivo de transmisión usa múltiples PLP.

40 La figura 37 muestra una realización de módulo BICM. La figura 37a muestra una trayectoria de datos y la figura 37b muestra una trayectoria L1 de módulo BICM. Un módulo 301 de codificador externo y un módulo 303 de codificador interno pueden añadir redundancia a los flujos de bits de entrada para corrección de errores. Un módulo 302 de entrelazador externo y un módulo 304 de entrelazador interno pueden entrelazar bits para evitar el error en ráfaga. El módulo 302 de entrelazador externo puede omitirse si el BICM es específicamente para DVB-C2. Un módulo 305 de demultiplexador de bit puede controlar la fiabilidad de cada salida de bit del módulo 304 de entrelazador interno. Un módulo 306 de mapeador de símbolo puede mapear flujos de bits de entrada en flujos de símbolos. En este momento, es posible usar cualquiera de entre una QAM convencional, una MQAM que use el BRGC mencionado anteriormente para una mejora de rendimiento, una NU-QAM que use modulación no uniforme, o una NU-MQAM que use modulación no uniforme aplicada a BRGC para una mejora de rendimiento. Para construir un sistema que  
45 sea más robusto contra el ruido, pueden considerarse las combinaciones de modulaciones que usan MQAM y/o NU-MQAM dependiendo de la tasa de código del código de corrección de error y la capacidad de constelación. En este

momento, el módulo 306 de mapeador de símbolo puede usar una constelación apropiada según la tasa de código y la capacidad de constelación. La figura 39 muestra un ejemplo de tales combinaciones.

El caso 1 muestra un ejemplo del uso de sólo NU-MQAM a baja tasa de código para la implementación simplificada de sistema. El caso 2 muestra un ejemplo de uso de constelación optimizada en cada tasa de código. El transmisor puede enviar información acerca de la tasa de código del código de corrección de error y la capacidad de constelación al receptor de tal manera que el receptor puede usar una constelación apropiada. La figura 40 muestra otro ejemplo de los casos en los que se considera la compatibilidad entre los sistemas convencionales. Además de los ejemplos, son posibles combinaciones adicionales para la optimización del sistema.

El módulo 307 de inserción de cabecera ModCod mostrado en la figura 37 puede tomar información de realimentación de codificación y modulación adaptativa (ACM)/codificación y modulación variable (VCM) y añadir información de parámetro usada en la codificación y modulación a un bloque FEC como cabecera. El tipo de modulación/cabecera de tasa de código (ModCod) puede incluir la siguiente información:

- \* Tipo de FEC (1 bit) - LDPC larga o corta
- \* Tasa de código (3 bits)
- \* Modulación (3 bits) - hasta 64K QAM
- \* Identificador de PLP (8 bits)

El módulo 308 de entrelazador de símbolo puede realizar el entrelazado en el dominio de símbolo para obtener efectos de entrelazado adicionales. Procesos similares realizados en la trayectoria de datos pueden realizarse sobre la trayectoria de señalización L1 pero con parámetros (301-1 ~ 308-1) posiblemente diferentes. En este punto, puede usarse un módulo (303-1) de código acortado/perforado para código interno.

La figura 38 muestra un ejemplo de codificación LDPC usando acortamiento/perforación. El proceso de acortamiento puede realizarse en bloques de entrada que tienen menos bits que un número de bits requerido para la codificación LDPC puesto que muchos bits cero requeridos para la codificación LDPC pueden rellenarse (301c). Los flujos de bits de entrada rellenos con ceros pueden tener bits de paridad a través de la codificación LDPC (302c). En este momento, para flujos de bits que corresponden a flujos de bits originales, pueden eliminarse los ceros (303c) y para los flujos de bits de paridad, puede realizarse perforación (304c) según tasas de código. Estos flujos de bits de información y flujos de bits de paridad procesados pueden multiplexarse en secuencias originales y emitirse (305c).

La figura 41 muestra una estructura de trama que comprende el preámbulo para la señalización L1 y el símbolo de datos para datos de PLP. Puede verse que los símbolos de preámbulo y de datos se generan cíclicamente, usando una trama como unidad. Los símbolos de datos comprenden el tipo 0 de PLP que se transmite usando una modulación/codificación fija y el tipo 1 de PLP que se transmite usando una modulación/codificación variable. Para el tipo 0 de PLP, información tal como modulación, tipo de FEC y tasa de código FEC se transmite en el preámbulo (véase la figura 42 para el módulo 401 de inserción de cabecera de trama). Para el tipo 1 de PLP, la información correspondiente puede transmitirse en la cabecera de bloque FEC de un símbolo de datos (véase la figura 37 para el módulo 307 de inserción de cabecera ModCod). Mediante la separación de tipos de PLP, la sobrecarga ModCod puede reducirse en un 3-4% desde una tasa de transmisión total, para el tipo 0 de PLP que se transmite a una tasa de transmisión de bits fija. En un receptor, para PLP de modulación/codificación fija de tipo 0 de PLP, el eliminador r401 de cabecera de trama mostrado en la figura 63 puede extraer información sobre modulación y tasa de código FEC y proporcionar la información extraída a un módulo de decodificación BICM. Para PLP decodificación/modulación variable de tipo 1 de PLP, los módulos de extractor r307, r307-1 ModCod mostrados en la figura 64 pueden extraer y proporcionar los parámetros necesarios para decodificación BICM.

La figura 42 muestra un ejemplo de un formador de tramas. Un módulo 401 de inserción de cabecera de trama puede formar una trama a partir de flujos de símbolos de entrada y puede añadir una cabecera de trama al frente de cada trama transmitida. La cabecera de trama puede incluir la siguiente información:

- \* Número de canales unidos (4 bits)
- \* Intervalo de seguridad (2 bits)
- \* PAPR (2 bits)
- \* Patrón piloto (2 bits)
- \* Identificación de sistema digital (16 bits)
- \* Identificación de trama (16 bits)

- \* Longitud de trama (16 bits) - número de símbolos de multiplexación por división de frecuencia ortogonal (OFDM) por trama
  - \* Longitud de supertrama (16 bits) - número de tramas por supertrama
  - \* número de PLP (8 bits)
- 5      \* para cada PLP
- Identificación de PLP (8 bits)
  - Id de unión de canal (4 bits)
  - Inicio de PLP (9 bits)
  - Tipo de PLP (2 bits) - PLP común u otras
- 10      Tipo de carga útil de PLP (5 bits)
- Tipo de MC (1 bit) - modulación y codificación fija/variable
  - si tipo MC = modulación y codificación fija
    - Tipo de FEC (1 bit) - LDPC larga o corta
    - Tasa de código (3 bits)
- 15      Modulación (3 bits) - hasta 64K QAM
- fin si;
  - Número de canales de ranura (2 bits)
  - para cada ranura
    - Inicio de ranura (9 bits)
- 20      Anchura de ranura (9 bits)
- fin para;
  - Anchura de PLP (9 bits) - número máximo de bloques FEC de PLP
  - Tipo de entrelazado de tiempo PLP (2 bits)
  - fin para;
- 25      \* CRC-32 (32 bits)

30 El entorno de unión de canal se supone para la información L1 transmitida en la cabecera de trama y los datos que corresponden a cada segmento de datos se definen como PLP. Por tanto, para cada canal usado en la unión se necesita información tal como identificador PLP, identificador de unión de canal y dirección de inicio PLP. Una realización de esta invención sugiere transmitir el campo ModCod en cabecera de trama FEC si el tipo de PLP soporta modulación/codificación variable y transmitir el campo ModCod en cabecera de trama si el tipo de PLP soporta modulación/codificación fija para reducir la sobrecarga de señalización. Además, si existe una banda de ranura para cada PLP, al transmitir la dirección de inicio de la ranura y su anchura, puede hacerse innecesario decodificar portadoras correspondientes en el receptor.

35 La figura 43 muestra un ejemplo de patrón piloto 5 (PP5) aplicado en un entorno de unión de canal. Según se muestra, si las posiciones SP son coincidentes con posiciones piloto de preámbulo, puede darse la estructura piloto irregular.

40 La figura 43a muestra un ejemplo de módulo 404 de inserción de piloto como se muestra en la figura 42. Como se representa en la figura 43, si se usa una banda de frecuencia única (por ejemplo, 8 MHz), el ancho de banda disponible es de 7,61 MHz, pero si se unen bandas de frecuencia múltiples, pueden eliminarse las bandas de seguridad, de este modo la eficacia de frecuencia puede aumentar enormemente. La figura 43b es un ejemplo de módulo 504 de inserción de preámbulo como se muestra en la figura 51 que se transmite en la parte frontal de la trama e incluso con unión de canal, el preámbulo tiene una tasa de repetición de 7,61 MHz, que es el ancho de banda de bloque L1. Esta es una estructura que considera el ancho de banda de un sintonizador que realiza exploración de canal inicial.

Los patrones piloto existen tanto para los símbolos de preámbulo como de datos. Para el símbolo de datos, pueden usarse patrones (SP) de piloto dispersos. El patrón piloto 5 (PP5) y el patrón piloto 7 (PP7) de T2 pueden ser buenos candidatos para la interpolación sólo de frecuencia. PP5 tiene  $x=12$ ,  $y=4$ ,  $z=48$  para  $GI=1/64$  y PP7 tiene  $x=24$ ,  $y=4$ ,  $z=96$  para  $GI=1/128$ . La interpolación adicional de tiempo también es posible para una mejor estimación de canal.

5 Los patrones piloto para el preámbulo pueden cubrir todas las posiciones piloto posibles para la adquisición inicial de canal. Además, las posiciones piloto de preámbulo deberían ser coincidentes con las posiciones SP y se desea un patrón piloto único tanto para el preámbulo como para SP. También podrían usarse pilotos de preámbulo para la interpolación en tiempo y todo preámbulo podría tener un patrón piloto idéntico. Estos requisitos son importantes para la detección C2 en la exploración y son necesarios para la estimación de desplazamiento de frecuencia con correlación de secuencia de aleatorización. En un entorno de unión de canal, la coincidencia en las posiciones piloto debería mantenerse también para la unión de canal ya que la estructura piloto irregular puede degradar el rendimiento de la interpolación.

10 En detalle, si una distancia  $z$  entre pilotos dispersos (SP) en un símbolo OFDM es 48 y si una distancia  $y$  entre SP correspondientes a una portadora SP específica a lo largo del eje de tiempo es 4, una distancia  $x$  eficaz después de la interpolación en tiempo se vuelve 12. Esto es cuando una fracción de intervalo de seguridad (GI) es  $1/64$ . Si la fracción GI es  $1/128$ , puede usarse  $x=24$ ,  $y=4$  y  $z=96$ . Si se usa la unión de canal, las posiciones SP pueden hacerse coincidir con las posiciones piloto de preámbulo al generar puntos no continuos en la estructura de piloto disperso.

15 En este momento, las posiciones piloto de preámbulo pueden coincidir con todas las posiciones SP de símbolo de datos. Cuando se usa la unión de canal, el segmento de datos en el que se transmite un servicio puede determinarse independientemente de la granularidad del ancho de banda de 8 MHz. Sin embargo, para reducir la sobrecarga para direccionar segmentos de datos, puede seleccionarse la transmisión para empezar en la posición SP y acabar en la posición SP.

20 Cuando un receptor recibe tales SP, si es necesario, el módulo r501 de estimación de canal mostrado en la figura 62 puede realizar una interpolación de tiempo para obtener los pilotos mostrados con líneas de puntos en la figura 43 y realizar la interpolación de frecuencia. En este momento, para puntos no continuos cuyos intervalos se designan como 32 en la figura 43, tanto si se realizan interpolaciones a derecha e izquierda separadamente como interpolaciones en un solo lado entonces puede implementarse la realización de la interpolación en el otro lado usando las posiciones piloto ya interpoladas cuyo intervalo es 12 como un punto de referencia. En este momento, la anchura del segmento de datos puede variar dentro de 7,61 MHz, de este modo un receptor puede minimizar el consumo de energía realizando una estimación de canal y decodificando únicamente las subportadoras necesarias.

25 La figura 44 muestra otro ejemplo de PP5 aplicado en entorno de unión de canal o una estructura de SP para mantener la distancia eficaz  $x$  como 12 para evitar la estructura SP irregular mostrada en la figura 43 cuando se usa una unión de canal. La figura 44a es una estructura de SP para símbolo de datos y la figura 44b es una estructura de SP para símbolo de preámbulo.

30 Como se muestra, si la distancia SP se mantiene consistente en caso de unión de canal, no habrá problemas en la interpolación de frecuencia pero las posiciones piloto entre el símbolo de datos y el preámbulo pueden no coincidir. Dicho de otro modo, esta estructura no necesita una estimación de canal adicional para una estructura SP irregular, sin embargo, las posiciones SP usadas en unión de canal y las posiciones piloto de preámbulo se vuelven diferentes para cada canal.

35 La figura 45 muestra una nueva estructura SP o PP5' para proporcionar una solución a los dos problemas previamente mencionados en el entorno de unión de canal. Específicamente, una distancia piloto de  $x=16$  puede solucionar esos problemas. Para conservar la densidad piloto o para mantener la misma sobrecarga, un PP5' puede tener  $x=16$ ,  $y=3$ ,  $z=48$  para  $GI=1/64$  y un PP7' puede tener  $x=16$ ,  $y=6$ ,  $z=96$  para  $GI=1/128$ . La capacidad de interpolación sólo de frecuencia todavía puede mantenerse. Las posiciones piloto se representan en la figura 45 por comparación con la estructura PP5.

40 La figura 46 muestra un ejemplo de un nuevo patrón SP o estructura PP5' en entorno de unión de canal. Como se muestra en la figura 46, si se usa cualquier canal o unión de canal único, puede proporcionarse una distancia piloto eficaz  $x=16$ . Además, como las posiciones SP pueden hacerse coincidir con las posiciones piloto de preámbulo, puede evitarse el deterioro de la estimación de canal provocado por la irregularidad SP o las posiciones SP no coincidentes. Dicho de otro modo, la posición SP no irregular existe para el interpolador de frecuencia y se proporciona coincidencia entre el preámbulo y las posiciones SP.

45 Consecuentemente, los nuevos patrones SP propuestos pueden ser ventajosos porque puede usarse un único patrón SP para un canal tanto único como unido; no puede provocarse ninguna estructura piloto irregular, de este modo es posible una buena estimación de canal; las posiciones SP piloto y de preámbulo pueden mantenerse coincidentes; la densidad piloto puede mantenerse igual que para PP5 y PP7 respectivamente; y también puede conservarse la capacidad de interpolación sólo de frecuencia.

Además, la estructura de preámbulo puede cumplir con los requisitos tal como que las posiciones piloto de preámbulo deberían cubrir todas las posiciones SP posibles para la adquisición de canal inicial; el número máximo

de portadoras debería ser 3409 (7,61 MHz) para la exploración inicial; deberían usarse exactamente los mismos patrones piloto y flujo de aleatorización para la detección C2; y no se requiere ningún preámbulo específico de detección como P1 en T2.

5 En términos de relación con estructura de trama, la granularidad de posición de segmento de datos puede modificarse hasta 16 portadoras en lugar de 12, de este modo puede darse menos sobrecarga de direccionamiento de posición y no se esperan otros problemas en relación a la condición de segmento de datos, la condición de ranura nula, etc.

10 Por tanto, en el módulo r501 de estimación de canal de la figura 62, pueden usarse pilotos en todo preámbulo cuando se realiza interpolación en tiempo de SP de símbolo de datos. Por tanto, puede mejorarse la adquisición de canal y estimación de canal en los límites de trama.

15 Ahora, considerando los requisitos referidos al preámbulo y a la estructura piloto, hay consenso en que las posiciones de pilotos de preámbulo y SP deberían coincidir independientemente de la unión de canal; el número de portadoras totales en el bloque L1 debería poder dividirse por la distancia piloto para evitar una estructura irregular en el borde de banda; los bloques L1 deberían repetirse en el dominio de frecuencia; y los bloques L1 siempre deberían poder decodificarse en la posición de ventana de sintonizador arbitrario. Unos requisitos adicionales serían que las posiciones y patrones piloto deberían repetirse por periodos de 8 MHz; el desplazamiento de frecuencia de portadora correcto debería estimarse sin conocer la unión de canal; y la decodificación de L1 (reordenar) es imposible antes de que se compense el desplazamiento de frecuencia.

20 La figura 47 muestra una relación entre símbolo de datos y preámbulo cuando se usan las estructuras de preámbulo como se muestra en la figura 52 y la figura 53. El bloque L1 puede repetirse en periodos de 6 MHz. Para la decodificación de L1, debería hallarse tanto el desplazamiento de frecuencia como el patrón de cambio de preámbulo. La decodificación de L1 no es posible en la posición de sintonizador arbitrario sin información de unión de canal y un receptor no puede diferenciar entre valor de cambio de preámbulo y desplazamiento de frecuencia.

25 De este modo, es necesario obtener un receptor, específicamente para el eliminador r401 de cabecera de trama mostrado en la figura 63 para realizar una estructura de unión de canal, de decodificación de señal L1. Puesto que se conoce la cantidad de cambio de preámbulo esperada en dos regiones sombreadas verticalmente en la figura 47, el módulo r505 sincronizador tiempo/frecuencia en la figura 62 puede estimar el desplazamiento de frecuencia de portadora. Basándose en la estimación, la trayectoria (r308-1 ~ r301-1) de señalización L1 en la figura 64 puede decodificar el bloque L1.

30 La figura 48 muestra una relación entre símbolo de datos y preámbulo cuando se usa la estructura de preámbulo como se muestra en la figura 55. El bloque L1 puede repetirse en periodos de 8 MHz. Para decodificación de L1, hay que encontrar el desplazamiento sólo de frecuencia y puede no requerirse el conocimiento de unión de canal. El desplazamiento de frecuencia puede estimarse fácilmente usando la secuencia conocida de secuencia binaria pseudoaleatoria (PRBS). Según se muestra en la figura 48, los símbolos de preámbulo y de datos están alineados, de este modo puede hacerse innecesario buscar una sincronización adicional. Por tanto, para un receptor, específicamente para el módulo r401 eliminador de cabecera de trama mostrado en la figura 63, es posible que sólo sea necesario obtener el pico de correlación con secuencia de aleatorización piloto para realizar la decodificación de señal L1. El sincronizador r505 de tiempo/frecuencia en la figura 62 puede estimar el desplazamiento de frecuencia de portadora desde la posición de pico.

40 La figura 49 muestra un ejemplo de perfil de retardo de canal de cable.

45 Desde el punto de vista de diseño piloto, el GI actual ya sobre-protege la dispersión de retardo de canal de cable. En el peor de los casos, puede ser una opción volver a diseñar el modelo de canal. Para repetir el patrón exactamente cada 8 MHz, la distancia piloto debería ser un divisor de 3584 portadoras ( $z=32$  o  $56$ ). Una densidad piloto de  $z=32$  puede incrementar la sobrecarga piloto, de este modo puede escogerse  $z=56$ . Una cobertura de retardo un poco menor puede no ser importante en el canal de cable. Por ejemplo, puede ser  $8 \mu\text{s}$  para PP5' y  $4 \mu\text{s}$  para PP7' en comparación con  $9,3 \mu\text{s}$  (PP5) y  $4,7 \mu\text{s}$  (PP7). Retardos significativos pueden ser cubiertos por ambos patrones piloto incluso en el peor de los casos. Para la posición piloto de preámbulo, no son necesarias más que todas las posiciones SP en símbolo de datos.

50 Si se puede ignorar la trayectoria de retardo de  $-40 \text{ dB}$ , la dispersión de retardo real puede volverse  $2,5 \mu\text{s}$ ,  $1/64 \text{ GI} = 7 \mu\text{s}$ , o  $1/128 \text{ GI} = 3,5 \mu\text{s}$ . Esto muestra que el parámetro de distancia piloto,  $z=56$  puede ser un valor lo suficientemente bueno. Además,  $z=56$  puede ser un valor conveniente para estructurar el patrón piloto que permite la estructura de preámbulo mostrada en la figura 48.

55 La figura 50 muestra la estructura de piloto dispersa que usa  $z=56$  y  $z=112$  que se construye en el módulo 404 de inserción de pilotos en la figura 42. Se proponen PP5' ( $x=14, y=4, z=56$ ) y PP7' ( $x=28, y=4, z=112$ ). Podrían insertarse portadoras de borde para cerrar el borde.

Tal como se muestra en la figura 50, los pilotos están alineados a 8 MHz con respecto a cada borde de la banda, cada posición piloto y estructura piloto puede repetirse cada 8 MHz. De este modo, esta estructura puede soportar la estructura de preámbulo mostrada en la figura 48. Además, puede usarse una estructura piloto común entre símbolos de datos y preámbulo. Por tanto, el módulo r501 de estimación de canal en la figura 62 puede realizar estimación de canal usando interpolación en los símbolos de datos y preámbulo porque no puede producirse ningún patrón piloto irregular, independientemente de la posición de la ventana que se decide por ubicaciones de segmento de datos. En este momento, el uso de interpolación sólo de frecuencia puede ser suficiente para compensar la distorsión de canal por dispersión de retardo. Si adicionalmente se realiza interpolación en tiempo, puede realizarse una estimación de canal más precisa.

Consecuentemente, en el nuevo patrón piloto propuesto, la posición piloto y el patrón pueden repetirse basándose en un periodo de 8 MHz. Puede usarse un único patrón piloto para símbolos de datos y preámbulo. La decodificación de L1 puede ser siempre posible sin conocimiento de la unión de canal. Además, el patrón piloto propuesto puede no afectar a la comunidad con T2 porque puede usarse la misma estrategia piloto de patrón piloto disperso; T2 ya usa 8 patrones piloto diferentes; y puede no aumentarse una complejidad de receptor significativa por patrones piloto modificados. Para una secuencia de aleatorización piloto, el periodo de PRBS puede ser 2047 (secuencia m); la generación PRBS puede reiniciarse cada 8 MHz, de los que el periodo es 3584; la tasa de repetición piloto de 56 también puede ser primos entre sí con 2047; y puede no esperarse un problema de PAPR.

La figura 51 muestra un ejemplo de un modulador basado en OFDM. Los flujos de símbolo de entrada pueden ser transformados en dominio de tiempo por el módulo 501 IFFT. En caso necesario, puede reducirse la relación entre potencia pico y promedio (PAPR) en el módulo 502 de reducción PAPR. Para métodos PAPR, puede usarse reserva de tono o extensión de constelación activa (ACE). El módulo 503 de inserción de GI puede copiar al menos parte de un símbolo OFDM eficaz para rellenar el intervalo de seguridad en forma de prefijo cíclico.

El módulo 504 de inserción de preámbulo puede insertar un preámbulo en el frente de cada trama transmitida de tal manera que un receptor pueda detectar una señal digital, trama y adquirir adquisición de desplazamiento de tiempo/frecuencia. En este momento, la señal de preámbulo puede realizar señalización de capa física tal como tamaño FFT (3 bits) y tamaño de intervalo de seguridad (3 bits). El módulo 504 de inserción de preámbulo puede omitirse si el modulador es específicamente para DVB-C2.

La figura 52 muestra un ejemplo de una estructura de preámbulo para unión de canal, generada en el módulo 504 de inserción de preámbulo en la figura 51. Un bloque L1 completo debería "poder decodificarse siempre" en cualquier posición de la ventana de sintonización de 7,61 MHz arbitraria y no debería producirse pérdida de señalización L1 independientemente de la posición de ventana de sintonizador. Según se muestra, los bloques L1 pueden repetirse en dominio de frecuencia en periodos de 6 MHz. El símbolo de datos puede unirse por canal para cada 8 MHz. Si, para decodificación de L1, un receptor usa un sintonizador tal como el sintonizador r603 representado en la figura 61 que usa un ancho de banda de 7,61 MHz, el eliminador r401 de cabecera de trama en la figura 63 necesita volver a disponer el bloque L1 con cambio cíclico recibido (figura 53) a su forma original. Esta redistribución es posible porque el bloque L1 se repite para cada bloque de 6 MHz. La figura 53a puede reordenarse en la figura 53b.

La figura 54 muestra un proceso para diseñar un preámbulo más optimizado. La estructura de preámbulo de la figura 52 usa sólo 6 MHz del ancho de banda de sintonizador total de 7,61 MHz para la decodificación de L1. En términos de eficacia espectral, el ancho de banda de sintonizador de 7,61 MHz no se utiliza completamente. Por tanto, puede haber una optimización adicional en la eficacia espectral.

La figura 55 muestra otro ejemplo de estructura de preámbulo o estructura de símbolos de preámbulo para una eficacia espectral total, que se genera en el módulo 401 de inserción de cabecera de trama en la figura 42. Justo como el símbolo de datos, los bloques L1 pueden repetirse en dominio de frecuencia en periodos de 8 MHz. Un bloque L1 completo sigue siendo todavía "siempre decodificable" en cualquier posición de ventana de sintonizador de 7,61 MHz arbitraria. Tras la sintonización, los datos de 7,61 MHz pueden considerarse como un código perforado de manera virtual. Teniendo exactamente el mismo ancho de banda para los símbolos de datos y preámbulo y exactamente la misma estructura piloto para los símbolos de datos y preámbulo se puede maximizar la eficacia espectral. Otras características tales como propiedad de cambio cíclico y no enviar el bloque L1 en caso de que no haya segmento de datos pueden mantenerse sin cambios. Dicho de otro modo, el ancho de banda de los símbolos de preámbulo puede ser idéntico al ancho de banda de símbolos de datos o, tal como se muestra en la figura 57, el ancho de banda de los símbolos de preámbulo puede ser el ancho de banda del sintonizador (en este caso, es 7,61 MHz). El ancho de banda de sintonizador puede definirse como un ancho de banda que corresponde a un número de portadoras activas totales cuando se usa un único canal. Es decir, el ancho de banda del símbolo de preámbulo puede corresponder al número de portadoras activas totales (en este caso, es 7,61 MHz).

La figura 56 muestra un código perforado de manera virtual. Los datos de 7,61 MHz entre el bloque L1 de 8 MHz pueden considerarse como de código perforado. Cuando un sintonizador r603 mostrado en la figura 61 usa un ancho de banda de 7,61 MHz para decodificación L1, el eliminador r401 de cabecera de trama en la figura 63 necesita redistribuir el bloque L1 con cambio cíclico, recibido en su forma original tal como se muestra en la figura

56. En este momento, se realiza decodificación de L1 usando todo el ancho de banda del sintonizador. Una vez que se redispone el bloque L1, un espectro del bloque L1 redispuesto puede tener una región en blanco dentro del espectro tal como se muestra en el lado derecho superior de la figura 56 porque un tamaño original del bloque L1 es un ancho de banda de 8 MHz.
- 5 Una vez que la región en blanco se ha rellenado con ceros, o bien después de desentrelazado en dominio de símbolo por parte del desentrelazador r403 de frecuencia en la figura 63 o por el desentrelazador r308-1 de símbolo en la figura 64 o después de desentrelazado en dominio de bits por el demapeador r306-1 de símbolo, el multiplexador r305-1 de bit y el desentrelazador r304-1 interno en la figura 64, el bloque puede tener una forma que aparece como perforada tal como se muestra en el lado derecho inferior de la figura 56.
- 10 Este bloque L1 puede decodificarse en el módulo r303-1 de decodificación perforada/acortada en la figura 64. Mediante el uso de esta estructura de preámbulo, puede utilizarse todo el ancho de banda de sintonizador, de este modo puede aumentarse la eficacia espectral y la ganancia de codificación. Además, puede usarse una estructura piloto y ancho de banda idénticos para los símbolos de datos y preámbulo.
- 15 Además, si el ancho de banda de preámbulo o si el ancho de banda de símbolos de preámbulo se fija como un ancho de banda de sintonizador según se muestra en la figura 58, (es de 7,61 MHz en el ejemplo), puede obtenerse un bloque L1 completo tras la redistribución incluso sin perforación. Dicho de otro modo, para una trama con símbolos de preámbulo, en donde los símbolos de preámbulo tienen por lo menos un bloque de capa 1 (L1), puede decirse, que el bloque L1 tiene 3408 subportadoras activas y las 3408 subportadoras activas corresponden a 7,61 MHz de una banda de radiofrecuencia (RF) de 8 MHz.
- 20 De este modo, puede maximizarse la eficacia espectral y el rendimiento de decodificación de L1. Dicho de otro modo, en un receptor, la decodificación puede realizarse en el módulo r303-1 de decodificación perforada/acortada en la figura 64, después de realizar sólo desentrelazado en el dominio de símbolo.
- Consecuentemente, la nueva estructura de preámbulo propuesta puede ser ventajosa porque es completamente compatible con el preámbulo usado previamente excepto porque el ancho de banda es diferente; los bloques L1 se repiten en periodos de 8 MHz; el bloque L1 siempre puede descodificarse independientemente de la posición de ventana de sintonizador; puede usarse un ancho de banda de sintonizador total para decodificación de L1; una eficacia espectral máxima puede garantizar más ganancia de codificación; el bloque L1 incompleto puede considerarse como con codificación perforada; puede usarse una estructura piloto simple e igual, tanto para el preámbulo como para los datos; y puede usarse un ancho de banda idéntico tanto para el preámbulo como para los datos.
- 25 La figura 59 muestra un ejemplo de un procesador analógico. Un módulo 601 DAC puede convertir una entrada de señal digital en una señal analógica. Después de la transmisión, el ancho de banda de frecuencia se convierte de manera ascendente 602 y puede transmitirse la señal 603 filtrada analógica.
- 30 La figura 60 muestra un ejemplo de un sistema de receptor digital. La señal recibida es convertida en señal digital en un módulo de proceso analógico r105. Un demodulador r104 puede convertir la señal en datos en dominio de frecuencia. Un analizador sintáctico r103 de trama puede eliminar pilotos y cabeceras y permitir la selección de información de servicio que necesita decodificarse. Un demodulador r102 BICM puede corregir errores en el canal de transmisión. Un procesador r101 de salida puede restablecer la información de sincronización y el flujo de servicio transmitido originalmente.
- 35 La figura 61 muestra un ejemplo de procesador analógico usado en el receptor. Un módulo r603 de sintonizador/AGC puede seleccionar un ancho de banda de frecuencia deseado a partir de la señal recibida. Un convertidor r602 descendente puede restablecer la banda base. Un módulo ADC r601 puede convertir la señal analógica en señal digital.
- 40 La figura 62 muestra un ejemplo de demodulador. Un módulo r506 detector de trama puede detectar el preámbulo, comprobar si existe una señal digital correspondiente y detectar un inicio de una trama. Un módulo r505 sincronizador de tiempo/frecuencia puede realizar sincronización en los dominios de tiempo y frecuencia. En este momento, para la sincronización de dominio de tiempo, puede usarse una correlación de intervalo de seguridad. Para la sincronización de dominio de frecuencia, puede usarse una correlación o el desplazamiento puede estimarse a partir de información de fase de una subportadora que se transmite en el dominio de frecuencia. Un módulo r504 eliminador de preámbulo puede eliminar el preámbulo del frente de la trama detectada. Un módulo r503 eliminador de GI puede eliminar el intervalo de seguridad. Un módulo FFT r501 puede transformar la señal en el dominio de tiempo en una señal en el dominio de frecuencia. Un módulo r501 de estimación/ecualización de canal puede compensar errores estimando la distorsión en el canal de transmisión usando un símbolo piloto. El módulo r504 eliminador de preámbulo puede omitirse si el demodulador es específicamente para DVB-C2.
- 45 La figura 63 muestra un ejemplo de analizador sintáctico de trama. Un módulo r404 eliminador de piloto puede eliminar símbolos piloto. Un módulo r403 desentrelazador de frecuencia puede realizar desentrelazado en el dominio de frecuencia. Un fusionador r402 de símbolos OFDM puede restablecer la trama de datos a partir de flujos de
- 50
- 55

símbolo transmitidos en símbolos OFDM. Un módulo r401 eliminador de cabecera de trama puede extraer señalización de capa física de la cabecera de cada trama y eliminar la cabecera. La información extraída puede usarse como parámetros para los siguientes procesos en el receptor.

5 La figura 64 muestra un ejemplo de un demodulador BICM. La figura 64a muestra una trayectoria de datos y la figura 64b muestra una trayectoria de señalización L1. Un desentrelazador r308 de símbolo puede realizar desentrelazado en el dominio de símbolo. Un extractor r307 ModCod puede extraer parámetros ModCod del frente de cada trama BB y hacer que los parámetros estén disponibles para los siguientes procesos de decodificación y demodulación variable/adaptativa. Un demapeador r306 de símbolo puede demapear flujos de símbolo de entrada en flujos de razón de verosimilitud logarítmica (LLR) de bits. Los flujos de LLR de bits de salida pueden calcularse usando una constelación usada en un mapeador 306 de símbolo del transmisor como punto de referencia. En este punto, cuando se usa la MQAM o NU-MQAM mencionadas anteriormente, calculando tanto el eje I como el eje Q cuando se calcula el bit más próximo a MSB y calculando bien el eje I o bien el eje Q cuando se calcula el resto de bits, puede implementarse un demapeador de símbolo eficaz. Este método puede aplicarse a, por ejemplo, decisión LLR aproximada, LLR exacta y firme.

15 Cuando se usa una constelación optimizada según la capacidad de constelación y la tasa de código del código de corrección de error en el mapeador 306 de símbolo del transmisor, el demapeador r306 de símbolo del receptor puede obtener una constelación usando la información de capacidad de constelación y tasa de código transmitida desde el transmisor. El multiplexador r305 de bit del receptor puede realizar una función inversa del demultiplexador 305 de bit del transmisor. El desentrelazador interno r304 y el desentrelazador externo r302 del receptor pueden realizar funciones inversas del entrelazador interno 304 y el entrelazador externo 302 del transmisor, respectivamente para obtener el flujo de datos en su secuencia original. El desentrelazador externo r302 puede omitirse si el demodulador BICM es específicamente para DVB-C2.

20 El decodificador interno r303 y el decodificador externo r301 del receptor pueden realizar procesos de decodificación correspondientes para el codificador interno 303 y el codificador externo 301 del transmisor, respectivamente, para corregir errores en el canal de transmisión. En la trayectoria de señalización L1 pueden realizarse procesos similares a los realizados en la trayectoria de datos, pero con diferentes parámetros (r308-1 ~ r301-1). En este punto, tal como se explica en la parte de preámbulo, puede usarse un módulo r303-1 de codificación acortada/perforada para la decodificación de señal L1.

25 La figura 65 muestra un ejemplo de decodificación LDPC usando acortamiento/perforación. Un demultiplexador r301a puede emitir por separado parte de paridad y parte de información de código sistemático de flujos de bits de entrada. Para la parte de información, puede realizarse un relleno (r302a) con ceros según un número de flujos de bits de entrada de decodificador LDPC, para la parte de paridad, pueden generarse flujos de bits de entrada para (r303a) el decodificador LDPC mediante desperforación de la parte perforada. La decodificación (r304a) LDPC puede realizarse en flujos de bits generados, y los ceros en la parte de información pueden eliminarse y emitirse (r305a).

30 La figura 66 muestra un ejemplo de procesador de salida. Un desaleatorizador r209 BB puede restablecer flujos de bits aleatorizados (209) en el transmisor. Un divisor r208 puede restablecer tramas BB que corresponden a múltiples PLP que se multiplexan y transmiten desde el transmisor según la trayectoria PLP. Para cada trayectoria PLP, los eliminadores r207-1~n de cabecera BB pueden eliminar la cabecera que se transmite en el frente de la trama BB. Un decodificador r206-1~n CRC puede realizar decodificación CRC y hacer que las tramas BB fiables estén disponibles para la selección. Un módulo r205-1~n de inserción de paquetes nulos puede restablecer los paquetes nulos que se eliminaron para una mayor eficacia de transmisión en su ubicación original. Un módulo r204-1~n de recuperación de retardo puede restablecer un retardo que existe entre cada trayectoria PLP.

35 Unos módulos r203-1~n de recuperación de reloj de salida pueden restablecer la sincronización original del flujo de servicio a partir de la información de sincronización transmitida desde los módulos de sincronización 203-1~n de flujo de entrada. Unos módulos r202-1~n de interfaz de salida pueden restablecer los datos en el paquete TS/GS de los flujos de bits de entrada que se segmentan en la trama BB. Un módulo r201-1~n de procesamiento posterior de salida puede restablecer múltiples flujos TS/GS en un flujo TS/GS completo, en caso necesario. Los bloques sombreados mostrados en la figura 66 representan módulos que pueden usarse cuando se procesa una única PLP de una vez y el resto de bloques representan módulos que pueden usarse cuando se procesan múltiples PLP al mismo tiempo.

40 Los patrones piloto de preámbulo se diseñaron con cuidado para evitar un aumento de PAPR, de este modo es necesario considerar si la tasa de repetición L1 puede aumentar PAPR. El número de bits de información L1 varía dinámicamente según la unión de canal, el número de PLP, etc. En detalle, es necesario considerar cosas tales como que el tamaño de bloque L1 fijo puede introducir una sobrecarga innecesaria; la señalización L1 debería protegerse más que los símbolos de datos; y el entrelazado de tiempo de bloque L1 puede mejorar la robustez sobre el deterioro de canal tal como la necesidad de ruido impulsivo.

45 Para una tasa de repetición de bloque L1 de 8 MHz, según se muestra en la figura 67, la eficacia espectral total (aumento de un 26,8% de BW) se muestra con perforación virtual, pero PAPR puede aumentarse porque el ancho de banda L1 es el mismo que el de los símbolos de datos. Para la tasa de repetición de 8 MHz, puede usarse

entrelazado de frecuencia 4K-FFT DVB-T2 para la comunidad y el mismo patrón puede repetirse en sí mismo en un periodo de 8 MHz tras el entrelazado.

Para una tasa de repetición de bloque L1 de 6 MHz, según se muestra en la figura 68, puede mostrarse una eficacia espectral reducida sin perforación virtual. Puede producirse un problema similar de PAPR como para el caso de 8 MHz puesto que los anchos de banda de símbolo de datos y L1 comparten LCM = 24 MHz. Para la tasa de repetición de 6 MHz, puede usarse entrelazado de frecuencia 4K-FFT DVB-T2 para la comunidad y el mismo patrón puede repetirse en sí mismo en un periodo de 24 MHz tras el entrelazado.

La figura 69 muestra una nueva tasa de repetición de bloque L1 de 7,61 MHz o ancho de banda de sintonizador total. Puede obtenerse una eficacia espectral total (aumento de un 26,8% de BW (ancho de banda)) sin perforación virtual. Puede no haber un problema de PAPR puesto que los anchos de banda de símbolo de datos y L1 comparten LCM=1704 MHz. Para la tasa de repetición de 7,61 MHz, puede usarse entrelazado de frecuencia 4K-FFT DVB-T2 para la comunidad y el mismo patrón puede repetirse en sí mismo en periodos de aproximadamente 1704 MHz tras el entrelazado.

La figura 70 es un ejemplo de señalización L1 que se transmite en la cabecera de trama. Cada información en señalización L1 puede transmitirse al receptor y puede usarse como un parámetro de decodificación. Especialmente, la información puede usarse en la trayectoria de señal L1 mostrada en la figura 64 y las PLP pueden transmitirse en cada segmento de datos. Puede obtenerse una robustez aumentada para cada PLP.

La figura 72 es un ejemplo de un entrelazador 308-1 de símbolo tal como se muestra en la trayectoria de señalización L1 en la figura 37 y también puede ser un ejemplo de su desentrelazador r308-1 de símbolo correspondiente tal como se muestra en la trayectoria de señalización L1 en la figura 64. Los bloques con líneas oblicuas representan los bloques L1 y los bloques lisos representan portadoras de datos. Los bloques L1 pueden transmitirse no sólo dentro de un único preámbulo, sino que también pueden transmitirse dentro de múltiples bloques OFDM. Dependiendo de un tamaño de bloque L1, el tamaño del bloque de entrelazado puede variar. Dicho de otro modo, num\_L1\_sym y L1\_span pueden ser diferentes entre sí. Para minimizar una sobrecarga innecesaria, los datos pueden transmitirse dentro del resto de portadoras de los símbolos OFDM en los que se transmite el bloque L1. En este punto, puede garantizarse una eficacia espectral total porque el ciclo de repetición del bloque L1 sigue siendo un ancho de banda de sintonizador total. En la figura 72, los números en bloques con líneas oblicuas representan el orden de bit dentro de un único bloque LDPC.

Consecuentemente, cuando los bits se escriben en una memoria de entrelazado en la dirección de fila según un índice de símbolo tal como se muestra en la figura 72 y se leen en la dirección de columna según un índice de portadora, puede obtenerse un efecto de entrelazado de bloque. Dicho de otro modo, puede entrelazarse un bloque LDPC en el dominio de tiempo y el dominio de frecuencia y entonces puede transmitirse. Num\_L1\_sym puede ser un valor predeterminado, por ejemplo, un número entre 2-4 puede fijarse como un número de símbolos OFDM. En este punto, para aumentar la granularidad del tamaño de bloque L1, puede usarse un código LDPC perforado/acortado que tenga una longitud mínima de la palabra de código para protección L1.

La figura 73 es un ejemplo de una transmisión de bloque L1. La figura 73 ilustra la figura 72 en dominio de trama. Tal como se muestra en el lado izquierdo de la figura 73a, los bloques L1 pueden abarcar el ancho de banda de sintonizador total o tal como se muestra en el lado derecho de la figura 73b, los bloques L1 pueden abarcarse de manera parcial y el resto de las portadoras pueden usarse para portadora de datos. En cualquier caso, puede observarse que la tasa de repetición del bloque L1 puede ser idéntica a un ancho de banda de sintonizador total. Además, para los símbolos OFDM que usan señalización L1 incluyendo el preámbulo, puede realizarse entrelazado de sólo símbolo mientras que no se permite una transmisión de datos en esos símbolos OFDM. Consecuentemente, para el símbolo OFDM usado para señalización L1, un receptor puede realizar decodificación de L1 realizando desentrelazado sin decodificación de datos. En este punto, el bloque L1 puede transmitir señalización L1 de trama actual o señalización L1 de una trama posterior. En el lado de receptor, los parámetros L1 decodificados de la trayectoria de decodificación de señalización L1 mostrada en la figura 64 pueden utilizarse para el proceso de decodificación para la trayectoria de datos del analizador sintáctico de trama de la trama posterior.

Resumiendo, en un transmisor, puede realizarse un entrelazado de bloques de la región L1 escribiendo bloques en una memoria en una dirección de fila y leyendo los bloques escritos de la memoria en una dirección de columna. En un receptor, puede realizarse desentrelazado de bloques de la región L1 escribiendo bloques en una memoria en una dirección de columna y leyendo los bloques escritos de la memoria en una dirección de fila. Las direcciones de lectura y escritura del transmisor y receptor pueden intercambiarse.

Cuando se realiza simulación con suposiciones tales como CR=1/2 para protección L1 y para comunidad de T2; puede obtenerse mapeo de símbolo 16-QAM; densidad piloto de 6 en el preámbulo; número de LDPC corta implica que se realiza una cantidad requerida de perforación/acortamiento, los resultados o conclusiones tales como sólo preámbulo para transmisión L1 pueden no ser suficientes; el número de símbolos OFDM depende de la cantidad del tamaño de bloque L1; puede usarse la palabra de código LDPC más corta (por ejemplo información de 192 bits) entre el código acortado/perforado para flexibilidad y granularidad fina; y el relleno puede añadirse si se requiere con una sobrecarga despreciable. El resultado se resume en la figura 71.

- 5 Consecuentemente, para una tasa de repetición de bloque L1, el ancho de banda de sintonizador total sin perforación virtual puede ser una buena solución y aún puede surgir un problema de no PAPR con eficacia espectral total. Para señalización L1, una estructura de señalización eficaz puede permitir una configuración máxima en un entorno de unión de 8 canales, 32 ranuras, 256 segmentos de datos y 256 PLP. Para la estructura de bloque L1, puede implementarse una señalización L1 flexible según el tamaño de bloque L1. El entrelazado de tiempo puede realizarse para una mejor robustez para comunidad de T2. Menos sobrecarga puede permitir transmisión de datos en el preámbulo.
- 10 El entrelazado de bloque del bloque L1 puede realizarse para obtener mejor robustez. El entrelazado puede realizarse con un número predefinido fijo de símbolos L1 (num\_L1\_sym) y un número de portadoras abarcadas por L1 como parámetro (L1\_span). La misma técnica se usa para entrelazado de preámbulo P2 en DVB-T2.
- Puede usarse un bloque L1 de tamaño variable. El tamaño es adaptable a la cantidad de bits de señalización L1, dando como resultado una sobrecarga reducida. Puede obtenerse eficacia espectral total sin problema de PAPR. Una repetición de menos de 7,61 MHz puede significar que puede enviarse más redundancia pero sin usar. Puede surgir un problema de no PAPR por la tasa de repetición de 7,61 MHz para el bloque L1.
- 15 Mediante el uso de los métodos y dispositivos sugeridos, entre otras ventajas es posible implementar una estructura, receptor y transmisor digital eficaz de señalización de capa física.
- Mediante la transmisión de información ModCod en cada cabecera de trama BB necesaria para ACM/VCM y la transmisión del resto de señalización de capa física en una cabecera de trama, puede minimizarse la sobrecarga de señalización.
- 20 Puede implementarse QAM modificada para una transmisión más eficaz con respecto a la energía o un sistema de difusión digital más robusto con respecto al ruido. El sistema puede incluir un transmisor y receptor para cada ejemplo descrito y sus combinaciones.
- 25 Puede implementarse una QAM no uniforme mejorada para una transmisión más eficaz con respecto a la energía o un sistema de difusión digital más robusto con respecto al ruido. También se describe un método para el uso de tasa de código del código de corrección de error de NU-MQAM y MQAM. El sistema puede incluir un transmisor y receptor para cada ejemplo descrito y sus combinaciones.
- El método de señalización L1 sugerido puede reducir la sobrecarga en un 3-4% minimizando la sobrecarga de señalización durante la unión de canal.
- 30 Para los expertos en la técnica será evidente que pueden realizarse diversas modificaciones y variaciones en la presente invención sin apartarse de la invención.

## REIVINDICACIONES

1. Un método para recibir señales de un receptor, el método comprende:
- demodular las señales recibidas mediante el uso de un método de multiplexación por división de frecuencia ortogonal, OFDM;
- 5 obtener una trama de señal a partir de las señales demoduladas, la trama de señal comprende símbolos de datos de preámbulo y por lo menos un segmento de datos, cada segmento de datos incluye símbolos de datos de conexión de capa física, PLP, de una o múltiples PLP, los símbolos de datos de preámbulo tienen información de señalización de capa 1, L1, la información de señalización L1 incluye información de identificación de segmento de datos que identifica el segmento de datos, información de identificación de PLP que identifica a cada PLP llevada en el segmento de datos; información de comienzo de ranura que indica una posición de inicio de una banda de ranura existente en la trama de señal, e información de anchura de ranura que indica una anchura de la banda de ranura;
- 10 demapear los símbolos de datos de preámbulo en bits de datos de preámbulo y los símbolos de datos de PLP en bits de datos de PLP; y
- 15 decodificar los bits de datos de preámbulo y los bits de datos de PLP,
- en donde los símbolos de datos de preámbulo son bloques L1 divididos del mismo ancho de banda y en donde, cuando una ventana de sintonización del receptor incluye partes de bloques L1 diferentes, unas subportadoras de los bloques L1 incluidas en la ventana de sintonización son reordenadas por el receptor.
2. El método según la reivindicación 1, en donde una longitud de la información de identificación de segmento de datos es de 8 bits.
3. El método según la reivindicación 1, en donde la información de señalización L1 incluye además información de TIPO DE CARGA ÚTIL DE PLP, que indica un tipo de datos de carga útil llevados por la PLP e información de TIPO DE PLP que indica si un tipo de la PLP es una PLP común.
4. El método según la reivindicación 1, en donde la información de señalización L1 comprende además información de número de ranuras que indica un número de bandas de ranuras que existen en la trama de señal.
5. El método según la reivindicación 1, en donde los bits de datos de preámbulo son decodificados mediante un esquema de codificación acortado y perforado de corrección de errores sin canal de retorno, FEC.
6. Un receptor para recibir señales para la transmisión de vídeo digital, el receptor comprende:
- 30 un demulador (r104) configurado para demodular las señales recibidas usando un método de multiplexación por división de frecuencia ortogonal, OFDM;
- un analizador sintáctico (r103) configurado para obtener una trama de señal a partir de las señales demoduladas, la trama de señal comprende símbolos de datos de preámbulo y por lo menos un segmento de datos, cada segmento de datos incluye símbolos de datos de conexión de capa física, PLP, de una o múltiples PLP, los símbolos de datos de preámbulo tienen información de señalización de capa 1, L1, la información de señalización L1 incluye información de identificación de segmento de datos que identifica el segmento de datos, información de identificación de PLP que identifica a cada PLP llevada en el segmento de datos; información de comienzo de ranura que indica una posición de inicio de una banda de ranura existente en la trama de señal, e información de anchura de ranura que indica una anchura de la banda de ranura;
- 35 un demapeador (r306; r306-1) configurado para demapear los símbolos de datos de preámbulo en bits de datos de preámbulo y símbolos de datos de PLP en bits de datos de PLP; y
- un decodificador (r303; r303-1) configurado para decodificar los bits de datos de preámbulo y los bits de datos de PLP,
- 40 en donde los símbolos de datos de preámbulo son bloques L1 divididos del mismo ancho de banda y en donde, cuando una ventana de sintonización del receptor incluye partes de bloques L1 diferentes, unas subportadoras de los bloques L1 incluidas en la ventana de sintonización son reordenadas por el receptor.
- 45
7. El receptor según la reivindicación 6, en donde una longitud de la información de identificación de segmento de datos es de 8 bits.
8. El receptor según la reivindicación 6, en donde la información de señalización L1 incluye además información de TIPO DE CARGA ÚTIL DE PLP, que indica un tipo de datos de carga útil llevados por la PLP e información de TIPO DE PLP que indica si un tipo de la PLP es una PLP común.
- 50

9. El receptor según la reivindicación 6, en donde la información de señalización L1 incluye además información de número de ranuras que indica un número de bandas de ranuras que existen en la trama de señal.

10. El receptor según la reivindicación 6, en donde los bits de datos de preámbulo son decodificados mediante un esquema de codificación acortado y perforado de corrección de errores sin canal de retorno, FEC.

Fig. 1

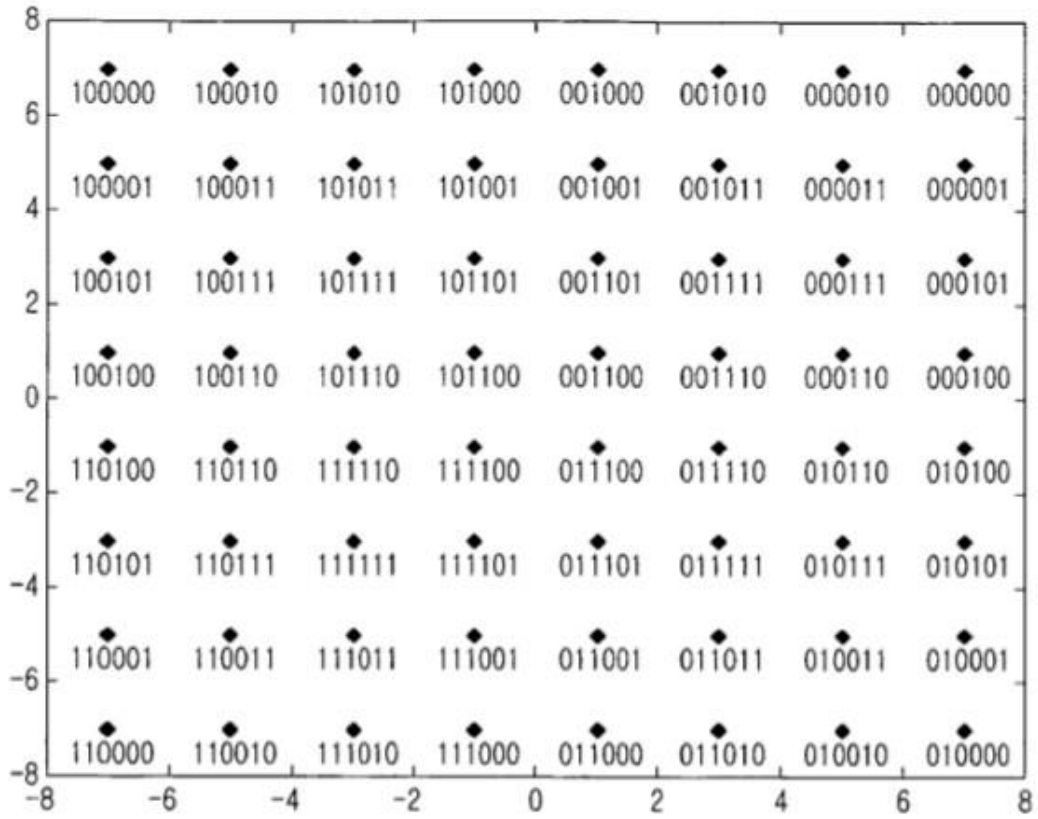


Fig. 2

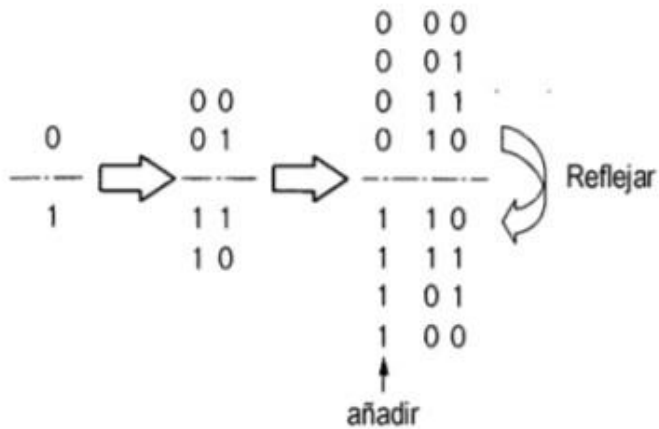


Fig. 3

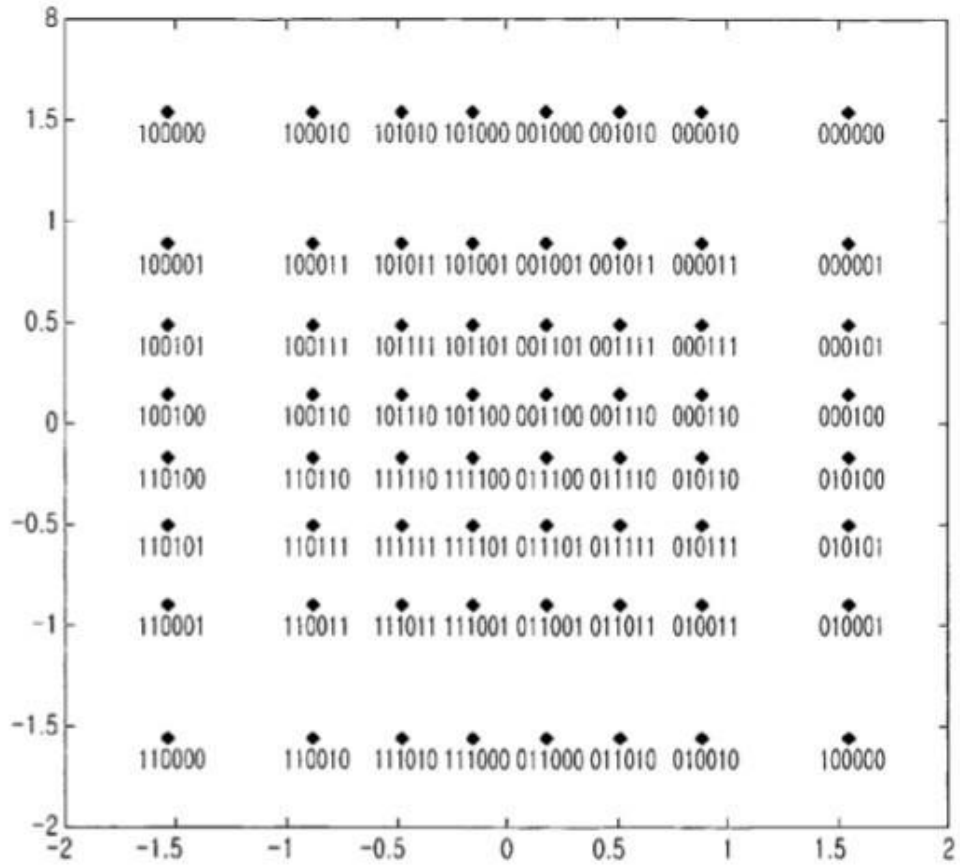


Fig. 4



Fig. 5

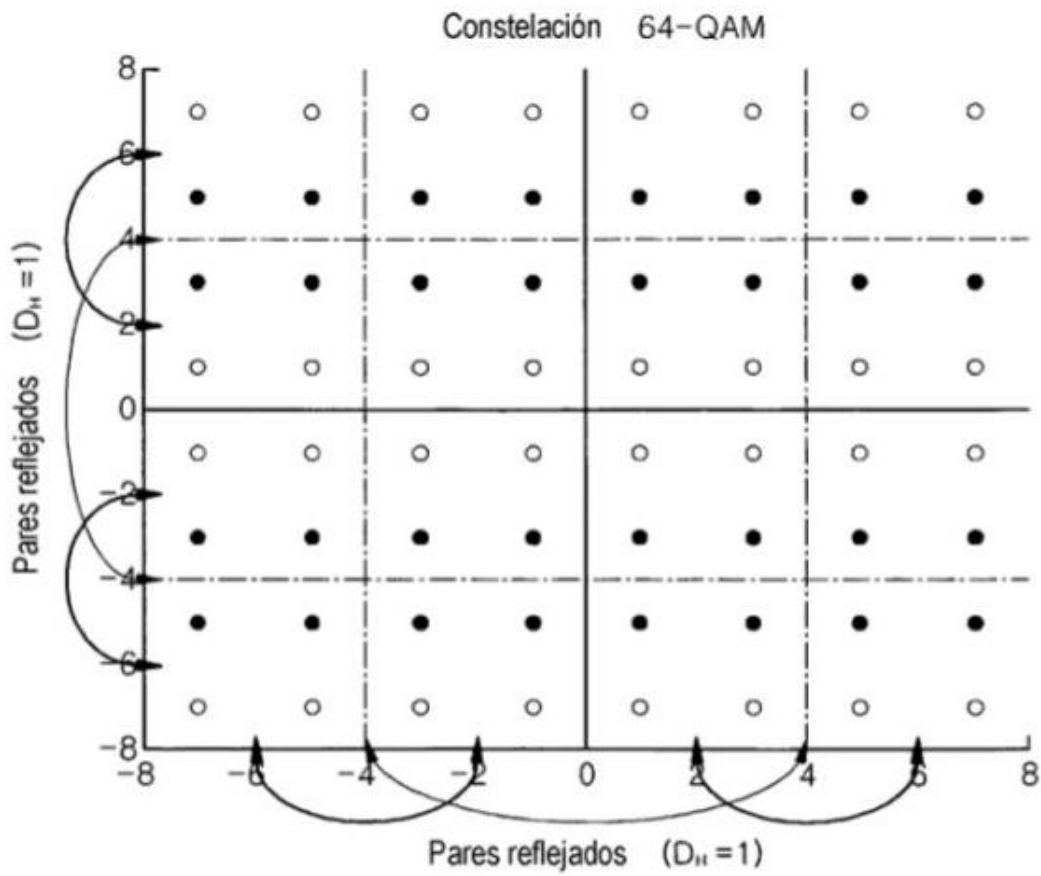
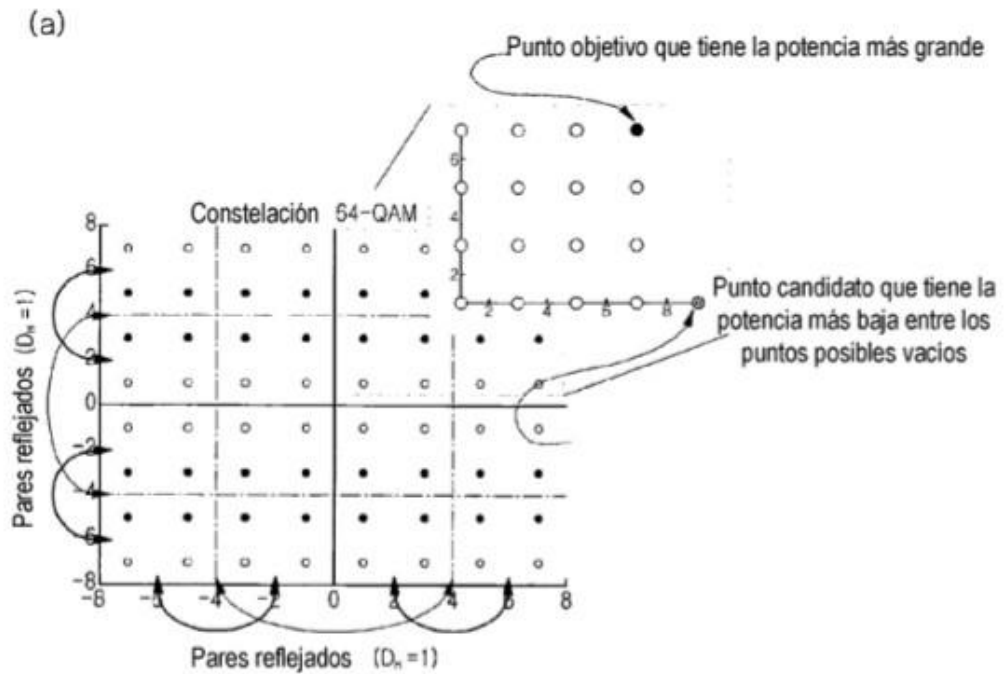


Fig. 6



(b)

• Punto candidato es el punto vecino más próximo del par reflejado del punto objetivo

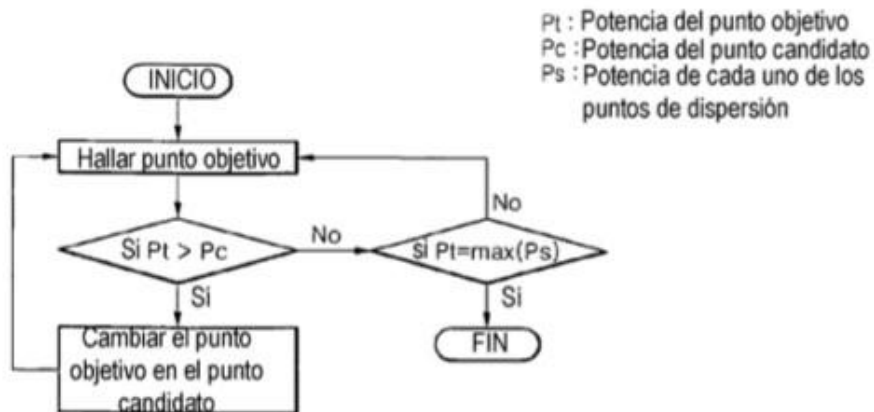


Fig. 7

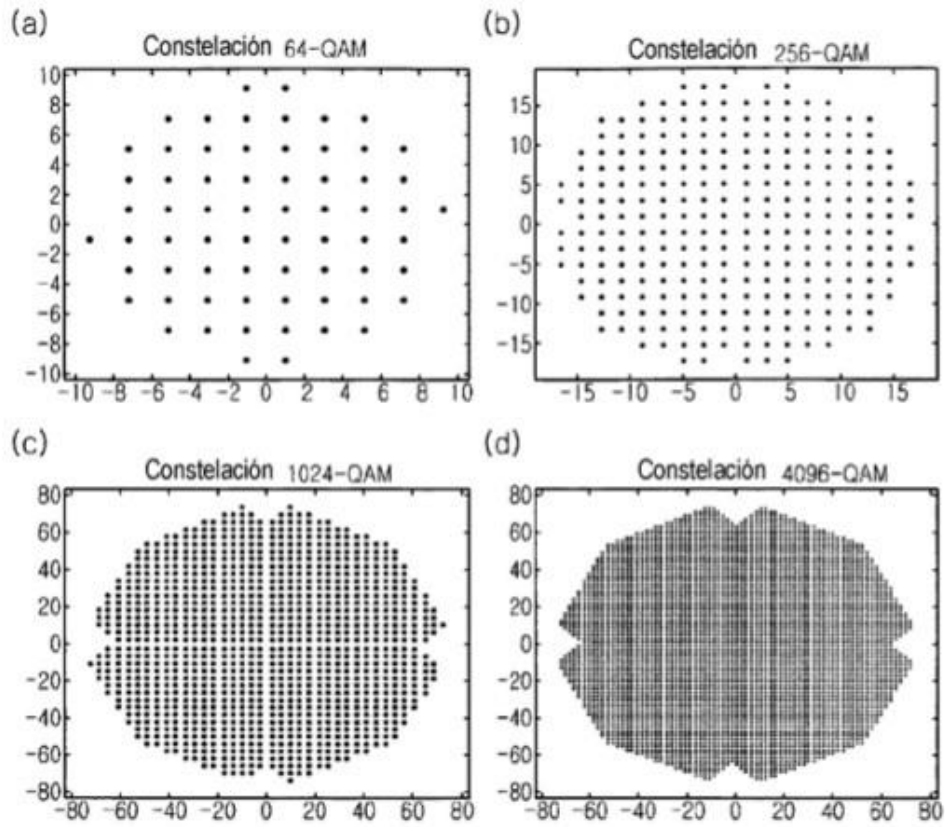


Fig. 8

0	9 + 1i
1	7 + 5i
2	5 + 7i
3	5 + 5i
4	7 + 1i
5	7 + 3i
6	5 + 1i
7	5 + 3i
8	1 + 7i
9	1 + 5i
10	3 + 7i
11	3 + 5i
12	1 + 1i
13	1 + 3i
14	3 + 1i
15	3 + 3i
16	1 - 9i
17	7 - 5i
18	5 - 7i
19	5 - 5i
20	7 - 1i
21	7 - 3i
22	5 - 1i
23	5 - 3i
24	1 - 7i
25	1 - 5i
26	3 - 7i
27	3 - 5i
28	1 - 1i
29	1 - 3i
30	3 - 1i

Fig. 9

31	3 - 3i
32	-1 + 9i
33	-7 + 5i
34	-5 + 7i
35	-5 + 5i
36	-7 + 1i
37	-7 + 3i
38	-5 + 1i
39	-5 + 3i
40	-1 + 7i
41	-1 + 5i
42	-3 + 7i
43	-3 + 5i
44	-1 + 1i
45	-1 + 3i
46	-3 + 1i
47	-3 + 3i
48	-9 - 1i
49	-7 - 5i
50	-5 - 7i
51	-5 - 5i
52	-7 - 1i
53	-7 - 3i
54	-5 - 1i
55	-5 - 3i
56	-1 - 7i
57	-1 - 5i
58	-3 - 7i
59	-3 - 5i
60	-1 - 1i
61	-1 - 3i
62	-3 - 1i
63	-3 - 3i

Fig. 10

	Valor	Dispersión	Valor	Dispersión	Valor	Dispersión	
0	17 + 1i	64	1 - 17i	128	-1 + 17i	192	-17 - 1i
1	17 + 3i	65	17 - 3i	129	-17 + 3i	193	-17 - 3i
2	3 + 17i	66	3 - 17i	130	-3 + 17i	194	-3 - 17i
3	13 + 13i	67	13 - 13i	131	-13 + 13i	195	-13 - 13i
4	15 + 9i	68	15 - 9i	132	-15 + 9i	196	-15 - 9i
5	17 + 5i	69	17 - 5i	133	-17 + 5i	197	-17 - 5i
6	13 + 9i	70	13 - 9i	134	-13 + 9i	198	-13 - 9i
7	13 + 11i	71	13 - 11i	135	-13 + 11i	199	-13 - 11i
8	9 + 15i	72	9 - 15i	136	-9 + 15i	200	-9 - 15i
9	9 + 13i	73	9 - 13i	137	-9 + 13i	201	-9 - 13i
10	5 + 17i	74	5 - 17i	138	-5 + 17i	202	-5 - 17i
11	11 + 13i	75	11 - 13i	139	-11 + 13i	203	-11 - 13i
12	9 + 9i	76	9 - 9i	140	-9 + 9i	204	-9 - 9i
13	9 + 11i	77	9 - 11i	141	-9 + 11i	205	-9 - 11i
14	11 + 9i	78	11 - 9i	142	-11 + 9i	206	-11 - 9i
15	11 + 11i	79	11 - 11i	143	-11 + 11i	207	-11 - 11i
16	15 + 1i	80	15 - 1i	144	-15 + 1i	208	-15 - 1i
17	15 + 3i	81	15 - 3i	145	-15 + 3i	209	-15 - 3i
18	13 + 1i	82	13 - 1i	146	-13 + 1i	210	-13 - 1i
19	13 + 3i	83	13 - 3i	147	-13 + 3i	211	-13 - 3i
20	15 + 7i	84	15 - 7i	148	-15 + 7i	212	-15 - 7i
21	15 + 5i	85	15 - 5i	149	-15 + 5i	213	-15 - 5i
22	13 + 7i	86	13 - 7i	150	-13 + 7i	214	-13 - 7i
23	13 + 5i	87	13 - 5i	151	-13 + 5i	215	-13 - 5i
24	9 + 1i	88	9 - 1i	152	-9 + 1i	216	-9 - 1i
25	9 + 3i	89	9 - 3i	153	-9 + 3i	217	-9 - 3i
26	11 + 1i	90	11 - 1i	154	-11 + 1i	218	-11 - 1i
27	11 + 3i	91	11 - 3i	155	-11 + 3i	219	-11 - 3i
28	9 + 7i	92	9 - 7i	156	-9 + 7i	220	-9 - 7i
29	9 + 5i	93	9 - 5i	157	-9 + 5i	221	-9 - 5i
30	11 + 7i	94	11 - 7i	158	-11 + 7i	222	-11 - 7i

Fig. 11

31	11 + 5i	95	11 - 5i	159	-11 + 5i	223	-11 - 5i
32	1 + 15i	96	1 - 15i	160	-1 + 15i	224	-1 - 15i
33	1 + 13i	97	1 - 13i	161	-1 + 13i	225	-1 - 13i
34	3 + 15i	98	3 - 15i	162	-3 + 15i	226	-3 - 15i
35	3 + 13i	99	3 - 13i	163	-3 + 13i	227	-3 - 13i
36	1 + 9i	100	1 - 9i	164	-1 + 9i	228	-1 - 9i
37	1 + 11i	101	1 - 11i	165	-1 + 11i	229	-1 - 11i
38	3 + 9i	102	3 - 9i	166	-3 + 9i	230	-3 - 9i
39	3 + 11i	103	3 - 11i	167	-3 + 11i	231	-3 - 11i
40	7 + 15i	104	7 - 15i	168	-7 + 15i	232	-7 - 15i
41	7 + 13i	105	7 - 13i	169	-7 + 13i	233	-7 - 13i
42	5 + 15i	106	5 - 15i	170	-5 + 15i	234	-5 - 15i
43	5 + 13i	107	5 - 13i	171	-5 + 13i	235	-5 - 13i
44	7 + 9i	108	7 - 9i	172	-7 + 9i	236	-7 - 9i
45	7 + 11i	109	7 - 11i	173	-7 + 11i	237	-7 - 11i
46	5 + 9i	110	5 - 9i	174	-5 + 9i	238	-5 - 9i
47	5 + 11i	111	5 - 11i	175	-5 + 11i	239	-5 - 11i
48	1 + 1i	112	1 - 1i	176	-1 + 1i	240	-1 - 1i
49	1 + 3i	113	1 - 3i	177	-1 + 3i	241	-1 - 3i
50	3 + 1i	114	3 - 1i	178	-3 + 1i	242	-3 - 1i
51	3 + 3i	115	3 - 3i	179	-3 + 3i	243	-3 - 3i
52	1 + 7i	116	1 - 7i	180	-1 + 7i	244	-1 - 7i
53	1 + 5i	117	1 - 5i	181	-1 + 5i	245	-1 - 5i
54	3 + 7i	118	3 - 7i	182	-3 + 7i	246	-3 - 7i
55	3 + 5i	119	3 - 5i	183	-3 + 5i	247	-3 - 5i
56	7 + 1i	120	7 - 1i	184	-7 + 1i	248	-7 - 1i
57	7 + 3i	121	7 - 3i	185	-7 + 3i	249	-7 - 3i
58	5 + 1i	122	5 - 1i	186	-5 + 1i	250	-5 - 1i
59	5 + 3i	123	5 - 3i	187	-5 + 3i	251	-5 - 3i
60	7 + 7i	124	7 - 7i	188	-7 + 7i	252	-7 - 7i
61	7 + 5i	125	7 - 5i	189	-7 + 5i	253	-7 - 5i
62	5 + 7i	126	5 - 7i	190	-5 + 7i	254	-5 - 7i
63	5 + 5i	127	5 - 5i	191	-5 + 5i	255	-5 - 5i

Fig. 12

	Valor	Dispersión	Valor	Dispersión	Valor	Dispersión	Valor	Dispersión	Valor	Dispersión	Valor	Dispersión	Valor	Dispersión	Valor	Dispersión	Valor	Dispersión
0	33 + 11	64	31 + 11	128	1 + 311	192	1 + 11	256	1 - 331	320	31 - 11	384	1 - 311	448	1 - 11			
1	33 + 31	65	31 + 31	129	1 + 291	193	1 + 31	257	33 - 31	321	31 - 31	385	1 - 291	449	1 - 31			
2	3 + 331	66	29 + 11	130	3 + 311	194	3 + 11	258	3 - 331	322	29 - 11	386	3 - 311	450	3 - 11			
3	35 + 31	67	29 + 31	131	3 + 291	195	3 + 31	259	3 - 351	323	29 - 31	387	3 - 291	451	3 - 31			
4	33 + 71	68	31 + 71	132	1 + 251	196	1 + 71	260	33 - 71	324	31 - 71	388	1 - 251	452	1 - 71			
5	33 + 51	69	31 + 51	133	1 + 271	197	1 + 51	261	33 - 51	325	31 - 51	389	1 - 271	453	1 - 51			
6	35 + 71	70	29 + 71	134	3 + 251	198	3 + 71	262	35 - 71	326	29 - 71	390	3 - 251	454	3 - 71			
7	35 + 51	71	29 + 51	135	3 + 271	199	3 + 51	263	35 - 51	327	29 - 51	391	3 - 271	455	3 - 51			
8	7 + 331	72	25 + 11	136	7 + 311	200	7 + 11	264	7 - 331	328	25 - 11	392	7 - 311	456	7 - 11			
9	7 + 351	73	25 + 31	137	7 + 291	201	7 + 31	265	7 - 351	329	25 - 31	393	7 - 291	457	7 - 31			
10	5 + 331	74	27 + 11	138	5 + 311	202	5 + 11	266	5 - 331	330	27 - 11	394	5 - 311	458	5 - 11			
11	5 + 351	75	27 + 31	139	5 + 291	203	5 + 31	267	5 - 351	331	27 - 31	395	5 - 291	459	5 - 31			
12	25 + 251	76	25 + 71	140	7 + 251	204	7 + 71	268	25 - 251	332	25 - 71	396	7 - 251	460	7 - 71			
13	25 + 271	77	25 + 51	141	7 + 271	205	7 + 51	269	25 - 271	333	25 - 51	397	7 - 271	461	7 - 51			
14	27 + 251	78	27 + 71	142	5 + 251	206	5 + 71	270	27 - 251	334	27 - 71	398	5 - 251	462	5 - 71			
15	37 + 51	79	27 + 51	143	5 + 271	207	5 + 51	271	5 - 371	335	27 - 51	399	5 - 271	463	5 - 51			
16	31 + 171	80	31 + 151	144	1 + 171	208	1 + 151	272	31 - 171	336	31 - 151	400	1 - 171	464	1 - 151			
17	33 + 131	81	31 + 131	145	1 + 191	209	1 + 131	273	33 - 131	337	31 - 131	401	1 - 191	465	1 - 131			
18	29 + 171	82	29 + 151	146	3 + 171	210	3 + 151	274	29 - 171	338	29 - 151	402	3 - 171	466	3 - 151			
19	29 + 191	83	29 + 131	147	3 + 191	211	3 + 131	275	29 - 191	339	29 - 131	403	3 - 191	467	3 - 131			
20	33 + 91	84	31 + 91	148	1 + 231	212	1 + 91	276	33 - 91	340	31 - 91	404	1 - 231	468	1 - 91			
21	33 + 111	85	31 + 111	149	1 + 211	213	1 + 111	277	33 - 111	341	31 - 111	405	1 - 211	469	1 - 111			
22	35 + 91	86	29 + 91	150	3 + 231	214	3 + 91	278	35 - 91	342	29 - 91	406	3 - 231	470	3 - 91			
23	29 + 211	87	29 + 111	151	3 + 211	215	3 + 111	279	29 - 211	343	29 - 111	407	3 - 211	471	3 - 111			
24	25 + 171	88	25 + 151	152	7 + 171	216	7 + 151	280	25 - 171	344	25 - 151	408	7 - 171	472	7 - 151			
25	25 + 191	89	25 + 131	153	7 + 191	217	7 + 131	281	25 - 191	345	25 - 131	409	7 - 191	473	7 - 131			
26	27 + 171	90	27 + 151	154	5 + 171	218	5 + 151	282	27 - 171	346	27 - 151	410	5 - 171	474	5 - 151			
27	27 + 191	91	27 + 131	155	5 + 191	219	5 + 131	283	27 - 191	347	27 - 131	411	5 - 191	475	5 - 131			
28	25 + 231	92	25 + 91	156	7 + 231	220	7 + 91	284	25 - 231	348	25 - 91	412	7 - 231	476	7 - 91			
29	25 + 211	93	25 + 111	157	7 + 211	221	7 + 111	285	25 - 211	349	25 - 111	413	7 - 211	477	7 - 111			
30	27 + 231	94	27 + 91	158	5 + 231	222	5 + 91	286	27 - 231	350	27 - 91	414	5 - 231	478	5 - 91			

Fig. 13

31	27 + 21i	95	27 + 11i	159	5 + 21i	223	5 + 11i	287	27 - 21i	351	27 - 11i	415	5 - 21i	479	5 - 11i
32	17 + 31i	96	17 + 1i	160	15 + 31i	224	15 + 1i	288	17 - 31i	352	17 - 1i	416	15 - 31i	480	15 - 1i
33	17 + 29i	97	17 + 3i	161	15 + 29i	225	15 + 3i	289	17 - 29i	353	17 - 3i	417	15 - 29i	481	15 - 3i
34	13 + 33i	98	19 + 1i	162	13 + 31i	226	13 + 1i	290	13 - 33i	354	19 - 1i	418	13 - 31i	482	13 - 1i
35	19 + 29i	99	19 + 3i	163	13 + 29i	227	13 + 3i	291	19 - 29i	355	19 - 3i	419	13 - 29i	483	13 - 3i
36	17 + 25i	100	17 + 7i	164	15 + 25i	228	15 + 7i	292	17 - 25i	356	17 - 7i	420	15 - 25i	484	15 - 7i
37	17 + 27i	101	17 + 5i	165	15 + 27i	229	15 + 5i	293	17 - 27i	357	17 - 5i	421	15 - 27i	485	15 - 5i
38	19 + 25i	102	19 + 7i	166	13 + 25i	230	13 + 7i	294	19 - 25i	358	19 - 7i	422	13 - 25i	486	13 - 7i
39	19 + 27i	103	19 + 5i	167	13 + 27i	231	13 + 5i	295	19 - 27i	359	19 - 5i	423	13 - 27i	487	13 - 5i
40	9 + 33i	104	23 + 1i	168	9 + 31i	232	9 + 1i	296	9 - 33i	360	23 - 1i	424	9 - 31i	488	9 - 1i
41	9 + 35i	105	23 + 3i	169	9 + 29i	233	9 + 3i	297	9 - 35i	361	23 - 3i	425	9 - 29i	489	9 - 3i
42	11 + 33i	106	21 + 1i	170	11 + 31i	234	11 + 1i	298	11 - 33i	362	21 - 1i	426	11 - 31i	490	11 - 1i
43	21 + 29i	107	21 + 3i	171	11 + 29i	235	11 + 3i	299	21 - 29i	363	21 - 3i	427	11 - 29i	491	11 - 3i
44	23 + 25i	108	23 + 7i	172	9 + 25i	236	9 + 7i	300	23 - 25i	364	23 - 7i	428	9 - 25i	492	9 - 7i
45	23 + 27i	109	23 + 5i	173	9 + 27i	237	9 + 5i	301	23 - 27i	365	23 - 5i	429	9 - 27i	493	9 - 5i
46	21 + 25i	110	21 + 7i	174	11 + 25i	238	11 + 7i	302	21 - 25i	366	21 - 7i	430	11 - 25i	494	11 - 7i
47	21 + 27i	111	21 + 5i	175	11 + 27i	239	11 + 5i	303	21 - 27i	367	21 - 5i	431	11 - 27i	495	11 - 5i
48	17 + 17i	112	17 + 15i	176	15 + 17i	240	15 + 15i	304	17 - 17i	368	17 - 15i	432	15 - 17i	496	15 - 15i
49	17 + 19i	113	17 + 13i	177	15 + 19i	241	15 + 13i	305	17 - 19i	369	17 - 13i	433	15 - 19i	497	15 - 13i
50	19 + 17i	114	19 + 15i	178	13 + 17i	242	13 + 15i	306	19 - 17i	370	19 - 15i	434	13 - 17i	498	13 - 15i
51	19 + 19i	115	19 + 13i	179	13 + 19i	243	13 + 13i	307	19 - 19i	371	19 - 13i	435	13 - 19i	499	13 - 13i
52	17 + 23i	116	17 + 9i	180	15 + 23i	244	15 + 9i	308	17 - 23i	372	17 - 9i	436	15 - 23i	500	15 - 9i
53	17 + 21i	117	17 + 11i	181	15 + 21i	245	15 + 11i	309	17 - 21i	373	17 - 11i	437	15 - 21i	501	15 - 11i
54	19 + 23i	118	19 + 9i	182	13 + 23i	246	13 + 9i	310	19 - 23i	374	19 - 9i	438	13 - 23i	502	13 - 9i
55	19 + 21i	119	19 + 11i	183	13 + 21i	247	13 + 11i	311	19 - 21i	375	19 - 11i	439	13 - 21i	503	13 - 11i
56	23 + 17i	120	23 + 15i	184	9 + 17i	248	9 + 15i	312	23 - 17i	376	23 - 15i	440	9 - 17i	504	9 - 15i
57	23 + 19i	121	23 + 13i	185	9 + 19i	249	9 + 13i	313	23 - 19i	377	23 - 13i	441	9 - 19i	505	9 - 13i
58	21 + 17i	122	21 + 15i	186	11 + 17i	250	11 + 15i	314	21 - 17i	378	21 - 15i	442	11 - 17i	506	11 - 15i
59	21 + 19i	123	21 + 13i	187	11 + 19i	251	11 + 13i	315	21 - 19i	379	21 - 13i	443	11 - 19i	507	11 - 13i
60	23 + 23i	124	23 + 9i	188	9 + 23i	252	9 + 9i	316	23 - 23i	380	23 - 9i	444	9 - 23i	508	9 - 9i
61	23 + 21i	125	23 + 11i	189	9 + 21i	253	9 + 11i	317	23 - 21i	381	23 - 11i	445	9 - 21i	509	9 - 11i
62	21 + 23i	126	21 + 9i	190	11 + 23i	254	11 + 9i	318	21 - 23i	382	21 - 9i	446	11 - 23i	510	11 - 9i
63	21 + 21i	127	21 + 11i	191	11 + 21i	255	11 + 11i	319	21 - 21i	383	21 - 11i	447	11 - 21i	511	11 - 11i

Fig. 14

Valor	Dispersión																						
512	-1 + 33i	576	-31 + 1i	640	-1 + 31i	704	-1 + 1i	768	-33 - 1i	832	-31 - 1i	896	-1 - 31i	960	-1 - 1i								
513	-33 + 3i	577	-31 + 3i	641	-1 + 29i	705	-1 + 3i	769	-33 - 3i	833	-31 - 3i	897	-1 - 29i	961	-1 - 3i								
514	-3 + 33i	578	-29 + 1i	642	-3 + 31i	706	-3 + 1i	770	-3 - 33i	834	-29 - 1i	898	-3 - 31i	962	-3 - 1i								
515	-3 + 35i	579	-29 + 3i	643	-3 + 29i	707	-3 + 3i	771	-35 - 3i	835	-29 - 3i	899	-3 - 29i	963	-3 - 3i								
516	-33 + 7i	580	-31 + 7i	644	-1 + 25i	708	-1 + 7i	772	-33 - 7i	836	-31 - 7i	900	-1 - 25i	964	-1 - 7i								
517	-33 + 5i	581	-31 + 5i	645	-1 + 27i	709	-1 + 5i	773	-33 - 5i	837	-31 - 5i	901	-1 - 27i	965	-1 - 5i								
518	-35 + 7i	582	-29 + 7i	646	-3 + 25i	710	-3 + 7i	774	-35 - 7i	838	-29 - 7i	902	-3 - 25i	966	-3 - 7i								
519	-35 + 5i	583	-29 + 5i	647	-3 + 27i	711	-3 + 5i	775	-35 - 5i	839	-29 - 5i	903	-3 - 27i	967	-3 - 5i								
520	-7 + 33i	584	-25 + 1i	648	-7 + 31i	712	-7 + 1i	776	-7 - 33i	840	-25 - 1i	904	-7 - 31i	968	-7 - 1i								
521	-7 + 35i	585	-25 + 3i	649	-7 + 29i	713	-7 + 3i	777	-7 - 35i	841	-25 - 3i	905	-7 - 29i	969	-7 - 3i								
522	-5 + 33i	586	-27 + 1i	650	-5 + 31i	714	-5 + 1i	778	-5 - 33i	842	-27 - 1i	906	-5 - 31i	970	-5 - 1i								
523	-5 + 35i	587	-27 + 3i	651	-5 + 29i	715	-5 + 3i	779	-5 - 35i	843	-27 - 3i	907	-5 - 29i	971	-5 - 3i								
524	-25 + 25i	588	-25 + 7i	652	-7 + 25i	716	-7 + 7i	780	-25 - 25i	844	-25 - 7i	908	-7 - 25i	972	-7 - 7i								
525	-25 + 27i	589	-25 + 5i	653	-7 + 27i	717	-7 + 5i	781	-25 - 27i	845	-25 - 5i	909	-7 - 27i	973	-7 - 5i								
526	-27 + 25i	590	-27 + 7i	654	-5 + 25i	718	-5 + 7i	782	-27 - 25i	846	-27 - 7i	910	-5 - 25i	974	-5 - 7i								
527	-5 + 37i	591	-27 + 5i	655	-5 + 27i	719	-5 + 5i	783	-37 - 5i	847	-27 - 5i	911	-5 - 27i	975	-5 - 5i								
528	-31 + 17i	592	-31 + 15i	656	-1 + 17i	720	-1 + 15i	784	-31 - 17i	848	-31 - 15i	912	-1 - 17i	976	-1 - 15i								
529	-33 + 13i	593	-31 + 13i	657	-1 + 19i	721	-1 + 13i	785	-33 - 13i	849	-31 - 13i	913	-1 - 19i	977	-1 - 13i								
530	-29 + 17i	594	-29 + 15i	658	-3 + 17i	722	-3 + 15i	786	-29 - 17i	850	-29 - 15i	914	-3 - 17i	978	-3 - 15i								
531	-29 + 19i	595	-29 + 13i	659	-3 + 19i	723	-3 + 13i	787	-29 - 19i	851	-29 - 13i	915	-3 - 19i	979	-3 - 13i								
532	-33 + 9i	596	-31 + 9i	660	-1 + 23i	724	-1 + 9i	788	-33 - 9i	852	-31 - 9i	916	-1 - 23i	980	-1 - 9i								
533	-33 + 11i	597	-31 + 11i	661	-1 + 21i	725	-1 + 11i	789	-33 - 11i	853	-31 - 11i	917	-1 - 21i	981	-1 - 11i								
534	-35 + 9i	598	-29 + 9i	662	-3 + 23i	726	-3 + 9i	790	-35 - 9i	854	-29 - 9i	918	-3 - 23i	982	-3 - 9i								
535	-29 + 21i	599	-29 + 11i	663	-3 + 21i	727	-3 + 11i	791	-29 - 21i	855	-29 - 11i	919	-3 - 21i	983	-3 - 11i								
536	-25 + 17i	600	-25 + 15i	664	-7 + 17i	728	-7 + 15i	792	-25 - 17i	856	-25 - 15i	920	-7 - 17i	984	-7 - 15i								
537	-25 + 19i	601	-25 + 13i	665	-7 + 19i	729	-7 + 13i	793	-25 - 19i	857	-25 - 13i	921	-7 - 19i	985	-7 - 13i								
538	-27 + 17i	602	-27 + 15i	666	-5 + 17i	730	-5 + 15i	794	-27 - 17i	858	-27 - 15i	922	-5 - 17i	986	-5 - 15i								
539	-27 + 19i	603	-27 + 13i	667	-5 + 19i	731	-5 + 13i	795	-27 - 19i	859	-27 - 13i	923	-5 - 19i	987	-5 - 13i								
540	-25 + 23i	604	-25 + 9i	668	-7 + 23i	732	-7 + 9i	796	-25 - 23i	860	-25 - 9i	924	-7 - 23i	988	-7 - 9i								



Fig. 16

31	69 + 11i	95	69 + 21i	159	37 + 53i	223	37 + 43i	287	59 + 11i	351	59 + 21i	415	37 + 11i	479	37 + 21i
32	15 + 65i	96	49 + 33i	160	17 + 65i	224	47 + 33i	288	49 + 11i	352	49 + 31i	416	47 + 11i	480	47 + 31i
33	15 + 67i	97	49 + 35i	161	17 + 67i	225	47 + 35i	289	49 + 3i	353	49 + 29i	417	47 + 3i	481	47 + 29i
34	13 + 65i	98	51 + 33i	162	19 + 65i	226	45 + 33i	290	51 + 11i	354	51 + 31i	418	45 + 11i	482	45 + 31i
35	13 + 67i	99	51 + 35i	163	19 + 67i	227	45 + 35i	291	51 + 3i	355	51 + 29i	419	45 + 3i	483	45 + 29i
36	15 + 71i	100	49 + 39i	164	17 + 71i	228	47 + 39i	292	49 + 7i	356	49 + 25i	420	47 + 7i	484	47 + 25i
37	15 + 69i	101	49 + 37i	165	17 + 69i	229	47 + 37i	293	49 + 5i	357	49 + 27i	421	47 + 5i	485	47 + 27i
38	13 + 71i	102	51 + 39i	166	45 + 57i	230	45 + 39i	294	51 + 7i	358	51 + 25i	422	45 + 7i	486	45 + 25i
39	13 + 69i	103	51 + 37i	167	19 + 69i	231	45 + 37i	295	51 + 5i	359	51 + 27i	423	45 + 5i	487	45 + 27i
40	9 + 65i	104	55 + 33i	168	23 + 65i	232	41 + 33i	296	55 + 11i	360	55 + 31i	424	41 + 11i	488	41 + 31i
41	9 + 67i	105	55 + 35i	169	23 + 67i	233	41 + 35i	297	55 + 3i	361	55 + 29i	425	41 + 3i	489	41 + 29i
42	11 + 65i	106	53 + 33i	170	21 + 65i	234	43 + 33i	298	53 + 11i	362	53 + 31i	426	43 + 11i	490	43 + 31i
43	11 + 67i	107	53 + 35i	171	21 + 67i	235	43 + 35i	299	53 + 3i	363	53 + 29i	427	43 + 3i	491	43 + 29i
44	9 + 71i	108	55 + 39i	172	41 + 57i	236	41 + 39i	300	55 + 7i	364	55 + 25i	428	41 + 7i	492	41 + 25i
45	9 + 69i	109	55 + 37i	173	41 + 59i	237	41 + 37i	301	55 + 5i	365	55 + 27i	429	41 + 5i	493	41 + 27i
46	11 + 71i	110	53 + 39i	174	43 + 57i	238	43 + 39i	302	53 + 7i	366	53 + 25i	430	43 + 7i	494	43 + 25i
47	11 + 69i	111	53 + 37i	175	21 + 69i	239	43 + 37i	303	53 + 5i	367	53 + 27i	431	43 + 5i	495	43 + 27i
48	49 + 49i	112	49 + 47i	176	47 + 49i	240	47 + 47i	304	49 + 15i	368	49 + 17i	432	47 + 15i	496	47 + 17i
49	49 + 51i	113	49 + 45i	177	47 + 51i	241	47 + 45i	305	49 + 13i	369	49 + 19i	433	47 + 13i	497	47 + 19i
50	51 + 49i	114	51 + 47i	178	45 + 49i	242	45 + 47i	306	51 + 15i	370	51 + 17i	434	45 + 15i	498	45 + 17i
51	51 + 51i	115	51 + 45i	179	45 + 51i	243	45 + 45i	307	51 + 13i	371	51 + 19i	435	45 + 13i	499	45 + 19i
52	49 + 55i	116	49 + 41i	180	47 + 55i	244	47 + 41i	308	49 + 9i	372	49 + 23i	436	47 + 9i	500	47 + 23i
53	49 + 53i	117	49 + 43i	181	47 + 53i	245	47 + 43i	309	49 + 11i	373	49 + 21i	437	47 + 11i	501	47 + 21i
54	13 + 73i	118	51 + 41i	182	45 + 55i	246	45 + 41i	310	51 + 9i	374	51 + 23i	438	45 + 9i	502	45 + 23i
55	51 + 53i	119	51 + 43i	183	45 + 53i	247	45 + 43i	311	51 + 11i	375	51 + 21i	439	45 + 11i	503	45 + 21i
56	55 + 49i	120	55 + 47i	184	41 + 49i	248	41 + 47i	312	55 + 15i	376	55 + 17i	440	41 + 15i	504	41 + 17i
57	73 + 13i	121	55 + 45i	185	41 + 51i	249	41 + 45i	313	55 + 13i	377	55 + 19i	441	41 + 13i	505	41 + 19i
58	53 + 49i	122	53 + 47i	186	43 + 49i	250	43 + 47i	314	53 + 15i	378	53 + 17i	442	43 + 15i	506	43 + 17i
59	53 + 51i	123	53 + 45i	187	43 + 51i	251	43 + 45i	315	53 + 13i	379	53 + 19i	443	43 + 13i	507	43 + 19i
60	73 + 9i	124	55 + 41i	188	41 + 55i	252	41 + 41i	316	55 + 9i	380	55 + 23i	444	41 + 9i	508	41 + 23i
61	73 + 11i	125	55 + 43i	189	41 + 53i	253	41 + 43i	317	55 + 11i	381	55 + 21i	445	41 + 11i	509	41 + 21i
62	11 + 73i	126	53 + 41i	190	43 + 55i	254	43 + 41i	318	53 + 9i	382	53 + 23i	446	43 + 9i	510	43 + 23i
63	53 + 53i	127	53 + 43i	191	43 + 53i	255	43 + 43i	319	53 + 11i	383	53 + 21i	447	43 + 11i	511	43 + 21i

Fig. 17

31	69 + 11i	95	69 + 21i	159	37 + 53i	223	37 + 43i	287	59 + 11i	351	59 + 21i	415	37 + 11i	479	37 + 21i
32	15 + 65i	96	49 + 33i	160	17 + 65i	224	47 + 33i	288	49 + 1i	352	49 + 31i	416	47 + 1i	480	47 + 31i
33	15 + 67i	97	49 + 35i	161	17 + 67i	225	47 + 35i	289	49 + 3i	353	49 + 29i	417	47 + 3i	481	47 + 29i
34	13 + 65i	98	51 + 33i	162	19 + 65i	226	45 + 33i	290	51 + 1i	354	51 + 31i	418	45 + 1i	482	45 + 31i
35	13 + 67i	99	51 + 35i	163	19 + 67i	227	45 + 35i	291	51 + 3i	355	51 + 29i	419	45 + 3i	483	45 + 29i
36	15 + 71i	100	49 + 39i	164	17 + 71i	228	47 + 39i	292	49 + 7i	356	49 + 25i	420	47 + 7i	484	47 + 25i
37	15 + 69i	101	49 + 37i	165	17 + 69i	229	47 + 37i	293	49 + 5i	357	49 + 27i	421	47 + 5i	485	47 + 27i
38	13 + 71i	102	51 + 39i	166	45 + 57i	230	45 + 39i	294	51 + 7i	358	51 + 25i	422	45 + 7i	486	45 + 25i
39	13 + 69i	103	51 + 37i	167	19 + 69i	231	45 + 37i	295	51 + 5i	359	51 + 27i	423	45 + 5i	487	45 + 27i
40	9 + 65i	104	55 + 33i	168	23 + 65i	232	41 + 33i	296	55 + 1i	360	55 + 31i	424	41 + 1i	488	41 + 31i
41	9 + 67i	105	55 + 35i	169	23 + 67i	233	41 + 35i	297	55 + 3i	361	55 + 29i	425	41 + 3i	489	41 + 29i
42	11 + 65i	106	53 + 33i	170	21 + 65i	234	43 + 33i	298	53 + 1i	362	53 + 31i	426	43 + 1i	490	43 + 31i
43	11 + 67i	107	53 + 35i	171	21 + 67i	235	43 + 35i	299	53 + 3i	363	53 + 29i	427	43 + 3i	491	43 + 29i
44	9 + 71i	108	55 + 39i	172	41 + 57i	236	41 + 39i	300	55 + 7i	364	55 + 25i	428	41 + 7i	492	41 + 25i
45	9 + 69i	109	55 + 37i	173	41 + 59i	237	41 + 37i	301	55 + 5i	365	55 + 27i	429	41 + 5i	493	41 + 27i
46	11 + 71i	110	53 + 39i	174	43 + 57i	238	43 + 39i	302	53 + 7i	366	53 + 25i	430	43 + 7i	494	43 + 25i
47	11 + 69i	111	53 + 37i	175	21 + 69i	239	43 + 37i	303	53 + 5i	367	53 + 27i	431	43 + 5i	495	43 + 27i
48	49 + 49i	112	49 + 47i	176	47 + 49i	240	47 + 47i	304	49 + 15i	368	49 + 17i	432	47 + 15i	496	47 + 17i
49	49 + 51i	113	49 + 45i	177	47 + 51i	241	47 + 45i	305	49 + 13i	369	49 + 19i	433	47 + 13i	497	47 + 19i
50	51 + 49i	114	51 + 47i	178	45 + 49i	242	45 + 47i	306	51 + 15i	370	51 + 17i	434	45 + 15i	498	45 + 17i
51	51 + 51i	115	51 + 45i	179	45 + 51i	243	45 + 45i	307	51 + 13i	371	51 + 19i	435	45 + 13i	499	45 + 19i
52	49 + 55i	116	49 + 41i	180	47 + 55i	244	47 + 41i	308	49 + 9i	372	49 + 23i	436	47 + 9i	500	47 + 23i
53	49 + 53i	117	49 + 43i	181	47 + 53i	245	47 + 43i	309	49 + 11i	373	49 + 21i	437	47 + 11i	501	47 + 21i
54	13 + 73i	118	51 + 41i	182	45 + 55i	246	45 + 41i	310	51 + 9i	374	51 + 23i	438	45 + 9i	502	45 + 23i
55	51 + 53i	119	51 + 43i	183	45 + 53i	247	45 + 43i	311	51 + 11i	375	51 + 21i	439	45 + 11i	503	45 + 21i
56	55 + 49i	120	55 + 47i	184	41 + 49i	248	41 + 47i	312	55 + 15i	376	55 + 17i	440	41 + 15i	504	41 + 17i
57	73 + 13i	121	55 + 45i	185	41 + 51i	249	41 + 45i	313	55 + 13i	377	55 + 19i	441	41 + 13i	505	41 + 19i
58	53 + 49i	122	53 + 47i	186	43 + 49i	250	43 + 47i	314	53 + 15i	378	53 + 17i	442	43 + 15i	506	43 + 17i
59	53 + 51i	123	53 + 45i	187	43 + 51i	251	43 + 45i	315	53 + 13i	379	53 + 19i	443	43 + 13i	507	43 + 19i
60	73 + 9i	124	55 + 41i	188	41 + 55i	252	41 + 41i	316	55 + 9i	380	55 + 23i	444	41 + 9i	508	41 + 23i
61	73 + 11i	125	55 + 43i	189	41 + 53i	253	41 + 43i	317	55 + 11i	381	55 + 21i	445	41 + 11i	509	41 + 21i
62	11 + 73i	126	53 + 41i	190	43 + 55i	254	43 + 41i	318	53 + 9i	382	53 + 23i	446	43 + 9i	510	43 + 23i
63	53 + 53i	127	53 + 43i	191	43 + 53i	255	43 + 43i	319	53 + 11i	383	53 + 21i	447	43 + 11i	511	43 + 21i

Fig. 18

Valor	Dispersión																		
512	1 + 63i	576	1 + 33i	640	31 + 63i	704	31 + 33i	768	1 + 11i	832	1 + 31i	896	31 + 11i	960	31 + 31i				
513	1 + 61i	577	1 + 35i	641	31 + 61i	705	31 + 35i	769	1 + 3i	833	1 + 29i	897	31 + 3i	961	31 + 29i				
514	3 + 63i	578	3 + 33i	642	29 + 63i	706	29 + 33i	770	3 + 11i	834	3 + 31i	898	29 + 11i	962	29 + 31i				
515	3 + 61i	579	3 + 35i	643	29 + 61i	707	29 + 35i	771	3 + 3i	835	3 + 29i	899	29 + 3i	963	29 + 29i				
516	1 + 57i	580	1 + 39i	644	31 + 57i	708	31 + 39i	772	1 + 7i	836	1 + 25i	900	31 + 7i	964	31 + 25i				
517	1 + 59i	581	1 + 37i	645	31 + 59i	709	31 + 37i	773	1 + 5i	837	1 + 27i	901	31 + 5i	965	31 + 27i				
518	3 + 57i	582	3 + 39i	646	29 + 57i	710	29 + 39i	774	3 + 7i	838	3 + 25i	902	29 + 7i	966	29 + 25i				
519	3 + 59i	583	3 + 37i	647	29 + 59i	711	29 + 37i	775	3 + 5i	839	3 + 27i	903	29 + 5i	967	29 + 27i				
520	7 + 63i	584	7 + 33i	648	25 + 63i	712	25 + 33i	776	7 + 11i	840	7 + 31i	904	25 + 11i	968	25 + 31i				
521	7 + 61i	585	7 + 35i	649	25 + 61i	713	25 + 35i	777	7 + 3i	841	7 + 29i	905	25 + 3i	969	25 + 29i				
522	5 + 63i	586	5 + 33i	650	27 + 63i	714	27 + 33i	778	5 + 11i	842	5 + 31i	906	27 + 11i	970	27 + 31i				
523	5 + 61i	587	5 + 35i	651	27 + 61i	715	27 + 35i	779	5 + 3i	843	5 + 29i	907	27 + 3i	971	27 + 29i				
524	7 + 57i	588	7 + 39i	652	25 + 57i	716	25 + 39i	780	7 + 7i	844	7 + 25i	908	25 + 7i	972	25 + 25i				
525	7 + 59i	589	7 + 37i	653	25 + 59i	717	25 + 37i	781	7 + 5i	845	7 + 27i	909	25 + 5i	973	25 + 27i				
526	5 + 57i	590	5 + 39i	654	27 + 57i	718	27 + 39i	782	5 + 7i	846	5 + 25i	910	27 + 7i	974	27 + 25i				
527	5 + 59i	591	5 + 37i	655	27 + 59i	719	27 + 37i	783	5 + 5i	847	5 + 27i	911	27 + 5i	975	27 + 27i				
528	1 + 49i	592	1 + 47i	656	31 + 49i	720	31 + 47i	784	1 + 15i	848	1 + 17i	912	31 + 15i	976	31 + 17i				
529	1 + 51i	593	1 + 45i	657	31 + 51i	721	31 + 45i	785	1 + 13i	849	1 + 19i	913	31 + 13i	977	31 + 19i				
530	3 + 49i	594	3 + 47i	658	29 + 49i	722	29 + 47i	786	3 + 15i	850	3 + 17i	914	29 + 15i	978	29 + 17i				
531	3 + 51i	595	3 + 45i	659	29 + 51i	723	29 + 45i	787	3 + 13i	851	3 + 19i	915	29 + 13i	979	29 + 19i				
532	1 + 55i	596	1 + 41i	660	31 + 55i	724	31 + 41i	788	1 + 9i	852	1 + 23i	916	31 + 9i	980	31 + 23i				
533	1 + 53i	597	1 + 43i	661	31 + 53i	725	31 + 43i	789	1 + 11i	853	1 + 21i	917	31 + 11i	981	31 + 21i				
534	3 + 55i	598	3 + 41i	662	29 + 55i	726	29 + 41i	790	3 + 9i	854	3 + 23i	918	29 + 9i	982	29 + 23i				
535	3 + 53i	599	3 + 43i	663	29 + 53i	727	29 + 43i	791	3 + 11i	855	3 + 21i	919	29 + 11i	983	29 + 21i				
536	7 + 49i	600	7 + 47i	664	25 + 49i	728	25 + 47i	792	7 + 15i	856	7 + 17i	920	25 + 15i	984	25 + 17i				
537	7 + 51i	601	7 + 45i	665	25 + 51i	729	25 + 45i	793	7 + 13i	857	7 + 19i	921	25 + 13i	985	25 + 19i				
538	5 + 49i	602	5 + 47i	666	27 + 49i	730	27 + 47i	794	5 + 15i	858	5 + 17i	922	27 + 15i	986	27 + 17i				
539	5 + 51i	603	5 + 45i	667	27 + 51i	731	27 + 45i	795	5 + 13i	859	5 + 19i	923	27 + 13i	987	27 + 19i				
540	7 + 55i	604	7 + 41i	668	25 + 55i	732	25 + 41i	796	7 + 9i	860	7 + 23i	924	25 + 9i	988	25 + 23i				

Fig. 19

541	7 + 53i	605	7 + 43i	669	25 + 53i	733	25 + 43i	797	7 + 11i	861	7 + 21i	925	25 + 11i	989	25 + 21i
542	5 + 55i	606	5 + 41i	670	27 + 55i	734	27 + 41i	798	5 + 9i	862	5 + 23i	926	27 + 9i	990	27 + 23i
543	5 + 53i	607	5 + 43i	671	27 + 53i	735	27 + 43i	799	5 + 11i	863	5 + 21i	927	27 + 11i	991	27 + 21i
544	15 + 63i	608	15 + 33i	672	17 + 63i	736	17 + 33i	800	15 + 1i	864	15 + 31i	928	17 + 1i	992	17 + 31i
545	15 + 61i	609	15 + 35i	673	17 + 61i	737	17 + 35i	801	15 + 3i	865	15 + 29i	929	17 + 3i	993	17 + 29i
546	13 + 63i	610	13 + 33i	674	19 + 63i	738	19 + 33i	802	13 + 1i	866	13 + 31i	930	19 + 1i	994	19 + 31i
547	13 + 61i	611	13 + 35i	675	19 + 61i	739	19 + 35i	803	13 + 3i	867	13 + 29i	931	19 + 3i	995	19 + 29i
548	15 + 57i	612	15 + 39i	676	17 + 57i	740	17 + 39i	804	15 + 7i	868	15 + 25i	932	17 + 7i	996	17 + 25i
549	15 + 59i	613	15 + 37i	677	17 + 59i	741	17 + 37i	805	15 + 5i	869	15 + 27i	933	17 + 5i	997	17 + 27i
550	13 + 57i	614	13 + 39i	678	19 + 57i	742	19 + 39i	806	13 + 7i	870	13 + 25i	934	19 + 7i	998	19 + 25i
551	13 + 59i	615	13 + 37i	679	19 + 59i	743	19 + 37i	807	13 + 5i	871	13 + 27i	935	19 + 5i	999	19 + 27i
552	9 + 63i	616	9 + 33i	680	23 + 63i	744	23 + 33i	808	9 + 1i	872	9 + 31i	936	23 + 1i	1000	23 + 31i
553	9 + 61i	617	9 + 35i	681	23 + 61i	745	23 + 35i	809	9 + 3i	873	9 + 29i	937	23 + 3i	1001	23 + 29i
554	11 + 63i	618	11 + 33i	682	21 + 63i	746	21 + 33i	810	11 + 1i	874	11 + 31i	938	21 + 1i	1002	21 + 31i
555	11 + 61i	619	11 + 35i	683	21 + 61i	747	21 + 35i	811	11 + 3i	875	11 + 29i	939	21 + 3i	1003	21 + 29i
556	9 + 57i	620	9 + 39i	684	23 + 57i	748	23 + 39i	812	9 + 7i	876	9 + 25i	940	23 + 7i	1004	23 + 25i
557	9 + 59i	621	9 + 37i	685	23 + 59i	749	23 + 37i	813	9 + 5i	877	9 + 27i	941	23 + 5i	1005	23 + 27i
558	11 + 57i	622	11 + 39i	686	21 + 57i	750	21 + 39i	814	11 + 7i	878	11 + 25i	942	21 + 7i	1006	21 + 25i
559	11 + 59i	623	11 + 37i	687	21 + 59i	751	21 + 37i	815	11 + 5i	879	11 + 27i	943	21 + 5i	1007	21 + 27i
560	15 + 49i	624	15 + 47i	688	17 + 49i	752	17 + 47i	816	15 + 15i	880	15 + 17i	944	17 + 15i	1008	17 + 17i
561	15 + 51i	625	15 + 45i	689	17 + 51i	753	17 + 45i	817	15 + 13i	881	15 + 19i	945	17 + 13i	1009	17 + 19i
562	13 + 49i	626	13 + 47i	690	19 + 49i	754	19 + 47i	818	13 + 15i	882	13 + 17i	946	19 + 15i	1010	19 + 17i
563	13 + 51i	627	13 + 45i	691	19 + 51i	755	19 + 45i	819	13 + 13i	883	13 + 19i	947	19 + 13i	1011	19 + 19i
564	15 + 55i	628	15 + 41i	692	17 + 55i	756	17 + 41i	820	15 + 9i	884	15 + 23i	948	17 + 9i	1012	17 + 23i
565	15 + 53i	629	15 + 43i	693	17 + 53i	757	17 + 43i	821	15 + 11i	885	15 + 21i	949	17 + 11i	1013	17 + 21i
566	13 + 55i	630	13 + 41i	694	19 + 55i	758	19 + 41i	822	13 + 9i	886	13 + 23i	950	19 + 9i	1014	19 + 23i
567	13 + 53i	631	13 + 43i	695	19 + 53i	759	19 + 43i	823	13 + 11i	887	13 + 21i	951	19 + 11i	1015	19 + 21i
568	9 + 49i	632	9 + 47i	696	23 + 49i	760	23 + 47i	824	9 + 15i	888	9 + 17i	952	23 + 15i	1016	23 + 17i
569	9 + 51i	633	9 + 45i	697	23 + 51i	761	23 + 45i	825	9 + 13i	889	9 + 19i	953	23 + 13i	1017	23 + 19i
570	11 + 49i	634	11 + 47i	698	21 + 49i	762	21 + 47i	826	11 + 15i	890	11 + 17i	954	21 + 15i	1018	21 + 17i
571	11 + 51i	635	11 + 45i	699	21 + 51i	763	21 + 45i	827	11 + 13i	891	11 + 19i	955	21 + 13i	1019	21 + 19i
572	9 + 55i	636	9 + 41i	700	23 + 55i	764	23 + 41i	828	9 + 9i	892	9 + 23i	956	23 + 9i	1020	23 + 23i
573	9 + 53i	637	9 + 43i	701	23 + 53i	765	23 + 43i	829	9 + 11i	893	9 + 21i	957	23 + 11i	1021	23 + 21i
574	11 + 55i	638	11 + 41i	702	21 + 55i	766	21 + 41i	830	11 + 9i	894	11 + 23i	958	21 + 9i	1022	21 + 23i
575	11 + 53i	639	11 + 43i	703	21 + 53i	767	21 + 43i	831	11 + 11i	895	11 + 21i	959	21 + 11i	1023	21 + 21i

Fig. 20

Valor	Dispersión																			
1024	1 - 65i	1088	63 - 33i	1152	33 - 63i	1216	33 - 33i	1280	63 - 11i	1344	63 - 31i	1408	33 - 11i	1472	33 - 31i					
1025	65 - 3i	1089	65 - 29i	1153	33 - 61i	1217	33 - 35i	1281	63 - 3i	1345	63 - 29i	1409	33 - 3i	1473	33 - 29i					
1026	3 - 65i	1090	61 - 33i	1154	29 - 65i	1218	35 - 33i	1282	61 - 1i	1346	61 - 31i	1410	35 - 1i	1474	35 - 31i					
1027	3 - 67i	1091	61 - 35i	1155	35 - 61i	1219	35 - 35i	1283	61 - 3i	1347	61 - 29i	1411	35 - 3i	1475	35 - 29i					
1028	65 - 7i	1092	65 - 25i	1156	33 - 57i	1220	33 - 39i	1284	63 - 7i	1348	63 - 25i	1412	33 - 7i	1476	33 - 25i					
1029	65 - 5i	1093	65 - 27i	1157	33 - 59i	1221	33 - 37i	1285	63 - 5i	1349	63 - 27i	1413	33 - 5i	1477	33 - 27i					
1030	67 - 7i	1094	67 - 25i	1158	35 - 57i	1222	35 - 39i	1286	61 - 7i	1350	61 - 25i	1414	35 - 7i	1478	35 - 25i					
1031	67 - 5i	1095	61 - 37i	1159	35 - 59i	1223	35 - 37i	1287	61 - 5i	1351	61 - 27i	1415	35 - 5i	1479	35 - 27i					
1032	7 - 65i	1096	57 - 33i	1160	25 - 65i	1224	39 - 33i	1288	57 - 1i	1352	57 - 31i	1416	39 - 1i	1480	39 - 31i					
1033	7 - 67i	1097	57 - 35i	1161	25 - 67i	1225	39 - 35i	1289	57 - 3i	1353	57 - 29i	1417	39 - 3i	1481	39 - 29i					
1034	5 - 65i	1098	59 - 33i	1162	27 - 65i	1226	37 - 33i	1290	59 - 1i	1354	59 - 31i	1418	37 - 1i	1482	37 - 31i					
1035	5 - 67i	1099	59 - 35i	1163	27 - 67i	1227	37 - 35i	1291	59 - 3i	1355	59 - 29i	1419	37 - 3i	1483	37 - 29i					
1036	7 - 71i	1100	57 - 39i	1164	39 - 57i	1228	39 - 39i	1292	57 - 7i	1356	57 - 25i	1420	39 - 7i	1484	39 - 25i					
1037	7 - 69i	1101	57 - 37i	1165	39 - 59i	1229	39 - 37i	1293	57 - 5i	1357	57 - 27i	1421	39 - 5i	1485	39 - 27i					
1038	69 - 7i	1102	59 - 39i	1166	37 - 57i	1230	37 - 39i	1294	59 - 7i	1358	59 - 25i	1422	37 - 7i	1486	37 - 25i					
1039	5 - 69i	1103	59 - 37i	1167	37 - 59i	1231	37 - 37i	1295	59 - 5i	1359	59 - 27i	1423	37 - 5i	1487	37 - 27i					
1040	65 - 15i	1104	65 - 17i	1168	33 - 49i	1232	33 - 47i	1296	63 - 15i	1360	63 - 17i	1424	33 - 15i	1488	33 - 17i					
1041	65 - 13i	1105	65 - 19i	1169	33 - 51i	1233	33 - 45i	1297	63 - 13i	1361	63 - 19i	1425	33 - 13i	1489	33 - 19i					
1042	67 - 15i	1106	67 - 17i	1170	35 - 49i	1234	35 - 47i	1298	61 - 15i	1362	61 - 17i	1426	35 - 15i	1490	35 - 17i					
1043	67 - 13i	1107	67 - 19i	1171	35 - 51i	1235	35 - 45i	1299	61 - 13i	1363	61 - 19i	1427	35 - 13i	1491	35 - 19i					
1044	65 - 9i	1108	65 - 23i	1172	33 - 55i	1236	33 - 41i	1300	63 - 9i	1364	63 - 23i	1428	33 - 9i	1492	33 - 23i					
1045	65 - 11i	1109	65 - 21i	1173	33 - 53i	1237	33 - 43i	1301	63 - 11i	1365	63 - 21i	1429	33 - 11i	1493	33 - 21i					
1046	67 - 9i	1110	67 - 23i	1174	35 - 55i	1238	35 - 41i	1302	61 - 9i	1366	61 - 23i	1430	35 - 9i	1494	35 - 23i					
1047	67 - 11i	1111	67 - 21i	1175	35 - 53i	1239	35 - 43i	1303	61 - 11i	1367	61 - 21i	1431	35 - 11i	1495	35 - 21i					
1048	71 - 15i	1112	71 - 17i	1176	39 - 49i	1240	39 - 47i	1304	57 - 15i	1368	57 - 17i	1432	39 - 15i	1496	39 - 17i					
1049	71 - 13i	1113	57 - 45i	1177	39 - 51i	1241	39 - 45i	1305	57 - 13i	1369	57 - 19i	1433	39 - 13i	1497	39 - 19i					
1050	69 - 15i	1114	69 - 17i	1178	37 - 49i	1242	37 - 47i	1306	59 - 15i	1370	59 - 17i	1434	37 - 15i	1498	37 - 17i					
1051	69 - 13i	1115	69 - 19i	1179	37 - 51i	1243	37 - 45i	1307	59 - 13i	1371	59 - 19i	1435	37 - 13i	1499	37 - 19i					
1052	71 - 9i	1116	57 - 41i	1180	39 - 55i	1244	39 - 41i	1308	57 - 9i	1372	57 - 23i	1436	39 - 9i	1500	39 - 23i					
1053	71 - 11i	1117	57 - 43i	1181	39 - 53i	1245	39 - 43i	1309	57 - 11i	1373	57 - 21i	1437	39 - 11i	1501	39 - 21i					
1054	69 - 9i	1118	59 - 41i	1182	37 - 55i	1246	37 - 41i	1310	59 - 9i	1374	59 - 23i	1438	37 - 9i	1502	37 - 23i					
1055	69 - 11i	1119	69 - 21i	1183	37 - 53i	1247	37 - 43i	1311	59 - 11i	1375	59 - 21i	1439	37 - 11i	1503	37 - 21i					

Fig. 21

1056	15 - 65i	1120	49 - 33i	1184	17 - 65i	1248	47 - 33i	1312	49 - 1i	1376	49 - 31i	1440	47 - 1i	1504	47 - 31i
1057	15 - 67i	1121	49 - 35i	1185	17 - 67i	1249	47 - 35i	1313	49 - 3i	1377	49 - 29i	1441	47 - 3i	1505	47 - 29i
1058	13 - 65i	1122	51 - 33i	1186	19 - 65i	1250	45 - 33i	1314	51 - 1i	1378	51 - 31i	1442	45 - 1i	1506	45 - 31i
1059	13 - 67i	1123	51 - 35i	1187	19 - 67i	1251	45 - 35i	1315	51 - 3i	1379	51 - 29i	1443	45 - 3i	1507	45 - 29i
1060	15 - 71i	1124	49 - 39i	1188	17 - 71i	1252	47 - 39i	1316	49 - 7i	1380	49 - 25i	1444	47 - 7i	1508	47 - 25i
1061	15 - 69i	1125	49 - 37i	1189	17 - 69i	1253	47 - 37i	1317	49 - 5i	1381	49 - 27i	1445	47 - 5i	1509	47 - 27i
1062	13 - 71i	1126	51 - 39i	1190	45 - 57i	1254	45 - 39i	1318	51 - 7i	1382	51 - 25i	1446	45 - 7i	1510	45 - 25i
1063	13 - 69i	1127	51 - 37i	1191	19 - 69i	1255	45 - 37i	1319	51 - 5i	1383	51 - 27i	1447	45 - 5i	1511	45 - 27i
1064	9 - 65i	1128	55 - 33i	1192	23 - 65i	1256	41 - 33i	1320	55 - 1i	1384	55 - 31i	1448	41 - 1i	1512	41 - 31i
1065	9 - 67i	1129	55 - 35i	1193	23 - 67i	1257	41 - 35i	1321	55 - 3i	1385	55 - 29i	1449	41 - 3i	1513	41 - 29i
1066	11 - 65i	1130	53 - 33i	1194	21 - 65i	1258	43 - 33i	1322	53 - 1i	1386	53 - 31i	1450	43 - 1i	1514	43 - 31i
1067	11 - 67i	1131	53 - 35i	1195	21 - 67i	1259	43 - 35i	1323	53 - 3i	1387	53 - 29i	1451	43 - 3i	1515	43 - 29i
1068	9 - 71i	1132	55 - 39i	1196	41 - 57i	1260	41 - 39i	1324	55 - 7i	1388	55 - 25i	1452	41 - 7i	1516	41 - 25i
1069	9 - 69i	1133	55 - 37i	1197	41 - 59i	1261	41 - 37i	1325	55 - 5i	1389	55 - 27i	1453	41 - 5i	1517	41 - 27i
1070	11 - 71i	1134	53 - 39i	1198	43 - 57i	1262	43 - 39i	1326	53 - 7i	1390	53 - 25i	1454	43 - 7i	1518	43 - 25i
1071	11 - 69i	1135	53 - 37i	1199	21 - 69i	1263	43 - 37i	1327	53 - 5i	1391	53 - 27i	1455	43 - 5i	1519	43 - 27i
1072	49 - 49i	1136	49 - 47i	1200	47 - 49i	1264	47 - 47i	1328	49 - 15i	1392	49 - 17i	1456	47 - 15i	1520	47 - 17i
1073	49 - 51i	1137	49 - 45i	1201	47 - 51i	1265	47 - 45i	1329	49 - 13i	1393	49 - 19i	1457	47 - 13i	1521	47 - 19i
1074	51 - 49i	1138	51 - 47i	1202	45 - 49i	1266	45 - 47i	1330	51 - 15i	1394	51 - 17i	1458	45 - 15i	1522	45 - 17i
1075	51 - 51i	1139	51 - 45i	1203	45 - 51i	1267	45 - 45i	1331	51 - 13i	1395	51 - 19i	1459	45 - 13i	1523	45 - 19i
1076	49 - 55i	1140	49 - 41i	1204	47 - 55i	1268	47 - 41i	1332	49 - 9i	1396	49 - 23i	1460	47 - 9i	1524	47 - 23i
1077	49 - 53i	1141	49 - 43i	1205	47 - 53i	1269	47 - 43i	1333	49 - 11i	1397	49 - 21i	1461	47 - 11i	1525	47 - 21i
1078	13 - 73i	1142	51 - 41i	1206	45 - 55i	1270	45 - 41i	1334	51 - 9i	1398	51 - 23i	1462	45 - 9i	1526	45 - 23i
1079	51 - 53i	1143	51 - 43i	1207	45 - 53i	1271	45 - 43i	1335	51 - 11i	1399	51 - 21i	1463	45 - 11i	1527	45 - 21i
1080	55 - 49i	1144	55 - 47i	1208	41 - 49i	1272	41 - 47i	1336	55 - 15i	1400	55 - 17i	1464	41 - 15i	1528	41 - 17i
1081	73 - 13i	1145	55 - 45i	1209	41 - 51i	1273	41 - 45i	1337	55 - 13i	1401	55 - 19i	1465	41 - 13i	1529	41 - 19i
1082	53 - 49i	1146	53 - 47i	1210	43 - 49i	1274	43 - 47i	1338	53 - 15i	1402	53 - 17i	1466	43 - 15i	1530	43 - 17i
1083	53 - 51i	1147	53 - 45i	1211	43 - 51i	1275	43 - 45i	1339	53 - 13i	1403	53 - 19i	1467	43 - 13i	1531	43 - 19i
1084	9 - 73i	1148	55 - 41i	1212	41 - 55i	1276	41 - 41i	1340	55 - 9i	1404	55 - 23i	1468	41 - 9i	1532	41 - 23i
1085	73 - 11i	1149	55 - 43i	1213	41 - 53i	1277	41 - 43i	1341	55 - 11i	1405	55 - 21i	1469	41 - 11i	1533	41 - 21i
1086	11 - 73i	1150	53 - 41i	1214	43 - 55i	1278	43 - 41i	1342	53 - 9i	1406	53 - 23i	1470	43 - 9i	1534	43 - 23i
1087	53 - 53i	1151	53 - 43i	1215	43 - 53i	1279	43 - 43i	1343	53 - 11i	1407	53 - 21i	1471	43 - 11i	1535	43 - 21i

Fig. 22

Valor	Dispersión														
1536	1 - 63	1600	1 - 33	1664	31 - 63	1728	31 - 33	1792	1 - 1	1856	1 - 31	1920	31 - 1	1984	31 - 31
1537	1 - 61	1601	1 - 35	1665	31 - 61	1729	31 - 35	1793	1 - 3	1857	1 - 29	1921	31 - 3	1985	31 - 29
1538	3 - 63	1602	3 - 33	1666	29 - 63	1730	29 - 33	1794	3 - 1	1858	3 - 31	1922	29 - 1	1986	29 - 31
1539	3 - 61	1603	3 - 35	1667	29 - 61	1731	29 - 35	1795	3 - 3	1859	3 - 29	1923	29 - 3	1987	29 - 29
1540	1 - 57	1604	1 - 39	1668	31 - 57	1732	31 - 39	1796	1 - 7	1860	1 - 25	1924	31 - 7	1988	31 - 25
1541	1 - 59	1605	1 - 37	1669	31 - 59	1733	31 - 37	1797	1 - 5	1861	1 - 27	1925	31 - 5	1989	31 - 27
1542	3 - 57	1606	3 - 39	1670	29 - 57	1734	29 - 39	1798	3 - 7	1862	3 - 25	1926	29 - 7	1990	29 - 25
1543	3 - 59	1607	3 - 37	1671	29 - 59	1735	29 - 37	1799	3 - 5	1863	3 - 27	1927	29 - 5	1991	29 - 27
1544	7 - 63	1608	7 - 33	1672	25 - 63	1736	25 - 33	1800	7 - 1	1864	7 - 31	1928	25 - 1	1992	25 - 31
1545	7 - 61	1609	7 - 35	1673	25 - 61	1737	25 - 35	1801	7 - 3	1865	7 - 29	1929	25 - 3	1993	25 - 29
1546	5 - 63	1610	5 - 33	1674	27 - 63	1738	27 - 33	1802	5 - 1	1866	5 - 31	1930	27 - 1	1994	27 - 31
1547	5 - 61	1611	5 - 35	1675	27 - 61	1739	27 - 35	1803	5 - 3	1867	5 - 29	1931	27 - 3	1995	27 - 29
1548	7 - 57	1612	7 - 39	1676	25 - 57	1740	25 - 39	1804	7 - 7	1868	7 - 25	1932	25 - 7	1996	25 - 25
1549	7 - 59	1613	7 - 37	1677	25 - 59	1741	25 - 37	1805	7 - 5	1869	7 - 27	1933	25 - 5	1997	25 - 27
1550	5 - 57	1614	5 - 39	1678	27 - 57	1742	27 - 39	1806	5 - 7	1870	5 - 25	1934	27 - 7	1998	27 - 25
1551	5 - 59	1615	5 - 37	1679	27 - 59	1743	27 - 37	1807	5 - 5	1871	5 - 27	1935	27 - 5	1999	27 - 27
1552	1 - 49	1616	1 - 47	1680	31 - 49	1744	31 - 47	1808	1 - 15	1872	1 - 17	1936	31 - 15	2000	31 - 17
1553	1 - 51	1617	1 - 45	1681	31 - 51	1745	31 - 45	1809	1 - 13	1873	1 - 19	1937	31 - 13	2001	31 - 19
1554	3 - 49	1618	3 - 47	1682	29 - 49	1746	29 - 47	1810	3 - 15	1874	3 - 17	1938	29 - 15	2002	29 - 17
1555	3 - 51	1619	3 - 45	1683	29 - 51	1747	29 - 45	1811	3 - 13	1875	3 - 19	1939	29 - 13	2003	29 - 19
1556	1 - 55	1620	1 - 41	1684	31 - 55	1748	31 - 41	1812	1 - 9	1876	1 - 23	1940	31 - 9	2004	31 - 23
1557	1 - 53	1621	1 - 43	1685	31 - 53	1749	31 - 43	1813	1 - 11	1877	1 - 21	1941	31 - 11	2005	31 - 21
1558	3 - 55	1622	3 - 41	1686	29 - 55	1750	29 - 41	1814	3 - 9	1878	3 - 23	1942	29 - 9	2006	29 - 23
1559	3 - 53	1623	3 - 43	1687	29 - 53	1751	29 - 43	1815	3 - 11	1879	3 - 21	1943	29 - 11	2007	29 - 21
1560	7 - 49	1624	7 - 47	1688	25 - 49	1752	25 - 47	1816	7 - 15	1880	7 - 17	1944	25 - 15	2008	25 - 17
1561	7 - 51	1625	7 - 45	1689	25 - 51	1753	25 - 45	1817	7 - 13	1881	7 - 19	1945	25 - 13	2009	25 - 19
1562	5 - 49	1626	5 - 47	1690	27 - 49	1754	27 - 47	1818	5 - 15	1882	5 - 17	1946	27 - 15	2010	27 - 17
1563	5 - 51	1627	5 - 45	1691	27 - 51	1755	27 - 45	1819	5 - 13	1883	5 - 19	1947	27 - 13	2011	27 - 19
1564	7 - 55	1628	7 - 41	1692	25 - 55	1756	25 - 41	1820	7 - 9	1884	7 - 23	1948	25 - 9	2012	25 - 23
1565	7 - 53	1629	7 - 43	1693	25 - 53	1757	25 - 43	1821	7 - 11	1885	7 - 21	1949	25 - 11	2013	25 - 21
1566	5 - 55	1630	5 - 41	1694	27 - 55	1758	27 - 41	1822	5 - 9	1886	5 - 23	1950	27 - 9	2014	27 - 23
1567	5 - 53	1631	5 - 43	1695	27 - 53	1759	27 - 43	1823	5 - 11	1887	5 - 21	1951	27 - 11	2015	27 - 21
1568	15 - 63	1632	15 - 33	1696	17 - 63	1760	17 - 33	1824	15 - 1	1888	15 - 31	1952	17 - 1	2016	17 - 31
1569	15 - 61	1633	15 - 35	1697	17 - 61	1761	17 - 35	1825	15 - 3	1889	15 - 29	1953	17 - 3	2017	17 - 29
1570	13 - 63	1634	13 - 33	1698	19 - 63	1762	19 - 33	1826	13 - 1	1890	13 - 31	1954	19 - 1	2018	19 - 31

Fig. 23

1571	13 - 61i	1635	13 - 35i	1699	19 - 61i	1763	19 - 35i	1827	13 - 3i	1891	13 - 29i	1955	19 - 3i	2019	19 - 29i
1572	15 - 57i	1636	15 - 39i	1700	17 - 57i	1764	17 - 39i	1828	15 - 7i	1892	15 - 25i	1956	17 - 7i	2020	17 - 25i
1573	15 - 59i	1637	15 - 37i	1701	17 - 59i	1765	17 - 37i	1829	15 - 5i	1893	15 - 27i	1957	17 - 5i	2021	17 - 27i
1574	13 - 57i	1638	13 - 39i	1702	19 - 57i	1766	19 - 39i	1830	13 - 7i	1894	13 - 25i	1958	19 - 7i	2022	19 - 25i
1575	13 - 59i	1639	13 - 37i	1703	19 - 59i	1767	19 - 37i	1831	13 - 5i	1895	13 - 27i	1959	19 - 5i	2023	19 - 27i
1576	9 - 63i	1640	9 - 33i	1704	23 - 63i	1768	23 - 33i	1832	9 - 1i	1896	9 - 31i	1960	23 - 1i	2024	23 - 31i
1577	9 - 61i	1641	9 - 35i	1705	23 - 61i	1769	23 - 35i	1833	9 - 3i	1897	9 - 29i	1961	23 - 3i	2025	23 - 29i
1578	11 - 63i	1642	11 - 33i	1706	21 - 63i	1770	21 - 33i	1834	11 - 1i	1898	11 - 31i	1962	21 - 1i	2026	21 - 31i
1579	11 - 61i	1643	11 - 35i	1707	21 - 61i	1771	21 - 35i	1835	11 - 3i	1899	11 - 29i	1963	21 - 3i	2027	21 - 29i
1580	9 - 57i	1644	9 - 39i	1708	23 - 57i	1772	23 - 39i	1836	9 - 7i	1900	9 - 25i	1964	23 - 7i	2028	23 - 25i
1581	9 - 59i	1645	9 - 37i	1709	23 - 59i	1773	23 - 37i	1837	9 - 5i	1901	9 - 27i	1965	23 - 5i	2029	23 - 27i
1582	11 - 57i	1646	11 - 39i	1710	21 - 57i	1774	21 - 39i	1838	11 - 7i	1902	11 - 25i	1966	21 - 7i	2030	21 - 25i
1583	11 - 59i	1647	11 - 37i	1711	21 - 59i	1775	21 - 37i	1839	11 - 5i	1903	11 - 27i	1967	21 - 5i	2031	21 - 27i
1584	15 - 49i	1648	15 - 47i	1712	17 - 49i	1776	17 - 47i	1840	15 - 15i	1904	15 - 17i	1968	17 - 15i	2032	17 - 17i
1585	15 - 51i	1649	15 - 45i	1713	17 - 51i	1777	17 - 45i	1841	15 - 13i	1905	15 - 19i	1969	17 - 13i	2033	17 - 19i
1586	13 - 49i	1650	13 - 47i	1714	19 - 49i	1778	19 - 47i	1842	13 - 15i	1906	13 - 17i	1970	19 - 15i	2034	19 - 17i
1587	13 - 51i	1651	13 - 45i	1715	19 - 51i	1779	19 - 45i	1843	13 - 13i	1907	13 - 19i	1971	19 - 13i	2035	19 - 19i
1588	15 - 55i	1652	15 - 41i	1716	17 - 55i	1780	17 - 41i	1844	15 - 9i	1908	15 - 23i	1972	17 - 9i	2036	17 - 23i
1589	15 - 53i	1653	15 - 43i	1717	17 - 53i	1781	17 - 43i	1845	15 - 11i	1909	15 - 21i	1973	17 - 11i	2037	17 - 21i
1590	13 - 55i	1654	13 - 41i	1718	19 - 55i	1782	19 - 41i	1846	13 - 9i	1910	13 - 23i	1974	19 - 9i	2038	19 - 23i
1591	13 - 53i	1655	13 - 43i	1719	19 - 53i	1783	19 - 43i	1847	13 - 11i	1911	13 - 21i	1975	19 - 11i	2039	19 - 21i
1592	9 - 49i	1656	9 - 47i	1720	23 - 49i	1784	23 - 47i	1848	9 - 15i	1912	9 - 17i	1976	23 - 15i	2040	23 - 17i
1593	9 - 51i	1657	9 - 45i	1721	23 - 51i	1785	23 - 45i	1849	9 - 13i	1913	9 - 19i	1977	23 - 13i	2041	23 - 19i
1594	11 - 49i	1658	11 - 47i	1722	21 - 49i	1786	21 - 47i	1850	11 - 15i	1914	11 - 17i	1978	21 - 15i	2042	21 - 17i
1595	11 - 51i	1659	11 - 45i	1723	21 - 51i	1787	21 - 45i	1851	11 - 13i	1915	11 - 19i	1979	21 - 13i	2043	21 - 19i
1596	9 - 55i	1660	9 - 41i	1724	23 - 55i	1788	23 - 41i	1852	9 - 9i	1916	9 - 23i	1980	23 - 9i	2044	23 - 23i
1597	9 - 53i	1661	9 - 43i	1725	23 - 53i	1789	23 - 43i	1853	9 - 11i	1917	9 - 21i	1981	23 - 11i	2045	23 - 21i
1598	11 - 55i	1662	11 - 41i	1726	21 - 55i	1790	21 - 41i	1854	11 - 9i	1918	11 - 23i	1982	21 - 9i	2046	21 - 23i
1599	11 - 53i	1663	11 - 43i	1727	21 - 53i	1791	21 - 43i	1855	11 - 11i	1919	11 - 21i	1983	21 - 11i	2047	21 - 21i

Fig. 24

Valor	Dispersión														
2048	-1 + 65i	2112	-63 + 33i	2176	-33 + 63i	2240	-33 + 33i	2304	-63 + 11i	2368	-63 + 31i	2432	-33 + 11i	2496	-33 + 31i
2049	-65 + 3i	2113	-65 + 29i	2177	-33 + 61i	2241	-33 + 35i	2305	-63 + 3i	2369	-63 + 29i	2433	-33 + 3i	2497	-33 + 29i
2050	-3 + 65i	2114	-61 + 33i	2178	-29 + 65i	2242	-35 + 33i	2306	-61 + 11i	2370	-61 + 31i	2434	-35 + 11i	2498	-35 + 31i
2051	-3 + 67i	2115	-61 + 35i	2179	-35 + 61i	2243	-35 + 35i	2307	-61 + 3i	2371	-61 + 29i	2435	-35 + 3i	2499	-35 + 29i
2052	-65 + 7i	2116	-65 + 25i	2180	-33 + 57i	2244	-33 + 39i	2308	-63 + 7i	2372	-63 + 25i	2436	-33 + 7i	2500	-33 + 25i
2053	-65 + 5i	2117	-65 + 27i	2181	-33 + 59i	2245	-33 + 37i	2309	-63 + 5i	2373	-63 + 27i	2437	-33 + 5i	2501	-33 + 27i
2054	-67 + 7i	2118	-67 + 25i	2182	-35 + 57i	2246	-35 + 39i	2310	-61 + 7i	2374	-61 + 25i	2438	-35 + 7i	2502	-35 + 25i
2055	-67 + 5i	2119	-61 + 37i	2183	-35 + 59i	2247	-35 + 37i	2311	-61 + 5i	2375	-61 + 27i	2439	-35 + 5i	2503	-35 + 27i
2056	-7 + 65i	2120	-57 + 33i	2184	-25 + 65i	2248	-39 + 33i	2312	-57 + 11i	2376	-57 + 31i	2440	-39 + 11i	2504	-39 + 31i
2057	-7 + 67i	2121	-57 + 35i	2185	-25 + 67i	2249	-39 + 35i	2313	-57 + 3i	2377	-57 + 29i	2441	-39 + 3i	2505	-39 + 29i
2058	-5 + 65i	2122	-59 + 33i	2186	-27 + 65i	2250	-37 + 33i	2314	-59 + 11i	2378	-59 + 31i	2442	-37 + 11i	2506	-37 + 31i
2059	-5 + 67i	2123	-59 + 35i	2187	-37 + 61i	2251	-37 + 35i	2315	-59 + 3i	2379	-59 + 29i	2443	-37 + 3i	2507	-37 + 29i
2060	-7 + 71i	2124	-57 + 39i	2188	-39 + 57i	2252	-39 + 39i	2316	-57 + 7i	2380	-57 + 25i	2444	-39 + 7i	2508	-39 + 25i
2061	-7 + 69i	2125	-57 + 37i	2189	-39 + 59i	2253	-39 + 37i	2317	-57 + 5i	2381	-57 + 27i	2445	-39 + 5i	2509	-39 + 27i
2062	-69 + 7i	2126	-59 + 39i	2190	-37 + 57i	2254	-37 + 39i	2318	-59 + 7i	2382	-59 + 25i	2446	-37 + 7i	2510	-37 + 25i
2063	-5 + 69i	2127	-59 + 37i	2191	-37 + 59i	2255	-37 + 37i	2319	-59 + 5i	2383	-59 + 27i	2447	-37 + 5i	2511	-37 + 27i
2064	-65 + 15i	2128	-65 + 17i	2192	-33 + 49i	2256	-33 + 47i	2320	-63 + 15i	2384	-63 + 17i	2448	-33 + 15i	2512	-33 + 17i
2065	-65 + 13i	2129	-65 + 19i	2193	-33 + 51i	2257	-33 + 45i	2321	-63 + 13i	2385	-63 + 19i	2449	-33 + 13i	2513	-33 + 19i
2066	-67 + 15i	2130	-67 + 17i	2194	-35 + 49i	2258	-35 + 47i	2322	-61 + 15i	2386	-61 + 17i	2450	-35 + 15i	2514	-35 + 17i
2067	-67 + 13i	2131	-67 + 19i	2195	-35 + 51i	2259	-35 + 45i	2323	-61 + 13i	2387	-61 + 19i	2451	-35 + 13i	2515	-35 + 19i
2068	-65 + 9i	2132	-65 + 23i	2196	-33 + 55i	2260	-33 + 41i	2324	-63 + 9i	2388	-63 + 23i	2452	-33 + 9i	2516	-33 + 23i
2069	-65 + 11i	2133	-65 + 21i	2197	-33 + 53i	2261	-33 + 43i	2325	-63 + 11i	2389	-63 + 21i	2453	-33 + 11i	2517	-33 + 21i
2070	-67 + 9i	2134	-67 + 23i	2198	-35 + 55i	2262	-35 + 41i	2326	-61 + 9i	2390	-61 + 23i	2454	-35 + 9i	2518	-35 + 23i
2071	-67 + 11i	2135	-67 + 21i	2199	-35 + 53i	2263	-35 + 43i	2327	-61 + 11i	2391	-61 + 21i	2455	-35 + 11i	2519	-35 + 21i
2072	-71 + 15i	2136	-71 + 17i	2200	-39 + 49i	2264	-39 + 47i	2328	-57 + 15i	2392	-57 + 17i	2456	-39 + 15i	2520	-39 + 17i
2073	-71 + 13i	2137	-71 + 19i	2201	-39 + 51i	2265	-39 + 45i	2329	-57 + 13i	2393	-57 + 19i	2457	-39 + 13i	2521	-39 + 19i
2074	-69 + 15i	2138	-69 + 17i	2202	-37 + 49i	2266	-37 + 47i	2330	-59 + 15i	2394	-59 + 17i	2458	-37 + 15i	2522	-37 + 17i
2075	-69 + 13i	2139	-69 + 19i	2203	-37 + 51i	2267	-37 + 45i	2331	-59 + 13i	2395	-59 + 19i	2459	-37 + 13i	2523	-37 + 19i
2076	-71 + 9i	2140	-71 + 11i	2204	-39 + 55i	2268	-39 + 41i	2332	-57 + 9i	2396	-57 + 23i	2460	-39 + 9i	2524	-39 + 23i
2077	-71 + 11i	2141	-71 + 13i	2205	-39 + 53i	2269	-39 + 43i	2333	-57 + 11i	2397	-57 + 21i	2461	-39 + 11i	2525	-39 + 21i
2078	-69 + 9i	2142	-69 + 11i	2206	-37 + 55i	2270	-37 + 41i	2334	-59 + 9i	2398	-59 + 23i	2462	-37 + 9i	2526	-37 + 23i
2079	-69 + 11i	2143	-69 + 13i	2207	-37 + 53i	2271	-37 + 43i	2335	-59 + 11i	2399	-59 + 21i	2463	-37 + 11i	2527	-37 + 21i
2080	-15 + 65i	2144	-49 + 33i	2208	-17 + 65i	2272	-47 + 33i	2336	-49 + 11i	2400	-49 + 31i	2464	-47 + 11i	2528	-47 + 31i

Fig. 25

2081	-15 + 67i	2145	-49 + 35i	2209	-17 + 67i	2273	-47 + 35i	2337	-49 + 3i	2401	-49 + 29i	2465	-47 + 3i	2529	-47 + 29i
2082	-13 + 65i	2146	-51 + 33i	2210	-19 + 65i	2274	-45 + 33i	2338	-51 + 1i	2402	-51 + 31i	2466	-45 + 1i	2530	-45 + 31i
2083	-13 + 67i	2147	-51 + 35i	2211	-19 + 67i	2275	-45 + 35i	2339	-51 + 3i	2403	-51 + 29i	2467	-45 + 3i	2531	-45 + 29i
2084	-15 + 71i	2148	-49 + 39i	2212	-17 + 71i	2276	-47 + 39i	2340	-49 + 7i	2404	-49 + 25i	2468	-47 + 7i	2532	-47 + 25i
2085	-15 + 69i	2149	-49 + 37i	2213	-17 + 69i	2277	-47 + 37i	2341	-49 + 5i	2405	-49 + 27i	2469	-47 + 5i	2533	-47 + 27i
2086	-13 + 71i	2150	-51 + 39i	2214	-45 + 57i	2278	-45 + 39i	2342	-51 + 7i	2406	-51 + 25i	2470	-45 + 7i	2534	-45 + 25i
2087	-13 + 69i	2151	-51 + 37i	2215	-19 + 69i	2279	-45 + 37i	2343	-51 + 5i	2407	-51 + 27i	2471	-45 + 5i	2535	-45 + 27i
2088	-9 + 65i	2152	-55 + 33i	2216	-23 + 65i	2280	-41 + 33i	2344	-55 + 1i	2408	-55 + 31i	2472	-41 + 1i	2536	-41 + 31i
2089	-9 + 67i	2153	-55 + 35i	2217	-23 + 67i	2281	-41 + 35i	2345	-55 + 3i	2409	-55 + 29i	2473	-41 + 3i	2537	-41 + 29i
2090	-11 + 65i	2154	-53 + 33i	2218	-21 + 65i	2282	-43 + 33i	2346	-53 + 1i	2410	-53 + 31i	2474	-43 + 1i	2538	-43 + 31i
2091	-11 + 67i	2155	-53 + 35i	2219	-21 + 67i	2283	-43 + 35i	2347	-53 + 3i	2411	-53 + 29i	2475	-43 + 3i	2539	-43 + 29i
2092	-9 + 71i	2156	-55 + 39i	2220	-41 + 57i	2284	-41 + 39i	2348	-55 + 7i	2412	-55 + 25i	2476	-41 + 7i	2540	-41 + 25i
2093	-9 + 69i	2157	-55 + 37i	2221	-41 + 59i	2285	-41 + 37i	2349	-55 + 5i	2413	-55 + 27i	2477	-41 + 5i	2541	-41 + 27i
2094	-11 + 71i	2158	-53 + 39i	2222	-43 + 57i	2286	-43 + 39i	2350	-53 + 7i	2414	-53 + 25i	2478	-43 + 7i	2542	-43 + 25i
2095	-11 + 69i	2159	-53 + 37i	2223	-21 + 69i	2287	-43 + 37i	2351	-53 + 5i	2415	-53 + 27i	2479	-43 + 5i	2543	-43 + 27i
2096	-9 + 49i	2160	-49 + 47i	2224	-47 + 49i	2288	-47 + 47i	2352	-49 + 15i	2416	-49 + 17i	2480	-47 + 15i	2544	-47 + 17i
2097	-9 + 51i	2161	-49 + 45i	2225	-47 + 51i	2289	-47 + 45i	2353	-49 + 13i	2417	-49 + 19i	2481	-47 + 13i	2545	-47 + 19i
2098	-51 + 49i	2162	-51 + 47i	2226	-45 + 49i	2290	-45 + 47i	2354	-51 + 15i	2418	-51 + 17i	2482	-45 + 15i	2546	-45 + 17i
2099	-51 + 51i	2163	-51 + 45i	2227	-45 + 51i	2291	-45 + 45i	2355	-51 + 13i	2419	-51 + 19i	2483	-45 + 13i	2547	-45 + 19i
2100	-49 + 55i	2164	-49 + 41i	2228	-47 + 55i	2292	-47 + 41i	2356	-49 + 9i	2420	-49 + 23i	2484	-47 + 9i	2548	-47 + 23i
2101	-49 + 53i	2165	-49 + 43i	2229	-47 + 53i	2293	-47 + 43i	2357	-49 + 11i	2421	-49 + 21i	2485	-47 + 11i	2549	-47 + 21i
2102	-13 + 73i	2166	-51 + 41i	2230	-45 + 55i	2294	-45 + 41i	2358	-51 + 9i	2422	-51 + 23i	2486	-45 + 9i	2550	-45 + 23i
2103	-51 + 53i	2167	-51 + 43i	2231	-45 + 53i	2295	-45 + 43i	2359	-51 + 11i	2423	-51 + 21i	2487	-45 + 11i	2551	-45 + 21i
2104	-55 + 49i	2168	-55 + 47i	2232	-41 + 49i	2296	-41 + 47i	2360	-55 + 15i	2424	-55 + 17i	2488	-41 + 15i	2552	-41 + 17i
2105	-73 + 13i	2169	-55 + 45i	2233	-41 + 51i	2297	-41 + 45i	2361	-55 + 13i	2425	-55 + 19i	2489	-41 + 13i	2553	-41 + 19i
2106	-53 + 49i	2170	-53 + 47i	2234	-43 + 49i	2298	-43 + 47i	2362	-53 + 15i	2426	-53 + 17i	2490	-43 + 15i	2554	-43 + 17i
2107	-53 + 51i	2171	-53 + 45i	2235	-43 + 51i	2299	-43 + 45i	2363	-53 + 13i	2427	-53 + 19i	2491	-43 + 13i	2555	-43 + 19i
2108	-9 + 73i	2172	-55 + 41i	2236	-41 + 55i	2300	-41 + 41i	2364	-55 + 9i	2428	-55 + 23i	2492	-41 + 9i	2556	-41 + 23i
2109	-73 + 11i	2173	-55 + 43i	2237	-41 + 53i	2301	-41 + 43i	2365	-55 + 11i	2429	-55 + 21i	2493	-41 + 11i	2557	-41 + 21i
2110	-11 + 73i	2174	-53 + 41i	2238	-43 + 55i	2302	-43 + 41i	2366	-53 + 9i	2430	-53 + 23i	2494	-43 + 9i	2558	-43 + 23i
2111	-53 + 53i	2175	-53 + 43i	2239	-43 + 53i	2303	-43 + 43i	2367	-53 + 11i	2431	-53 + 21i	2495	-43 + 11i	2559	-43 + 21i

Fig. 26

2560	-1 + 33	2624	2688	2752	2816	2880	2944	3008	-31 + 31
2561	-1 + 61	2625	2689	2753	2817	2881	2945	3009	-31 + 29
2562	-3 + 63	2626	2690	2754	2818	2882	2946	3010	-29 + 31
2563	-3 + 61	2627	2691	2755	2819	2883	2947	3011	-29 + 29
2564	-1 + 57	2628	2692	2756	2820	2884	2948	3012	-31 + 25
2565	-1 + 59	2629	2693	2757	2821	2885	2949	3013	-31 + 27
2566	-3 + 57	2630	2694	2758	2822	2886	2950	3014	-29 + 25
2567	-3 + 59	2631	2695	2759	2823	2887	2951	3015	-29 + 27
2568	-7 + 63	2632	2696	2760	2824	2888	2952	3016	-25 + 31
2569	-7 + 61	2633	2697	2761	2825	2889	2953	3017	-25 + 29
2570	-5 + 63	2634	2698	2762	2826	2890	2954	3018	-27 + 31
2571	-5 + 61	2635	2699	2763	2827	2891	2955	3019	-27 + 29
2572	-7 + 57	2636	2700	2764	2828	2892	2956	3020	-25 + 25
2573	-7 + 59	2637	2701	2765	2829	2893	2957	3021	-25 + 27
2574	-5 + 57	2638	2702	2766	2830	2894	2958	3022	-27 + 25
2575	-5 + 59	2639	2703	2767	2831	2895	2959	3023	-27 + 27
2576	-1 + 49	2640	2704	2768	2832	2896	2960	3024	-31 + 17
2577	-1 + 51	2641	2705	2769	2833	2897	2961	3025	-31 + 19
2578	-3 + 49	2642	2706	2770	2834	2898	2962	3026	-29 + 17
2579	-3 + 51	2643	2707	2771	2835	2899	2963	3027	-29 + 19
2580	-1 + 55	2644	2708	2772	2836	2900	2964	3028	-31 + 23
2581	-1 + 53	2645	2709	2773	2837	2901	2965	3029	-31 + 21
2582	-3 + 55	2646	2710	2774	2838	2902	2966	3030	-29 + 23
2583	-3 + 53	2647	2711	2775	2839	2903	2967	3031	-29 + 21
2584	-7 + 49	2648	2712	2776	2840	2904	2968	3032	-25 + 17
2585	-7 + 51	2649	2713	2777	2841	2905	2969	3033	-25 + 19
2586	-5 + 49	2650	2714	2778	2842	2906	2970	3034	-27 + 17
2587	-5 + 51	2651	2715	2779	2843	2907	2971	3035	-27 + 19
2588	-7 + 55	2652	2716	2780	2844	2908	2972	3036	-25 + 23
2589	-7 + 53	2653	2717	2781	2845	2909	2973	3037	-25 + 21
2590	-5 + 55	2654	2718	2782	2846	2910	2974	3038	-27 + 23

Fig. 27

2591	-5 + 53	2655	-5 + 43	2719	-27 + 53	2783	-27 + 43	2847	-5 + 11	2911	-5 + 21	2975	-27 + 11	3039	-27 + 21
2592	-15 + 63	2656	-15 + 33	2720	-17 + 63	2784	-17 + 33	2848	-15 + 11	2912	-15 + 31	2976	-17 + 11	3040	-17 + 31
2593	-15 + 61	2657	-15 + 35	2721	-17 + 61	2785	-17 + 35	2849	-15 + 3	2913	-15 + 29	2977	-17 + 3	3041	-17 + 29
2594	-13 + 63	2658	-13 + 33	2722	-19 + 63	2786	-19 + 33	2850	-13 + 1	2914	-13 + 31	2978	-19 + 1	3042	-19 + 31
2595	-13 + 61	2659	-13 + 35	2723	-19 + 61	2787	-19 + 35	2851	-13 + 3	2915	-13 + 29	2979	-19 + 3	3043	-19 + 29
2596	-15 + 57	2660	-15 + 39	2724	-17 + 57	2788	-17 + 39	2852	-15 + 7	2916	-15 + 25	2980	-17 + 7	3044	-17 + 25
2597	-15 + 59	2661	-15 + 37	2725	-17 + 59	2789	-17 + 37	2853	-15 + 5	2917	-15 + 27	2981	-17 + 5	3045	-17 + 27
2598	-13 + 57	2662	-13 + 39	2726	-19 + 57	2790	-19 + 39	2854	-13 + 7	2918	-13 + 25	2982	-19 + 7	3046	-19 + 25
2599	-13 + 59	2663	-13 + 37	2727	-19 + 59	2791	-19 + 37	2855	-13 + 5	2919	-13 + 27	2983	-19 + 5	3047	-19 + 27
2600	-9 + 63	2664	-9 + 33	2728	-23 + 63	2792	-23 + 33	2856	-9 + 1	2920	-9 + 31	2984	-23 + 1	3048	-23 + 31
2601	-9 + 61	2665	-9 + 35	2729	-23 + 61	2793	-23 + 35	2857	-9 + 3	2921	-9 + 29	2985	-23 + 3	3049	-23 + 29
2602	-11 + 63	2666	-11 + 33	2730	-21 + 63	2794	-21 + 33	2858	-11 + 1	2922	-11 + 31	2986	-21 + 1	3050	-21 + 31
2603	-11 + 61	2667	-11 + 35	2731	-21 + 61	2795	-21 + 35	2859	-11 + 3	2923	-11 + 29	2987	-21 + 3	3051	-21 + 29
2604	-9 + 57	2668	-9 + 39	2732	-23 + 57	2796	-23 + 39	2860	-9 + 7	2924	-9 + 25	2988	-23 + 7	3052	-23 + 25
2605	-9 + 59	2669	-9 + 37	2733	-23 + 59	2797	-23 + 37	2861	-9 + 5	2925	-9 + 27	2989	-23 + 5	3053	-23 + 27
2606	-11 + 57	2670	-11 + 39	2734	-21 + 57	2798	-21 + 39	2862	-11 + 7	2926	-11 + 25	2990	-21 + 7	3054	-21 + 25
2607	-11 + 59	2671	-11 + 37	2735	-21 + 59	2799	-21 + 37	2863	-11 + 5	2927	-11 + 27	2991	-21 + 5	3055	-21 + 27
2608	-15 + 49	2672	-15 + 47	2736	-17 + 49	2800	-17 + 47	2864	-15 + 15	2928	-15 + 17	2992	-17 + 15	3056	-17 + 17
2609	-15 + 51	2673	-15 + 45	2737	-17 + 51	2801	-17 + 45	2865	-15 + 13	2929	-15 + 19	2993	-17 + 13	3057	-17 + 19
2610	-13 + 49	2674	-13 + 47	2738	-19 + 49	2802	-19 + 47	2866	-13 + 15	2930	-13 + 17	2994	-19 + 15	3058	-19 + 17
2611	-13 + 51	2675	-13 + 45	2739	-19 + 51	2803	-19 + 45	2867	-13 + 13	2931	-13 + 19	2995	-19 + 13	3059	-19 + 19
2612	-15 + 55	2676	-15 + 41	2740	-17 + 55	2804	-17 + 41	2868	-15 + 9	2932	-15 + 23	2996	-17 + 9	3060	-17 + 23
2613	-15 + 53	2677	-15 + 43	2741	-17 + 53	2805	-17 + 43	2869	-15 + 11	2933	-15 + 21	2997	-17 + 11	3061	-17 + 21
2614	-13 + 55	2678	-13 + 41	2742	-19 + 55	2806	-19 + 41	2870	-13 + 9	2934	-13 + 23	2998	-19 + 9	3062	-19 + 23
2615	-13 + 53	2679	-13 + 43	2743	-19 + 53	2807	-19 + 43	2871	-13 + 11	2935	-13 + 21	2999	-19 + 11	3063	-19 + 21
2616	-9 + 49	2680	-9 + 47	2744	-23 + 49	2808	-23 + 47	2872	-9 + 15	2936	-9 + 17	3000	-23 + 15	3064	-23 + 17
2617	-9 + 51	2681	-9 + 45	2745	-23 + 51	2809	-23 + 45	2873	-9 + 13	2937	-9 + 19	3001	-23 + 13	3065	-23 + 19
2618	-11 + 49	2682	-11 + 47	2746	-21 + 49	2810	-21 + 47	2874	-11 + 15	2938	-11 + 17	3002	-21 + 15	3066	-21 + 17
2619	-11 + 51	2683	-11 + 45	2747	-21 + 51	2811	-21 + 45	2875	-11 + 13	2939	-11 + 19	3003	-21 + 13	3067	-21 + 19
2620	-9 + 55	2684	-9 + 41	2748	-23 + 55	2812	-23 + 41	2876	-9 + 9	2940	-9 + 23	3004	-23 + 9	3068	-23 + 23
2621	-9 + 53	2685	-9 + 43	2749	-23 + 53	2813	-23 + 43	2877	-9 + 11	2941	-9 + 21	3005	-23 + 11	3069	-23 + 21
2622	-11 + 55	2686	-11 + 41	2750	-21 + 55	2814	-21 + 41	2878	-11 + 9	2942	-11 + 23	3006	-21 + 9	3070	-21 + 23
2623	-11 + 53	2687	-11 + 43	2751	-21 + 53	2815	-21 + 43	2879	-11 + 11	2943	-11 + 21	3007	-21 + 11	3071	-21 + 21

Fig. 28

Valor	Dispersión																		
3072	-65 - 1	3136	-63 - 33	3200	-33 - 63	3264	-33 - 33	3328	-63 - 1	3392	-63 - 31	3456	-33 - 1	3520	-33 - 31				
3073	-65 - 3	3137	-65 - 29	3201	-33 - 61	3265	-33 - 35	3329	-63 - 3	3393	-63 - 29	3457	-33 - 3	3521	-33 - 29				
3074	-3 - 65	3138	-61 - 33	3202	-29 - 65	3266	-35 - 33	3330	-61 - 1	3394	-61 - 31	3458	-35 - 1	3522	-35 - 31				
3075	-67 - 3	3139	-61 - 35	3203	-35 - 61	3267	-35 - 35	3331	-61 - 3	3395	-61 - 29	3459	-35 - 3	3523	-35 - 29				
3076	-65 - 7	3140	-65 - 25	3204	-33 - 57	3268	-33 - 39	3332	-63 - 7	3396	-63 - 25	3460	-33 - 7	3524	-33 - 25				
3077	-65 - 5	3141	-65 - 27	3205	-33 - 59	3269	-33 - 37	3333	-63 - 5	3397	-63 - 27	3461	-33 - 5	3525	-33 - 27				
3078	-67 - 7	3142	-67 - 25	3206	-35 - 57	3270	-35 - 39	3334	-61 - 7	3398	-61 - 25	3462	-35 - 7	3526	-35 - 25				
3079	-67 - 5	3143	-61 - 37	3207	-35 - 59	3271	-35 - 37	3335	-61 - 5	3399	-61 - 27	3463	-35 - 5	3527	-35 - 27				
3080	-7 - 65	3144	-57 - 33	3208	-25 - 65	3272	-39 - 33	3336	-57 - 1	3400	-57 - 31	3464	-39 - 1	3528	-39 - 31				
3081	-7 - 67	3145	-57 - 35	3209	-25 - 67	3273	-39 - 35	3337	-57 - 3	3401	-57 - 29	3465	-39 - 3	3529	-39 - 29				
3082	-5 - 65	3146	-59 - 33	3210	-27 - 65	3274	-37 - 33	3338	-59 - 1	3402	-59 - 31	3466	-37 - 1	3530	-37 - 31				
3083	-5 - 67	3147	-59 - 35	3211	-37 - 61	3275	-37 - 35	3339	-59 - 3	3403	-59 - 29	3467	-37 - 3	3531	-37 - 29				
3084	-71 - 7	3148	-57 - 39	3212	-39 - 57	3276	-39 - 39	3340	-57 - 7	3404	-57 - 25	3468	-39 - 7	3532	-39 - 25				
3085	-7 - 69	3149	-57 - 37	3213	-39 - 59	3277	-39 - 37	3341	-57 - 5	3405	-57 - 27	3469	-39 - 5	3533	-39 - 27				
3086	-69 - 7	3150	-59 - 39	3214	-37 - 57	3278	-37 - 39	3342	-59 - 7	3406	-59 - 25	3470	-37 - 7	3534	-37 - 25				
3087	-69 - 5	3151	-59 - 37	3215	-37 - 59	3279	-37 - 37	3343	-59 - 5	3407	-59 - 27	3471	-37 - 5	3535	-37 - 27				
3088	-65 - 15	3152	-65 - 17	3216	-33 - 49	3280	-33 - 47	3344	-63 - 15	3408	-63 - 17	3472	-33 - 15	3536	-33 - 17				
3089	-65 - 13	3153	-65 - 19	3217	-33 - 51	3281	-33 - 45	3345	-63 - 13	3409	-63 - 19	3473	-33 - 13	3537	-33 - 19				
3090	-67 - 15	3154	-67 - 17	3218	-35 - 49	3282	-35 - 47	3346	-61 - 15	3410	-61 - 17	3474	-35 - 15	3538	-35 - 17				
3091	-67 - 13	3155	-67 - 19	3219	-35 - 51	3283	-35 - 45	3347	-61 - 13	3411	-61 - 19	3475	-35 - 13	3539	-35 - 19				
3092	-65 - 9	3156	-65 - 23	3220	-33 - 55	3284	-33 - 41	3348	-63 - 9	3412	-63 - 23	3476	-33 - 9	3540	-33 - 23				
3093	-65 - 11	3157	-65 - 21	3221	-33 - 53	3285	-33 - 43	3349	-63 - 11	3413	-63 - 21	3477	-33 - 11	3541	-33 - 21				
3094	-67 - 9	3158	-67 - 23	3222	-35 - 55	3286	-35 - 41	3350	-61 - 9	3414	-61 - 23	3478	-35 - 9	3542	-35 - 23				
3095	-67 - 11	3159	-67 - 21	3223	-35 - 53	3287	-35 - 43	3351	-61 - 11	3415	-61 - 21	3479	-35 - 11	3543	-35 - 21				
3096	-71 - 15	3160	-71 - 17	3224	-39 - 49	3288	-39 - 47	3352	-57 - 15	3416	-57 - 17	3480	-39 - 15	3544	-39 - 17				
3097	-71 - 13	3161	-57 - 45	3225	-39 - 51	3289	-39 - 45	3353	-57 - 13	3417	-57 - 19	3481	-39 - 13	3545	-39 - 19				
3098	-69 - 15	3162	-69 - 17	3226	-37 - 49	3290	-37 - 47	3354	-59 - 15	3418	-59 - 17	3482	-37 - 15	3546	-37 - 17				
3099	-69 - 13	3163	-69 - 19	3227	-37 - 51	3291	-37 - 45	3355	-59 - 13	3419	-59 - 19	3483	-37 - 13	3547	-37 - 19				
3100	-71 - 9	3164	-57 - 41	3228	-39 - 55	3292	-39 - 41	3356	-57 - 9	3420	-57 - 23	3484	-39 - 9	3548	-39 - 23				

Fig. 29

3101	-71 - 11i	3165	-57 - 43i	3229	-39 - 53i	3293	-39 - 43i	3357	-57 - 11i	3421	-57 - 21i	3485	-39 - 11i	3549	-39 - 21i
3102	-69 - 9i	3166	-59 - 41i	3230	-37 - 55i	3294	-37 - 41i	3358	-59 - 9i	3422	-59 - 23i	3486	-37 - 9i	3550	-37 - 23i
3103	-69 - 11i	3167	-69 - 21i	3231	-37 - 53i	3295	-37 - 43i	3359	-59 - 11i	3423	-59 - 21i	3487	-37 - 11i	3551	-37 - 21i
3104	-15 - 65i	3168	-49 - 33i	3232	-17 - 65i	3296	-47 - 33i	3360	-49 - 1i	3424	-49 - 31i	3488	-47 - 1i	3552	-47 - 31i
3105	-15 - 67i	3169	-49 - 35i	3233	-17 - 67i	3297	-47 - 35i	3361	-49 - 3i	3425	-49 - 29i	3489	-47 - 3i	3553	-47 - 29i
3106	-13 - 65i	3170	-51 - 33i	3234	-19 - 65i	3298	-45 - 33i	3362	-51 - 1i	3426	-51 - 31i	3490	-45 - 1i	3554	-45 - 31i
3107	-13 - 67i	3171	-51 - 35i	3235	-19 - 67i	3299	-45 - 35i	3363	-51 - 3i	3427	-51 - 29i	3491	-45 - 3i	3555	-45 - 29i
3108	-15 - 71i	3172	-49 - 39i	3236	-17 - 71i	3300	-47 - 39i	3364	-49 - 7i	3428	-49 - 25i	3492	-47 - 7i	3556	-47 - 25i
3109	-15 - 69i	3173	-49 - 37i	3237	-17 - 69i	3301	-47 - 37i	3365	-49 - 5i	3429	-49 - 27i	3493	-47 - 5i	3557	-47 - 27i
3110	-13 - 71i	3174	-51 - 39i	3238	-45 - 57i	3302	-45 - 39i	3366	-51 - 7i	3430	-51 - 25i	3494	-45 - 7i	3558	-45 - 25i
3111	-13 - 69i	3175	-51 - 37i	3239	-19 - 69i	3303	-45 - 37i	3367	-51 - 5i	3431	-51 - 27i	3495	-45 - 5i	3559	-45 - 27i
3112	-9 - 65i	3176	-55 - 33i	3240	-23 - 65i	3304	-41 - 33i	3368	-55 - 1i	3432	-55 - 31i	3496	-41 - 1i	3560	-41 - 31i
3113	-9 - 67i	3177	-55 - 35i	3241	-23 - 67i	3305	-41 - 35i	3369	-55 - 3i	3433	-55 - 29i	3497	-41 - 3i	3561	-41 - 29i
3114	-11 - 65i	3178	-53 - 33i	3242	-21 - 65i	3306	-43 - 33i	3370	-53 - 1i	3434	-53 - 31i	3498	-43 - 1i	3562	-43 - 31i
3115	-11 - 67i	3179	-53 - 35i	3243	-21 - 67i	3307	-43 - 35i	3371	-53 - 3i	3435	-53 - 29i	3499	-43 - 3i	3563	-43 - 29i
3116	-9 - 71i	3180	-55 - 39i	3244	-41 - 57i	3308	-41 - 39i	3372	-55 - 7i	3436	-55 - 25i	3500	-41 - 7i	3564	-41 - 25i
3117	-9 - 69i	3181	-55 - 37i	3245	-41 - 59i	3309	-41 - 37i	3373	-55 - 5i	3437	-55 - 27i	3501	-41 - 5i	3565	-41 - 27i
3118	-11 - 71i	3182	-53 - 39i	3246	-43 - 57i	3310	-43 - 39i	3374	-53 - 7i	3438	-53 - 25i	3502	-43 - 7i	3566	-43 - 25i
3119	-11 - 69i	3183	-53 - 37i	3247	-21 - 69i	3311	-43 - 37i	3375	-53 - 5i	3439	-53 - 27i	3503	-43 - 5i	3567	-43 - 27i
3120	-49 - 49i	3184	-49 - 47i	3248	-47 - 49i	3312	-47 - 47i	3376	-49 - 15i	3440	-49 - 17i	3504	-47 - 15i	3568	-47 - 17i
3121	-49 - 51i	3185	-49 - 45i	3249	-47 - 51i	3313	-47 - 45i	3377	-49 - 13i	3441	-49 - 19i	3505	-47 - 13i	3569	-47 - 19i
3122	-51 - 49i	3186	-51 - 47i	3250	-45 - 49i	3314	-45 - 47i	3378	-51 - 15i	3442	-51 - 17i	3506	-45 - 15i	3570	-45 - 17i
3123	-51 - 51i	3187	-51 - 45i	3251	-45 - 51i	3315	-45 - 45i	3379	-51 - 13i	3443	-51 - 19i	3507	-45 - 13i	3571	-45 - 19i
3124	-49 - 55i	3188	-49 - 41i	3252	-47 - 55i	3316	-47 - 41i	3380	-49 - 9i	3444	-49 - 23i	3508	-47 - 9i	3572	-47 - 23i
3125	-49 - 53i	3189	-49 - 43i	3253	-47 - 53i	3317	-47 - 43i	3381	-49 - 11i	3445	-49 - 21i	3509	-47 - 11i	3573	-47 - 21i
3126	-13 - 73i	3190	-51 - 41i	3254	-45 - 55i	3318	-45 - 41i	3382	-51 - 9i	3446	-51 - 23i	3510	-45 - 9i	3574	-45 - 23i
3127	-51 - 53i	3191	-51 - 43i	3255	-45 - 53i	3319	-45 - 43i	3383	-51 - 11i	3447	-51 - 21i	3511	-45 - 11i	3575	-45 - 21i
3128	-55 - 49i	3192	-55 - 47i	3256	-41 - 49i	3320	-41 - 47i	3384	-55 - 15i	3448	-55 - 17i	3512	-41 - 15i	3576	-41 - 17i
3129	-73 - 13i	3193	-55 - 45i	3257	-41 - 51i	3321	-41 - 45i	3385	-55 - 13i	3449	-55 - 19i	3513	-41 - 13i	3577	-41 - 19i
3130	-53 - 49i	3194	-53 - 47i	3258	-43 - 49i	3322	-43 - 47i	3386	-53 - 15i	3450	-53 - 17i	3514	-43 - 15i	3578	-43 - 17i
3131	-53 - 51i	3195	-53 - 45i	3259	-43 - 51i	3323	-43 - 45i	3387	-53 - 13i	3451	-53 - 19i	3515	-43 - 13i	3579	-43 - 19i
3132	-73 - 9i	3196	-55 - 41i	3260	-41 - 55i	3324	-41 - 41i	3388	-55 - 9i	3452	-55 - 23i	3516	-41 - 9i	3580	-41 - 23i
3133	-73 - 11i	3197	-55 - 43i	3261	-41 - 53i	3325	-41 - 43i	3389	-55 - 11i	3453	-55 - 21i	3517	-41 - 11i	3581	-41 - 21i
3134	-11 - 73i	3198	-53 - 41i	3262	-43 - 55i	3326	-43 - 41i	3390	-53 - 9i	3454	-53 - 23i	3518	-43 - 9i	3582	-43 - 23i
3135	-53 - 53i	3199	-53 - 43i	3263	-43 - 53i	3327	-43 - 43i	3391	-53 - 11i	3455	-53 - 21i	3519	-43 - 11i	3583	-43 - 21i

Fig. 30

Valor	Dispersión																		
3584	-1 - 63	3648	-1 - 33	3712	-31 - 63	3776	-31 - 33	3840	-1 - 11	3904	-1 - 31	3968	-31 - 11	4032	-31 - 31				
3585	-1 - 61	3649	-1 - 35	3713	-31 - 61	3777	-31 - 35	3841	-1 - 3	3905	-1 - 29	3969	-31 - 3	4033	-31 - 29				
3586	-3 - 63	3650	-3 - 33	3714	-29 - 63	3778	-29 - 33	3842	-3 - 1	3906	-3 - 31	3970	-29 - 1	4034	-29 - 31				
3587	-3 - 61	3651	-3 - 35	3715	-29 - 61	3779	-29 - 35	3843	-3 - 3	3907	-3 - 29	3971	-29 - 3	4035	-29 - 29				
3588	-1 - 57	3652	-1 - 39	3716	-31 - 57	3780	-31 - 39	3844	-1 - 7	3908	-1 - 25	3972	-31 - 7	4036	-31 - 25				
3589	-1 - 59	3653	-1 - 37	3717	-31 - 59	3781	-31 - 37	3845	-1 - 5	3909	-1 - 27	3973	-31 - 5	4037	-31 - 27				
3590	-3 - 57	3654	-3 - 39	3718	-29 - 57	3782	-29 - 39	3846	-3 - 7	3910	-3 - 25	3974	-29 - 7	4038	-29 - 25				
3591	-3 - 59	3655	-3 - 37	3719	-29 - 59	3783	-29 - 37	3847	-3 - 5	3911	-3 - 27	3975	-29 - 5	4039	-29 - 27				
3592	-7 - 63	3656	-7 - 33	3720	-25 - 63	3784	-25 - 33	3848	-7 - 1	3912	-7 - 31	3976	-25 - 1	4040	-25 - 31				
3593	-7 - 61	3657	-7 - 35	3721	-25 - 61	3785	-25 - 35	3849	-7 - 3	3913	-7 - 29	3977	-25 - 3	4041	-25 - 29				
3594	-5 - 63	3658	-5 - 33	3722	-27 - 63	3786	-27 - 33	3850	-5 - 1	3914	-5 - 31	3978	-27 - 1	4042	-27 - 31				
3595	-5 - 61	3659	-5 - 35	3723	-27 - 61	3787	-27 - 35	3851	-5 - 3	3915	-5 - 29	3979	-27 - 3	4043	-27 - 29				
3596	-7 - 57	3660	-7 - 39	3724	-25 - 57	3788	-25 - 39	3852	-7 - 7	3916	-7 - 25	3980	-25 - 7	4044	-25 - 25				
3597	-7 - 59	3661	-7 - 37	3725	-25 - 59	3789	-25 - 37	3853	-7 - 5	3917	-7 - 27	3981	-25 - 5	4045	-25 - 27				
3598	-5 - 57	3662	-5 - 39	3726	-27 - 57	3790	-27 - 39	3854	-5 - 7	3918	-5 - 25	3982	-27 - 7	4046	-27 - 25				
3599	-5 - 59	3663	-5 - 37	3727	-27 - 59	3791	-27 - 37	3855	-5 - 5	3919	-5 - 27	3983	-27 - 5	4047	-27 - 27				
3600	-1 - 49	3664	-1 - 47	3728	-31 - 49	3792	-31 - 47	3856	-1 - 15	3920	-1 - 17	3984	-31 - 15	4048	-31 - 17				
3601	-1 - 51	3665	-1 - 45	3729	-31 - 51	3793	-31 - 45	3857	-1 - 13	3921	-1 - 19	3985	-31 - 13	4049	-31 - 19				
3602	-3 - 49	3666	-3 - 47	3730	-29 - 49	3794	-29 - 47	3858	-3 - 15	3922	-3 - 17	3986	-29 - 15	4050	-29 - 17				
3603	-3 - 51	3667	-3 - 45	3731	-29 - 51	3795	-29 - 45	3859	-3 - 13	3923	-3 - 19	3987	-29 - 13	4051	-29 - 19				
3604	-1 - 55	3668	-1 - 41	3732	-31 - 55	3796	-31 - 41	3860	-1 - 9	3924	-1 - 23	3988	-31 - 9	4052	-31 - 23				
3605	-1 - 53	3669	-1 - 43	3733	-31 - 53	3797	-31 - 43	3861	-1 - 11	3925	-1 - 21	3989	-31 - 11	4053	-31 - 21				
3606	-3 - 55	3670	-3 - 41	3734	-29 - 55	3798	-29 - 41	3862	-3 - 9	3926	-3 - 23	3990	-29 - 9	4054	-29 - 23				
3607	-3 - 53	3671	-3 - 43	3735	-29 - 53	3799	-29 - 43	3863	-3 - 11	3927	-3 - 21	3991	-29 - 11	4055	-29 - 21				
3608	-7 - 49	3672	-7 - 47	3736	-25 - 49	3800	-25 - 47	3864	-7 - 15	3928	-7 - 17	3992	-25 - 15	4056	-25 - 17				
3609	-7 - 51	3673	-7 - 45	3737	-25 - 51	3801	-25 - 45	3865	-7 - 13	3929	-7 - 19	3993	-25 - 13	4057	-25 - 19				
3610	-5 - 49	3674	-5 - 47	3738	-27 - 49	3802	-27 - 47	3866	-5 - 15	3930	-5 - 17	3994	-27 - 15	4058	-27 - 17				
3611	-5 - 51	3675	-5 - 45	3739	-27 - 51	3803	-27 - 45	3867	-5 - 13	3931	-5 - 19	3995	-27 - 13	4059	-27 - 19				
3612	-7 - 55	3676	-7 - 41	3740	-25 - 55	3804	-25 - 41	3868	-7 - 9	3932	-7 - 23	3996	-25 - 9	4060	-25 - 23				
3613	-7 - 53	3677	-7 - 43	3741	-25 - 53	3805	-25 - 43	3869	-7 - 11	3933	-7 - 21	3997	-25 - 11	4061	-25 - 21				
3614	-5 - 55	3678	-5 - 41	3742	-27 - 55	3806	-27 - 41	3870	-5 - 9	3934	-5 - 23	3998	-27 - 9	4062	-27 - 23				
3615	-5 - 53	3679	-5 - 43	3743	-27 - 53	3807	-27 - 43	3871	-5 - 11	3935	-5 - 21	3999	-27 - 11	4063	-27 - 21				

Fig. 31

3616	-15 - 63	3680	-15 - 33	3744	-17 - 63	3608	-17 - 33	3872	-15 - 11	3936	-15 - 31	4000	-17 - 11	4064	-17 - 31
3617	-15 - 61	3681	-15 - 35	3745	-17 - 61	3609	-17 - 35	3873	-15 - 3	3937	-15 - 29	4001	-17 - 3	4065	-17 - 29
3618	-13 - 63	3682	-13 - 33	3746	-19 - 63	3610	-19 - 33	3874	-13 - 1	3938	-13 - 31	4002	-19 - 1	4066	-19 - 31
3619	-13 - 61	3683	-13 - 35	3747	-19 - 61	3611	-19 - 35	3875	-13 - 3	3939	-13 - 29	4003	-19 - 3	4067	-19 - 29
3620	-15 - 57	3684	-15 - 39	3748	-17 - 57	3612	-17 - 39	3876	-15 - 7	3940	-15 - 25	4004	-17 - 7	4068	-17 - 25
3621	-15 - 59	3685	-15 - 37	3749	-17 - 59	3613	-17 - 37	3877	-15 - 5	3941	-15 - 27	4005	-17 - 5	4069	-17 - 27
3622	-13 - 57	3686	-13 - 39	3750	-19 - 57	3614	-19 - 39	3878	-13 - 7	3942	-13 - 25	4006	-19 - 7	4070	-19 - 25
3623	-13 - 59	3687	-13 - 37	3751	-19 - 59	3615	-19 - 37	3879	-13 - 5	3943	-13 - 27	4007	-19 - 5	4071	-19 - 27
3624	-9 - 63	3688	-9 - 33	3752	-23 - 63	3616	-23 - 33	3880	-9 - 1	3944	-9 - 31	4008	-23 - 1	4072	-23 - 31
3625	-9 - 61	3689	-9 - 35	3753	-23 - 61	3617	-23 - 35	3881	-9 - 3	3945	-9 - 29	4009	-23 - 3	4073	-23 - 29
3626	-11 - 63	3690	-11 - 33	3754	-21 - 63	3618	-21 - 33	3882	-11 - 1	3946	-11 - 31	4010	-21 - 1	4074	-21 - 31
3627	-11 - 61	3691	-11 - 35	3755	-21 - 61	3619	-21 - 35	3883	-11 - 3	3947	-11 - 29	4011	-21 - 3	4075	-21 - 29
3628	-9 - 57	3692	-9 - 39	3756	-23 - 57	3620	-23 - 39	3884	-9 - 7	3948	-9 - 25	4012	-23 - 7	4076	-23 - 25
3629	-9 - 59	3693	-9 - 37	3757	-23 - 59	3621	-23 - 37	3885	-9 - 5	3949	-9 - 27	4013	-23 - 5	4077	-23 - 27
3630	-11 - 57	3694	-11 - 39	3758	-21 - 57	3622	-21 - 39	3886	-11 - 7	3950	-11 - 25	4014	-21 - 7	4078	-21 - 25
3631	-11 - 59	3695	-11 - 37	3759	-21 - 59	3623	-21 - 37	3887	-11 - 5	3951	-11 - 27	4015	-21 - 5	4079	-21 - 27
3632	-15 - 49	3696	-15 - 47	3760	-17 - 49	3624	-17 - 47	3888	-15 - 15	3952	-15 - 17	4016	-17 - 15	4080	-17 - 17
3633	-15 - 51	3697	-15 - 45	3761	-17 - 51	3625	-17 - 45	3889	-15 - 13	3953	-15 - 19	4017	-17 - 13	4081	-17 - 19
3634	-13 - 49	3698	-13 - 47	3762	-19 - 49	3626	-19 - 47	3890	-13 - 15	3954	-13 - 17	4018	-19 - 15	4082	-19 - 17
3635	-13 - 51	3699	-13 - 45	3763	-19 - 51	3627	-19 - 45	3891	-13 - 13	3955	-13 - 19	4019	-19 - 13	4083	-19 - 19
3636	-15 - 55	3700	-15 - 41	3764	-17 - 55	3628	-17 - 41	3892	-15 - 9	3956	-15 - 23	4020	-17 - 9	4084	-17 - 23
3637	-15 - 53	3701	-15 - 43	3765	-17 - 53	3629	-17 - 43	3893	-15 - 11	3957	-15 - 21	4021	-17 - 11	4085	-17 - 21
3638	-13 - 55	3702	-13 - 41	3766	-19 - 55	3630	-19 - 41	3894	-13 - 9	3958	-13 - 23	4022	-19 - 9	4086	-19 - 23
3639	-13 - 53	3703	-13 - 43	3767	-19 - 53	3631	-19 - 43	3895	-13 - 11	3959	-13 - 21	4023	-19 - 11	4087	-19 - 21
3640	-9 - 49	3704	-9 - 47	3768	-23 - 49	3632	-23 - 47	3896	-9 - 15	3960	-9 - 17	4024	-23 - 15	4088	-23 - 17
3641	-9 - 51	3705	-9 - 45	3769	-23 - 51	3633	-23 - 45	3897	-9 - 13	3961	-9 - 19	4025	-23 - 13	4089	-23 - 19
3642	-11 - 49	3706	-11 - 47	3770	-21 - 49	3634	-21 - 47	3898	-11 - 15	3962	-11 - 17	4026	-21 - 15	4090	-21 - 17
3643	-11 - 51	3707	-11 - 45	3771	-21 - 51	3635	-21 - 45	3899	-11 - 13	3963	-11 - 19	4027	-21 - 13	4091	-21 - 19
3644	-9 - 55	3708	-9 - 41	3772	-23 - 55	3636	-23 - 41	3900	-9 - 9	3964	-9 - 23	4028	-23 - 9	4092	-23 - 23
3645	-9 - 53	3709	-9 - 43	3773	-23 - 53	3637	-23 - 43	3901	-9 - 11	3965	-9 - 21	4029	-23 - 11	4093	-23 - 21
3646	-11 - 55	3710	-11 - 41	3774	-21 - 55	3638	-21 - 41	3902	-11 - 9	3966	-11 - 23	4030	-21 - 9	4094	-21 - 23
3647	-11 - 53	3711	-11 - 43	3775	-21 - 53	3639	-21 - 43	3903	-11 - 11	3967	-11 - 21	4031	-21 - 11	4095	-21 - 21

Fig. 32

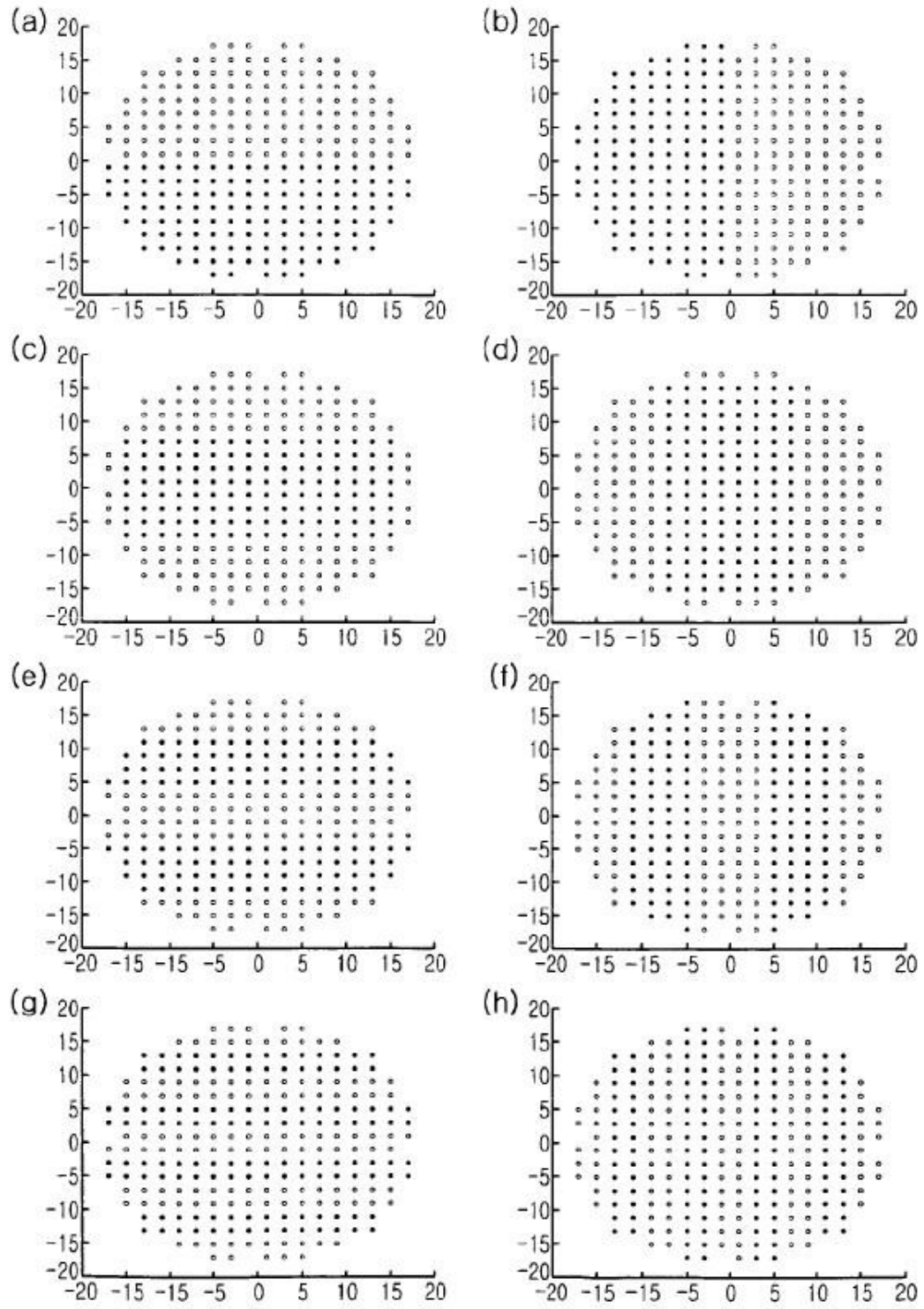


Fig. 33

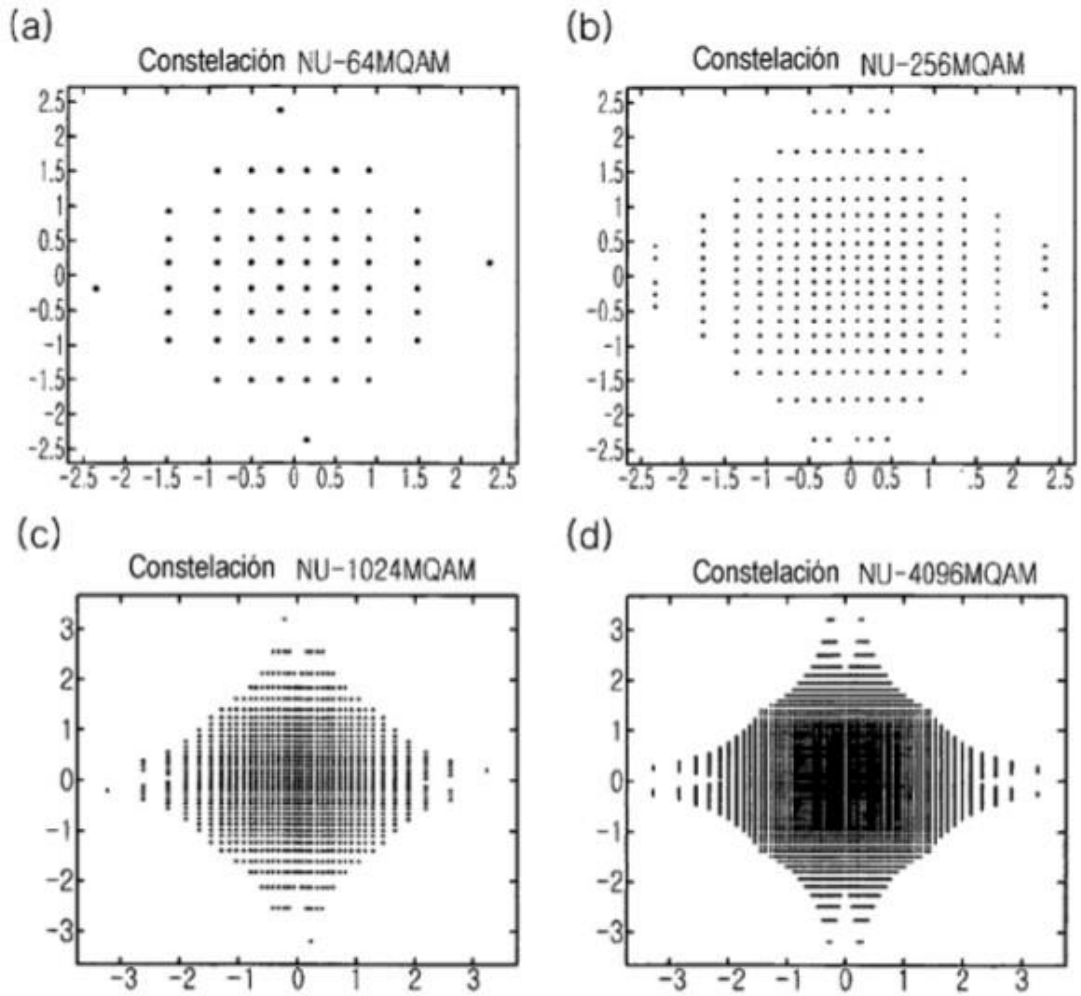


Fig. 34

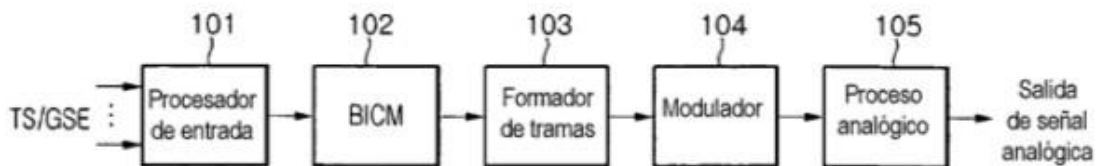


Fig. 35

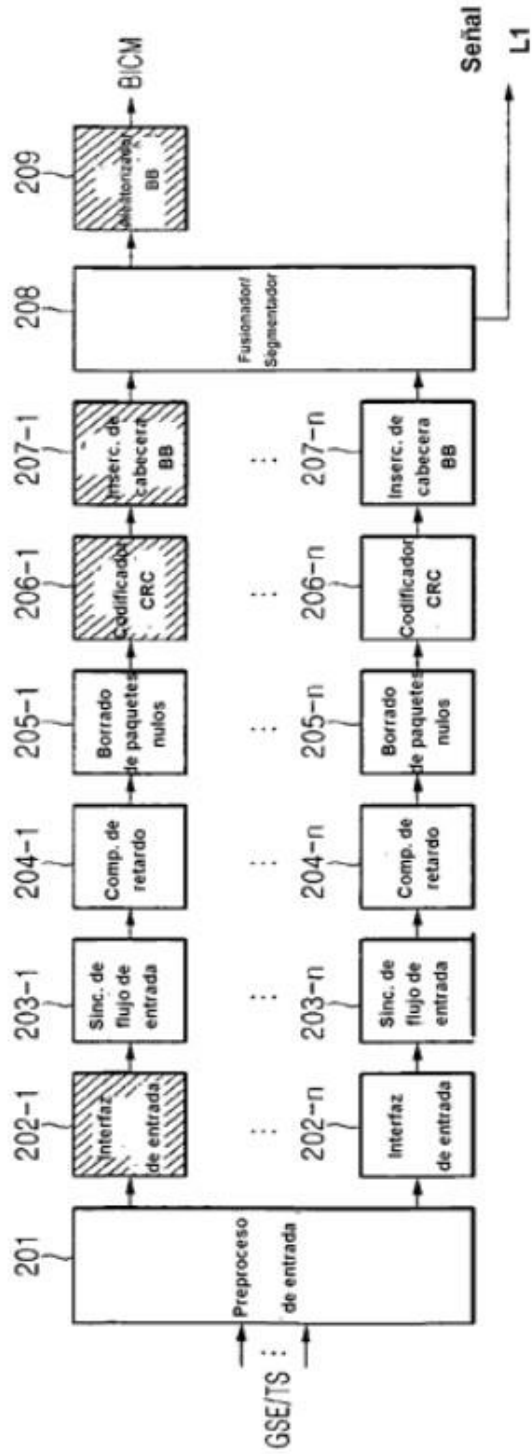


Fig. 36

TS/GS (2 bits)	SIS/MIS (1 bit)	CCM/ACM (1 bit)	ISSYI (1 bit)	NPD (1bit)	EXT (2bits)
00 = GFPS 11 = TS 01 = GCS 10 = GSE	1 = único 0 = múltiple	1 = CCM 0 = ACM	1 = activo 0 = inactivo	1= activo 0 = inactivo	Reservado para uso futuro

Campo	Tamaño (bits)	Descripción
MATYPE	2	Tal como se describió previamente
UPL	2	Longitud de paquete de usuario en bits, en el intervalo [0,65535]
DFL	2	Longitud de campo de datos en bits, en el intervalo [0,53760]
SYNC	1	Una copia del byte de sinc. de paquete de usuario
SYNCD	2	La distancia en bits desde el comienzo del DATA FIELD hasta el primer UP completa del campo de datos. SYNCD=0 <sub>0</sub> significa que el primer UP se alinea al comienzo del campo de datos. SYNCD=65595 <sub>0</sub> significa que UP no empieza en el DATA FIELD
CRC-8 MODE	1	El XOR del campo CRC-8 (1 byte) con el campo MODE (1 byte). CRC-8 es el código de detección de error aplicado a los 9 primeros bytes del BBHEADER. MODE (8 bits) debe ser: <ul style="list-style-type: none"> <li>• 0<sub>0</sub> Modo normal</li> <li>• 1<sub>0</sub> Modo de alta eficiencia</li> <li>• Otros valores: reservado para uso futuro</li> </ul>

Fig. 37

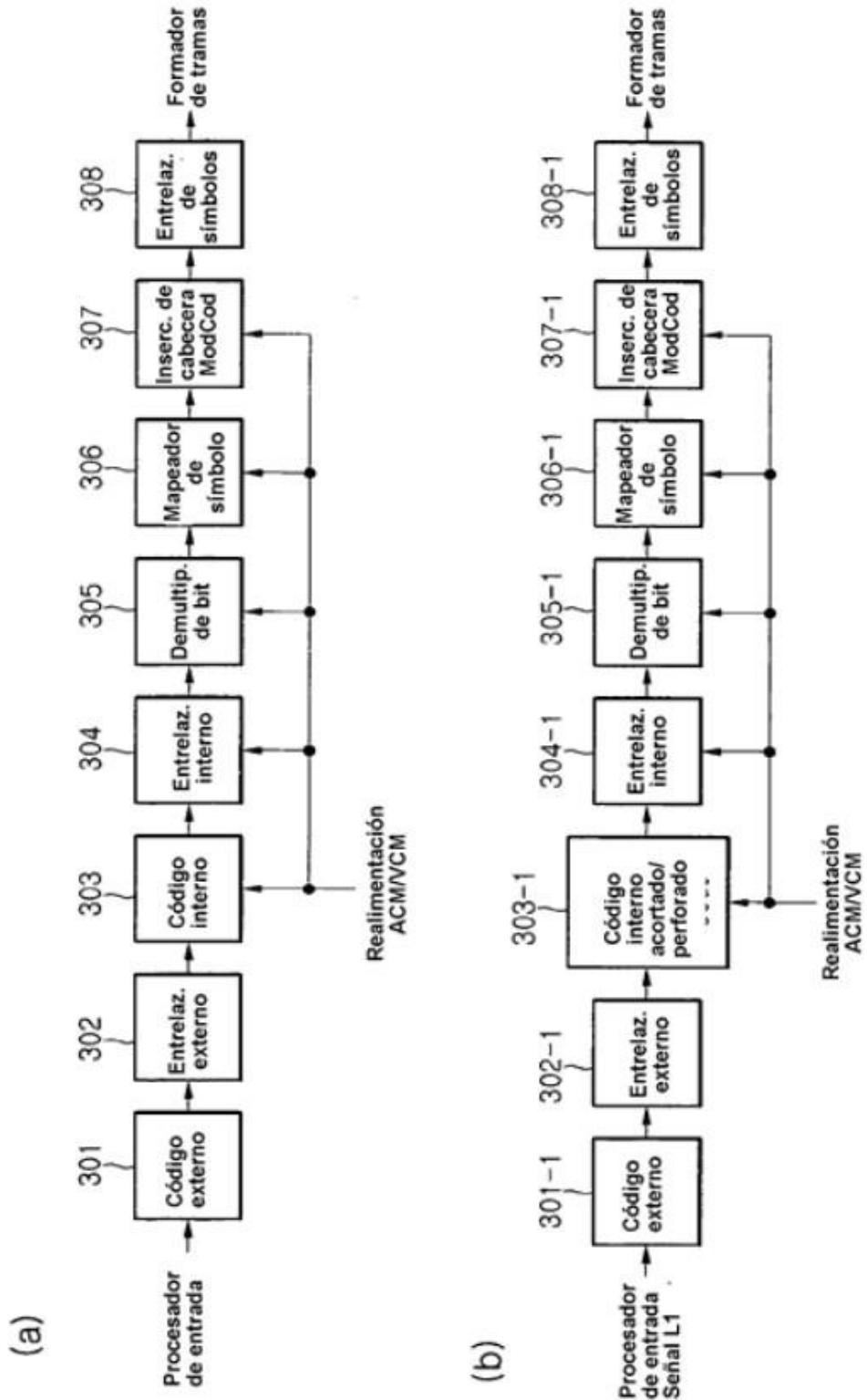


Fig. 38

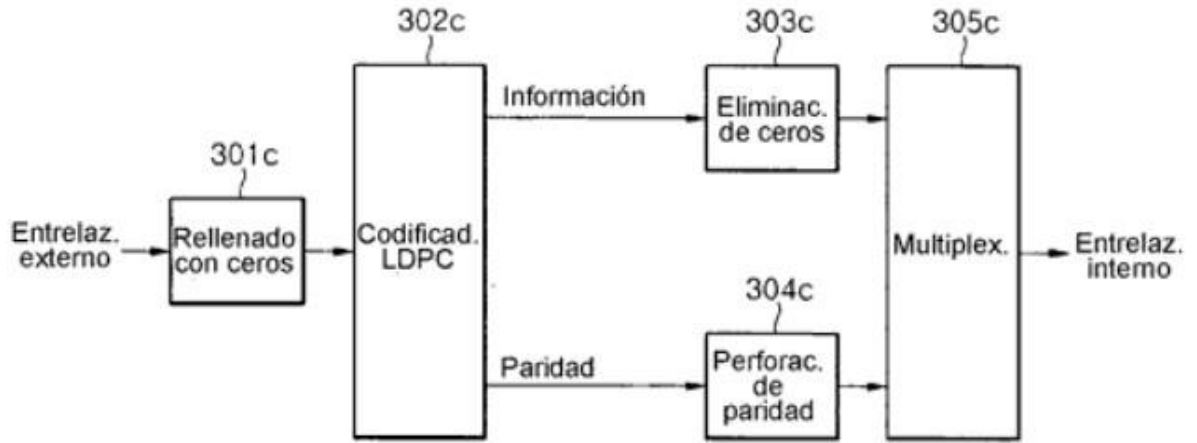


Fig.39

Capacidad (bit/s/Hz)			Caso 1	Caso 2
			Modulación	Modulación
6	1/2	3.0	NU-MQAM	NU-QAM
	2/3	4.0	NU-MQAM	NU-QAM
	3/4	4.5	NU-MQAM	NU-MQAM
	4/5	4.8	MQAM	MQAM
	5/6	5.0	MQAM	MQAM
	8/9	5.3	MQAM	MQAM
	9/10	5.4	MQAM	MQAM
8	1/2	4.0	NU-MQAM	NU-QAM
	2/3	5.3	NU-MQAM	NU-QAM
	3/4	6.0	NU-MQAM	NU-MQAM
	4/5	6.4	NU-MQAM	NU-MQAM
	5/6	6.7	MQAM	MQAM
	8/9	7.1	MQAM	MQAM
	9/10	7.2	MQAM	MQAM
10	1/2	5.0	NU-MQAM	NU-QAM
	2/3	6.7	NU-MQAM	NU-QAM
	3/4	7.5	NU-MQAM	NU-MQAM
	4/5	8.0	NU-MQAM	NU-MQAM
	5/6	8.3	NU-MQAM	NU-MQAM
	8/9	8.9	MQAM	MQAM
	9/10	9.0	MQAM	MQAM
12	1/2	6.0	NU-MQAM	NU-QAM
	2/3	8.0	NU-MQAM	NU-QAM
	3/4	9.0	NU-MQAM	NU-MQAM
	4/5	9.6	NU-MQAM	NU-MQAM
	5/6	10.0	NU-MQAM	NU-MQAM
	8/9	10.7	MQAM	MQAM
	9/10	10.8	MQAM	MQAM

Fig. 40

		Caso 1	Caso 2	Caso 2	
Capacidad (bit/s/Hz)		Modulación	Modulación	Modulación	
2	1/2	3.0	QAM	QAM	QAM
	2/3	4.0	QAM	QAM	QAM
	3/4	4.5	QAM	QAM	QAM
	4/5	4.8	QAM	QAM	QAM
	5/6	5.0	QAM	QAM	QAM
	8/9	5.3	QAM	QAM	QAM
	9/10	5.4	QAM	QAM	QAM
4	1/2	3.0	QAM	QAM	QAM
	2/3	4.0	QAM	QAM	QAM
	3/4	4.5	QAM	QAM	QAM
	4/5	4.8	QAM	QAM	QAM
	5/6	5.0	QAM	QAM	QAM
	8/9	5.3	QAM	QAM	QAM
	9/10	5.4	QAM	QAM	QAM
6	1/2	3.0	QAM	QAM	QAM
	2/3	4.0	QAM	QAM	QAM
	3/4	4.5	QAM	QAM	QAM
	4/5	4.8	QAM	QAM	QAM
	5/6	5.0	QAM	QAM	QAM
	8/9	5.3	QAM	QAM	QAM
	9/10	5.4	QAM	QAM	QAM
8	1/2	4.0	QAM	QAM	QAM
	2/3	5.3	QAM	QAM	QAM
	3/4	6.0	QAM	QAM	QAM
	4/5	6.4	QAM	QAM	QAM
	5/6	6.7	QAM	QAM	QAM
	8/9	7.1	QAM	QAM	QAM
	9/10	7.2	QAM	QAM	QAM
10	1/2	5.0	NU-MQAM	NU-QAM	MQAM
	2/3	6.7	NU-MQAM	NU-QAM	MQAM
	3/4	7.5	NU-MQAM	NU-MQAM	MQAM
	4/5	8.0	NU-MQAM	NU-MQAM	MQAM
	5/6	8.3	NU-MQAM	NU-MQAM	MQAM
	8/9	8.9	MQAM	MQAM	MQAM
	9/10	9.0	MQAM	MQAM	MQAM
12	1/2	6.0	NU-MQAM	NU-QAM	MQAM
	2/3	8.0	NU-MQAM	NU-QAM	MQAM
	3/4	9.0	NU-MQAM	NU-MQAM	MQAM
	4/5	9.6	NU-MQAM	NU-MQAM	MQAM
	5/6	10.0	NU-MQAM	NU-MQAM	MQAM
	8/9	10.7	MQAM	MQAM	MQAM
	9/10	10.8	MQAM	MQAM	MQAM

Fig.41

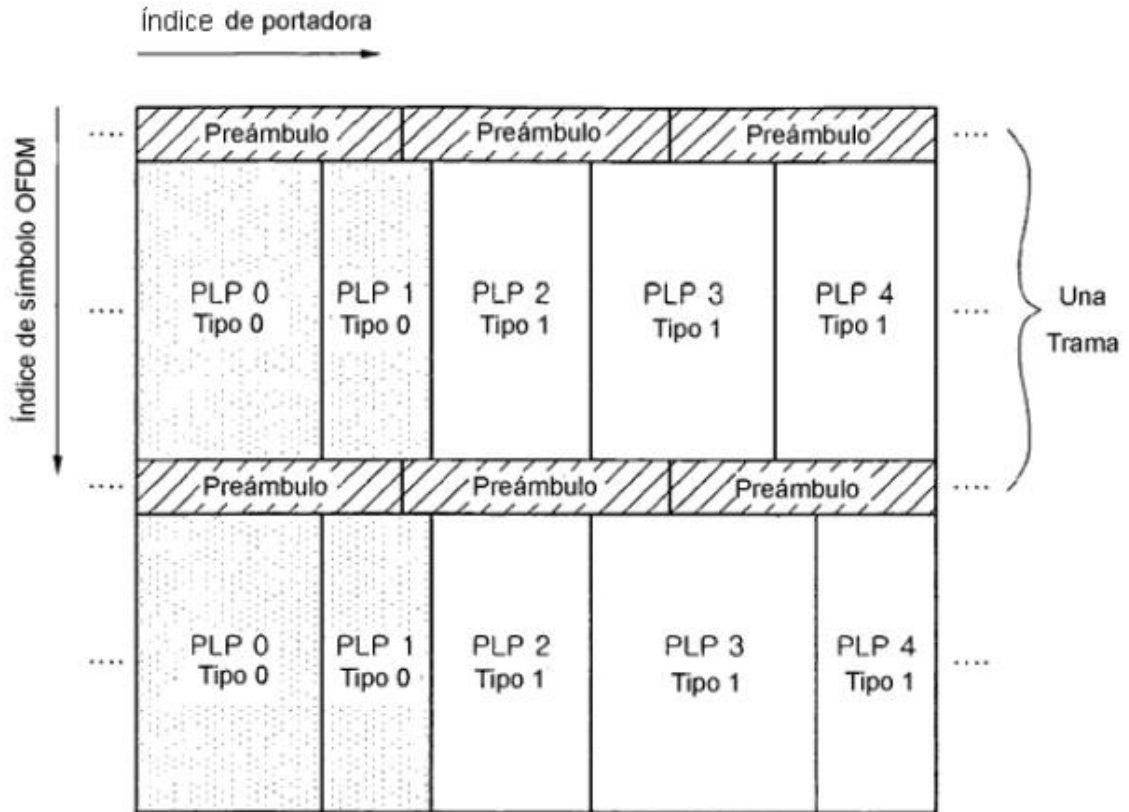


Fig. 42

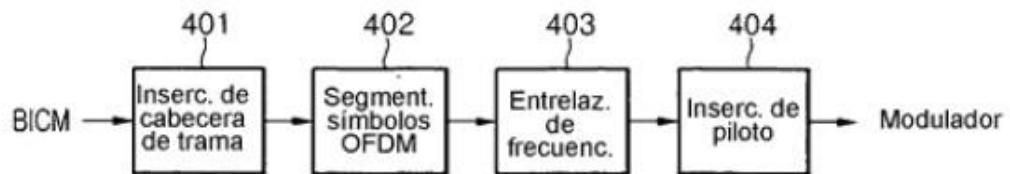


Fig. 43

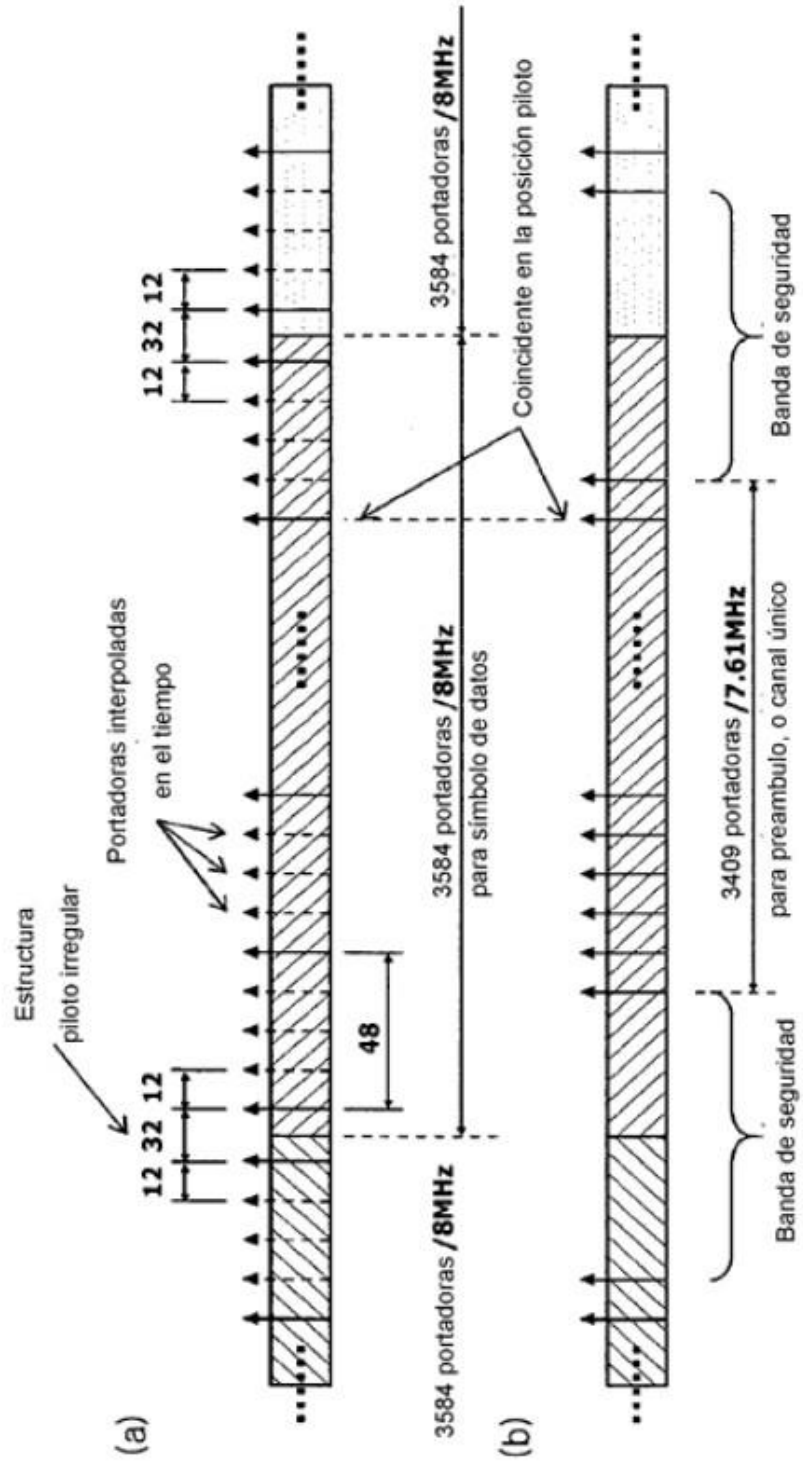


Fig. 44

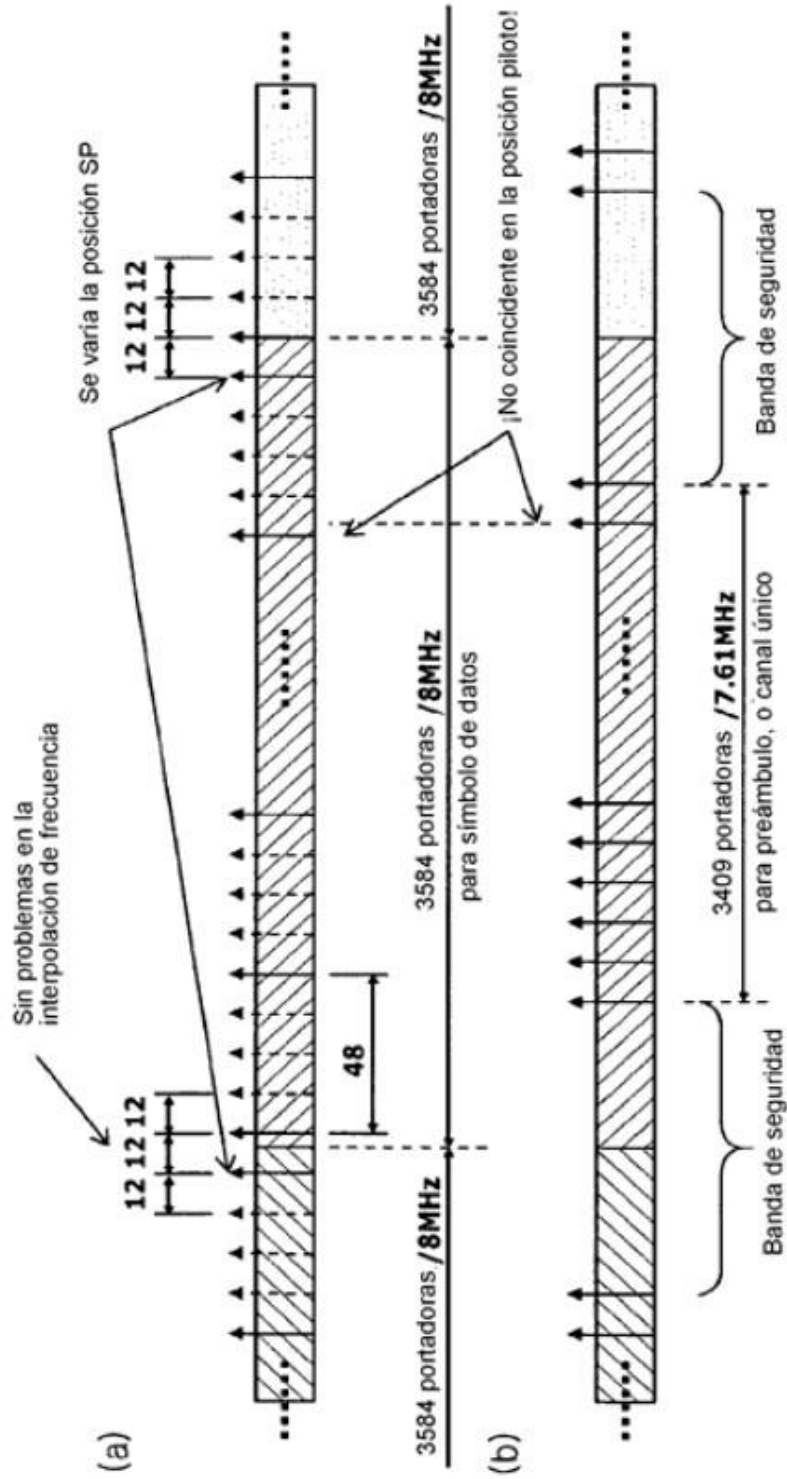


Fig. 45

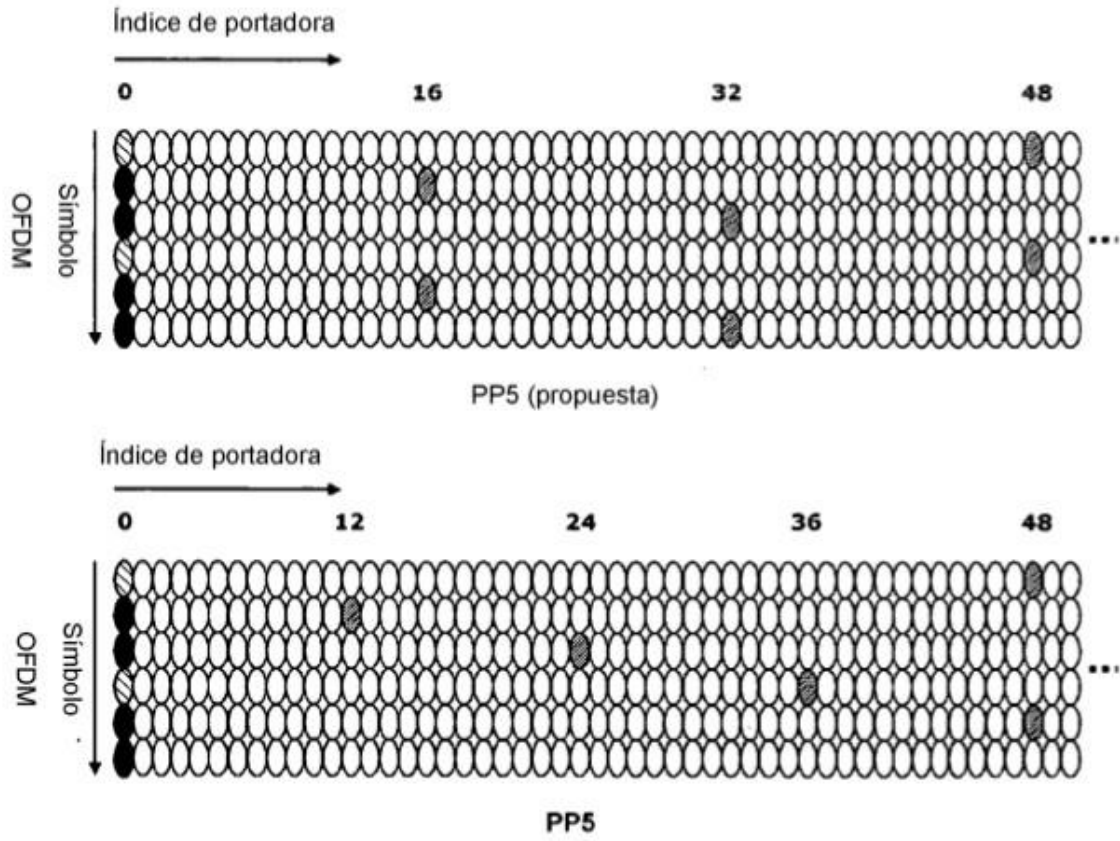


Fig. 46

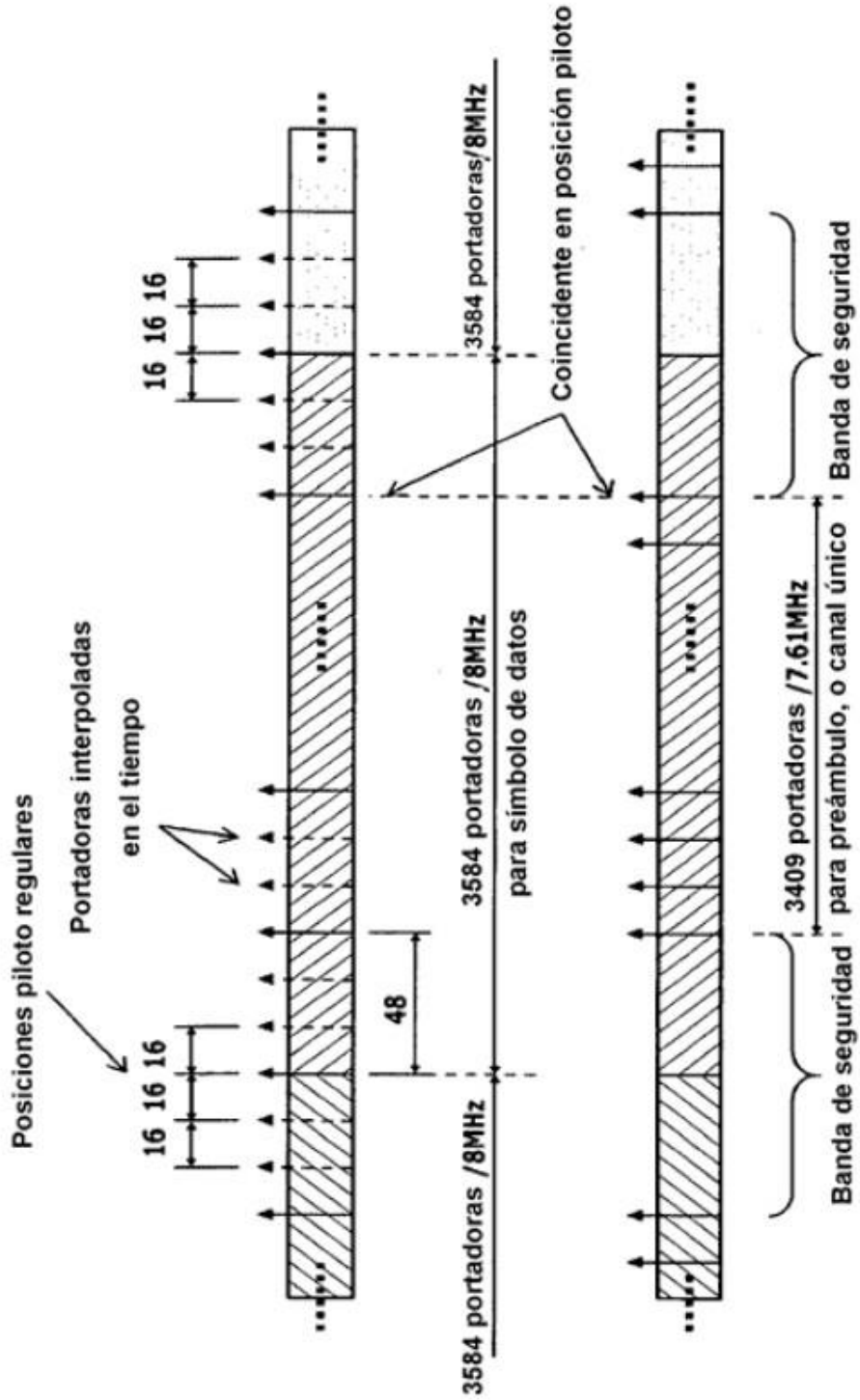


Fig. 47

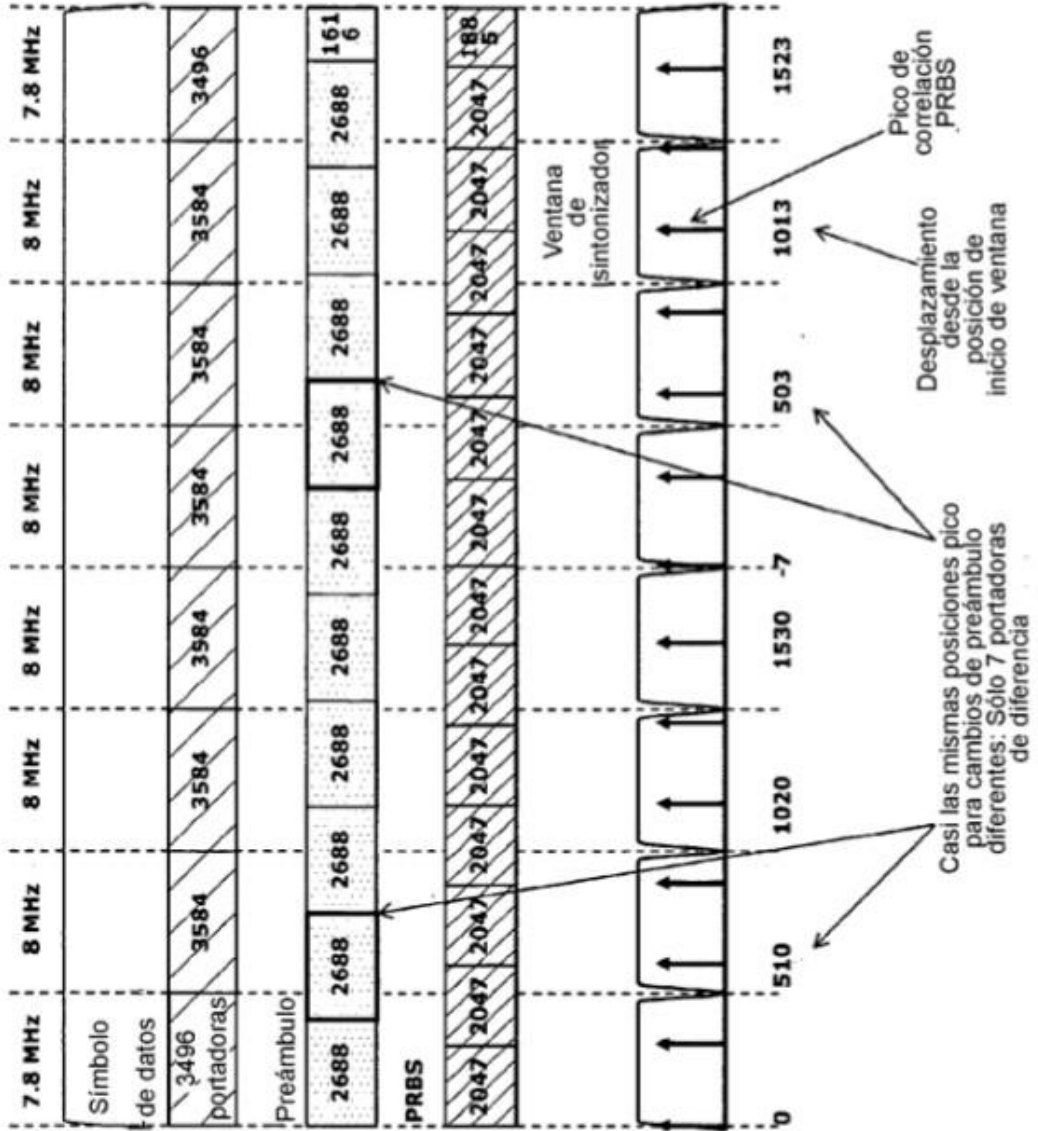


Fig. 48

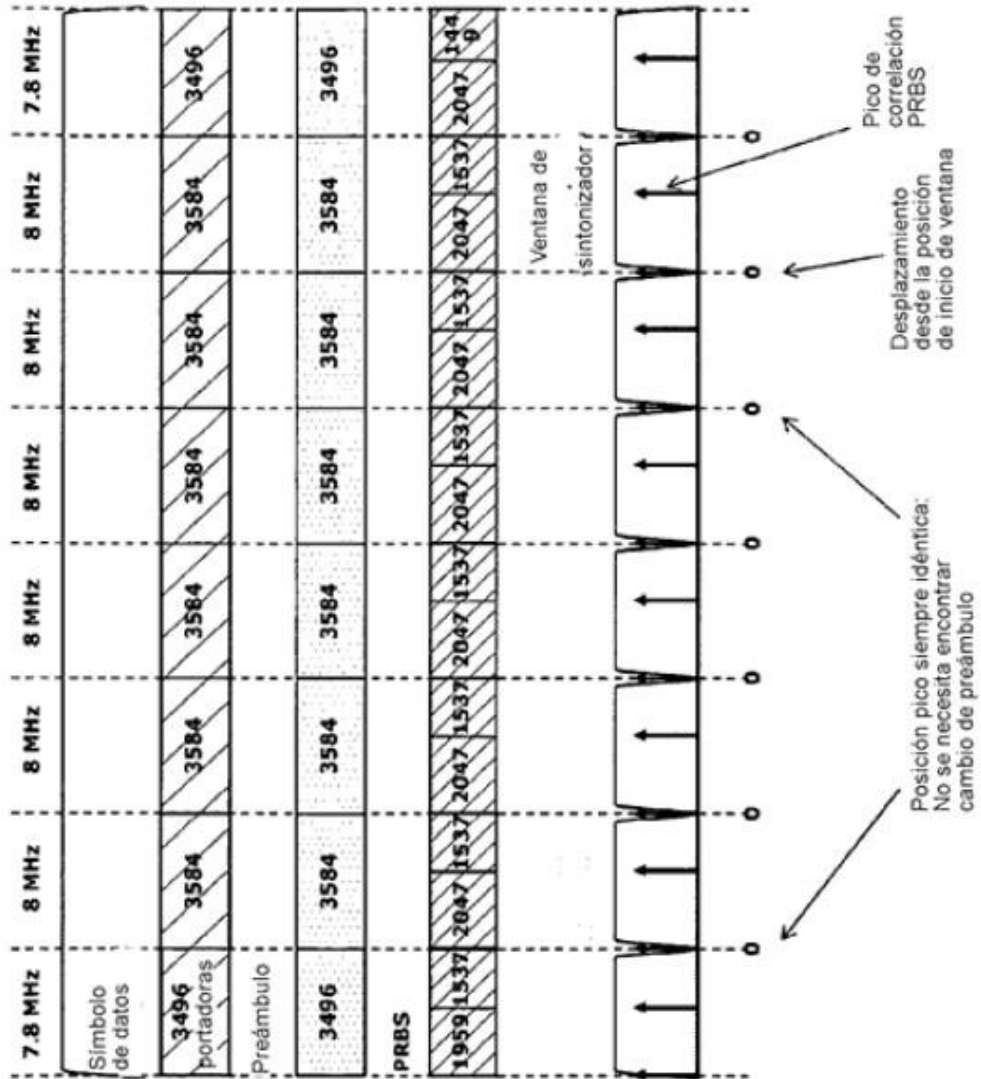


Fig. 49

Retardo (μs)	0.2	0.4	0.8	1.2	2.5	15
At. (dB)	-11	-14	-17	-23	-32	-40

Trayectoria de retardo despreciable

Fig. 50

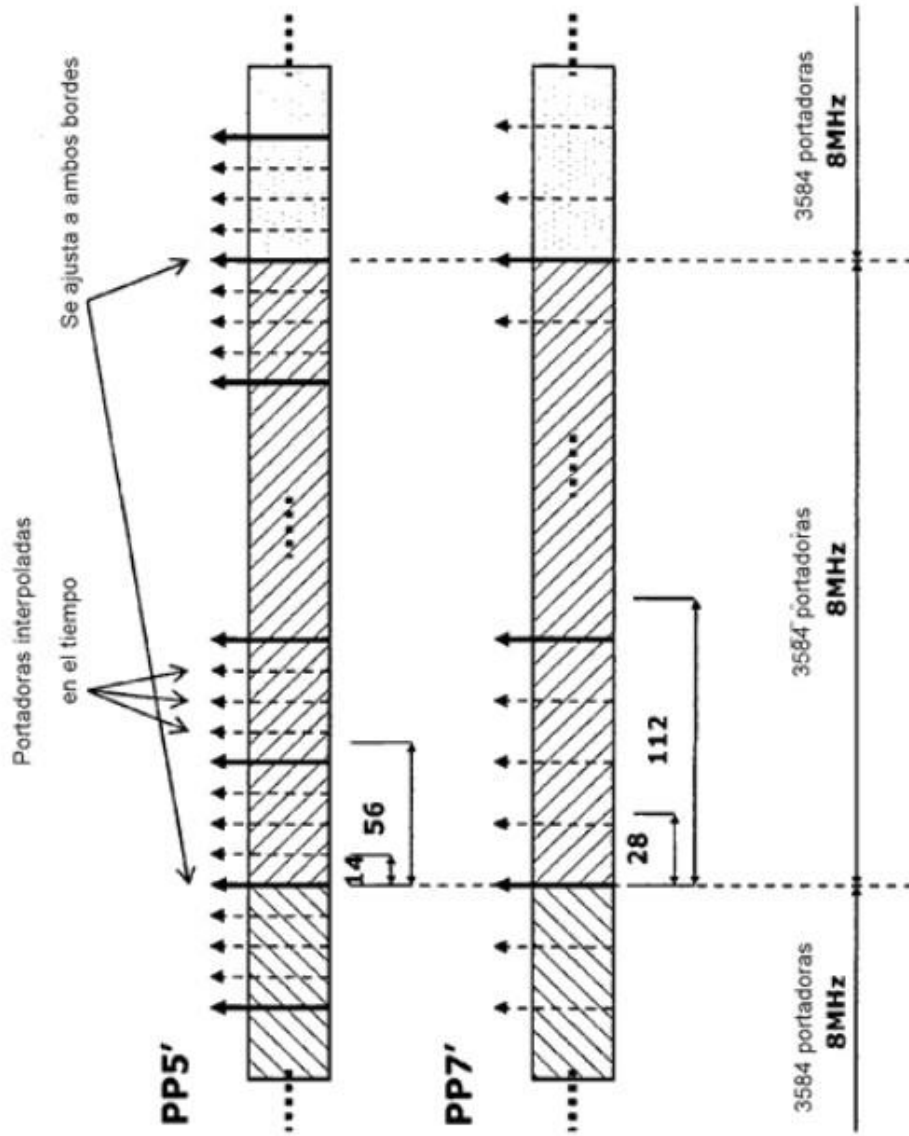


Fig. 51

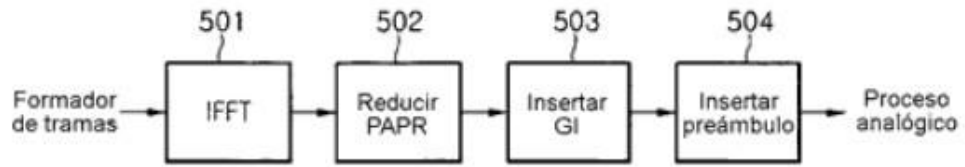


Fig. 52

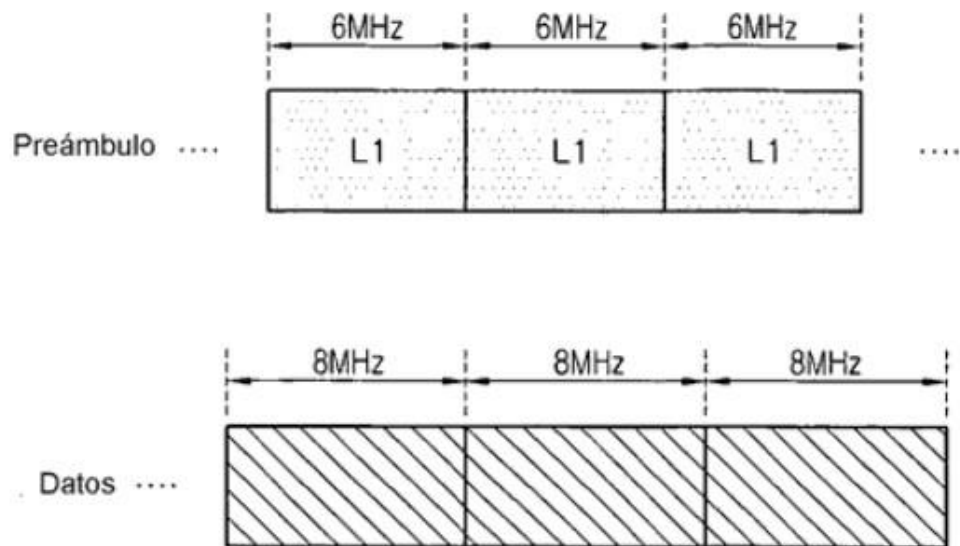


Fig. 53

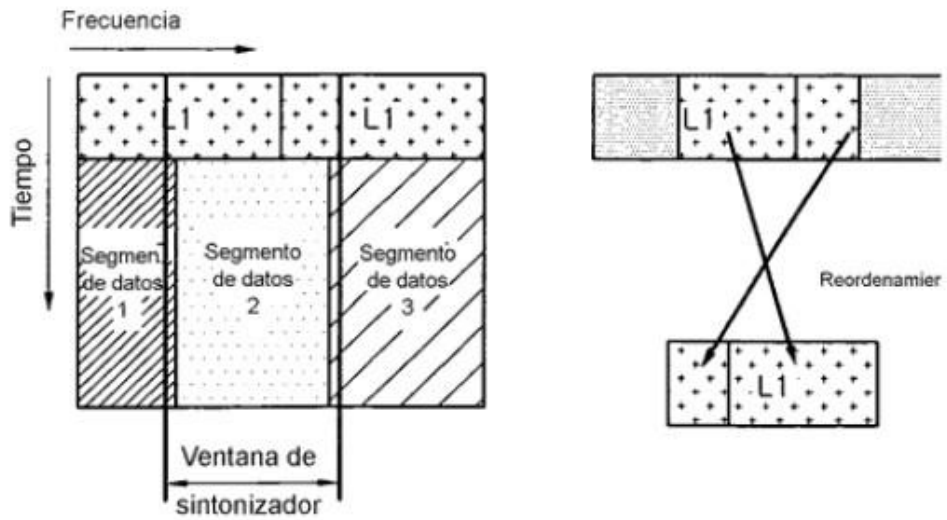


Fig. 54

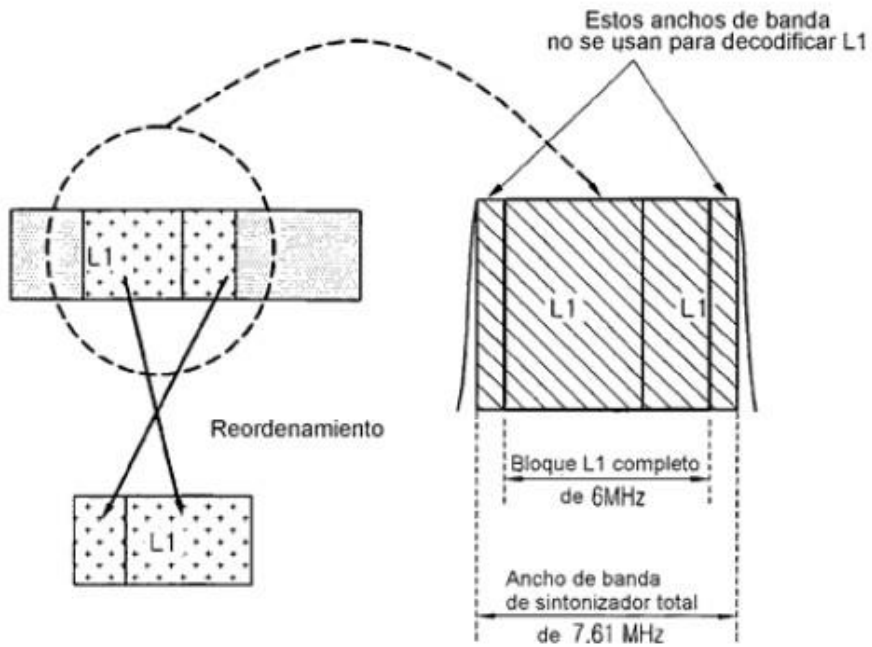


Fig. 55

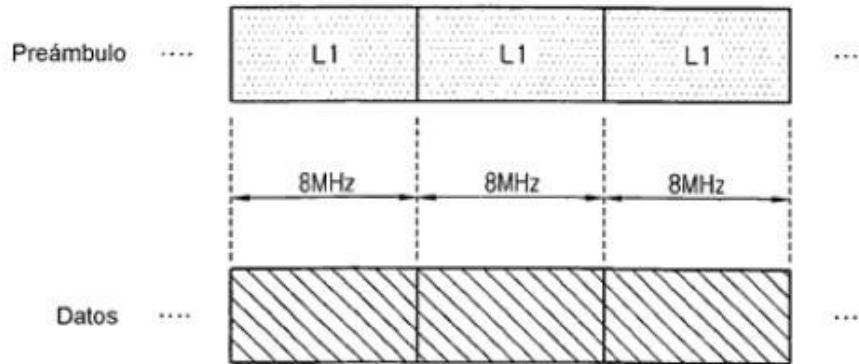


Fig. 56

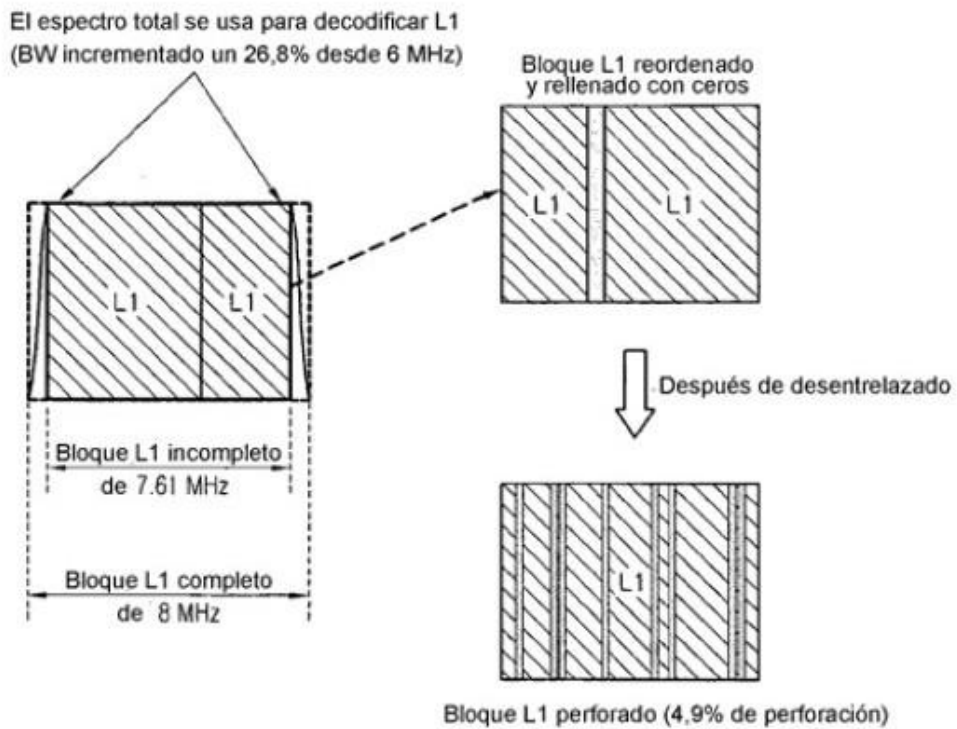


Fig. 57

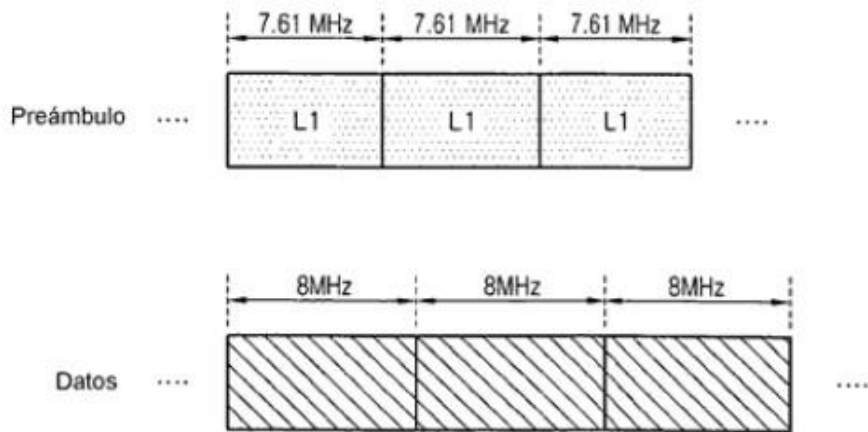


Fig. 58

El espectro total se usa para decodificar L1  
(BW incrementado un 26,8% desde 6 MHz)

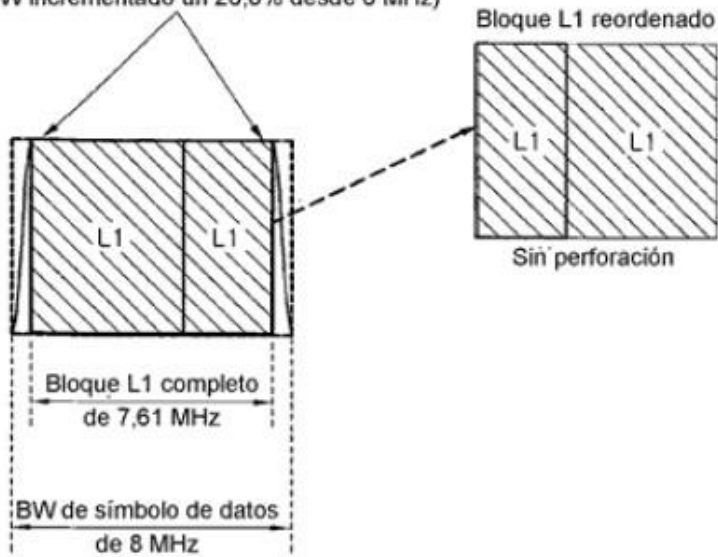


Fig. 59

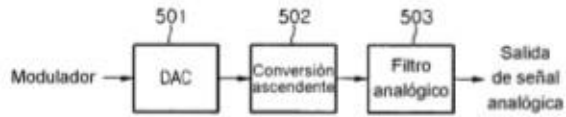


Fig. 60



Fig. 61



Fig. 62

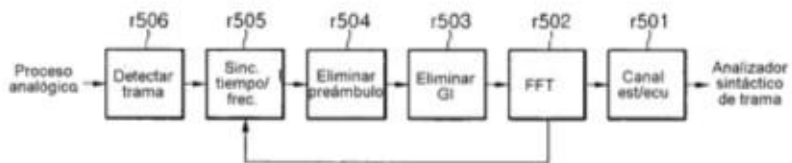


Fig. 63

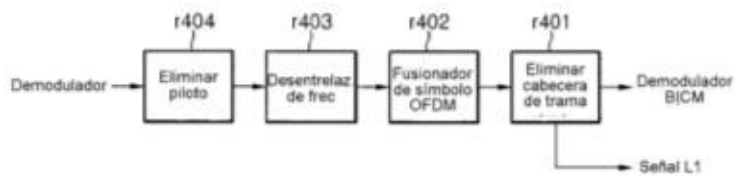


Fig. 64

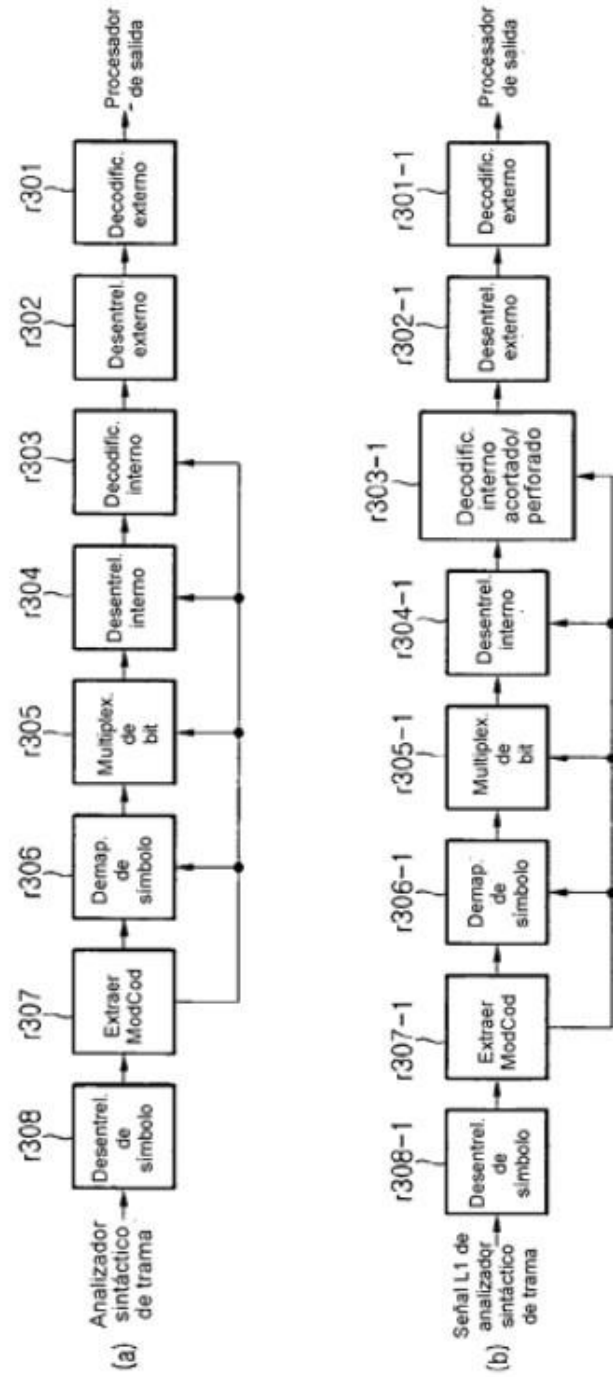


Fig. 65

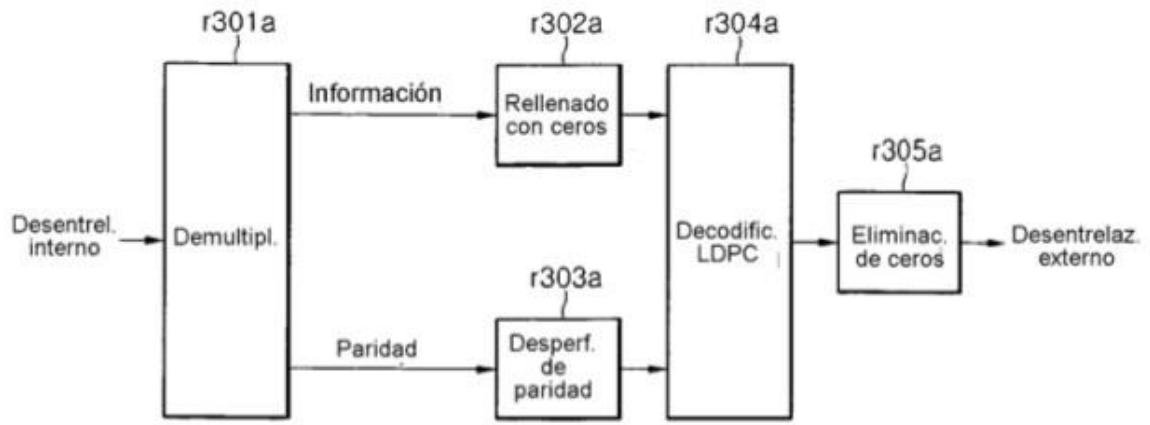


Fig. 66

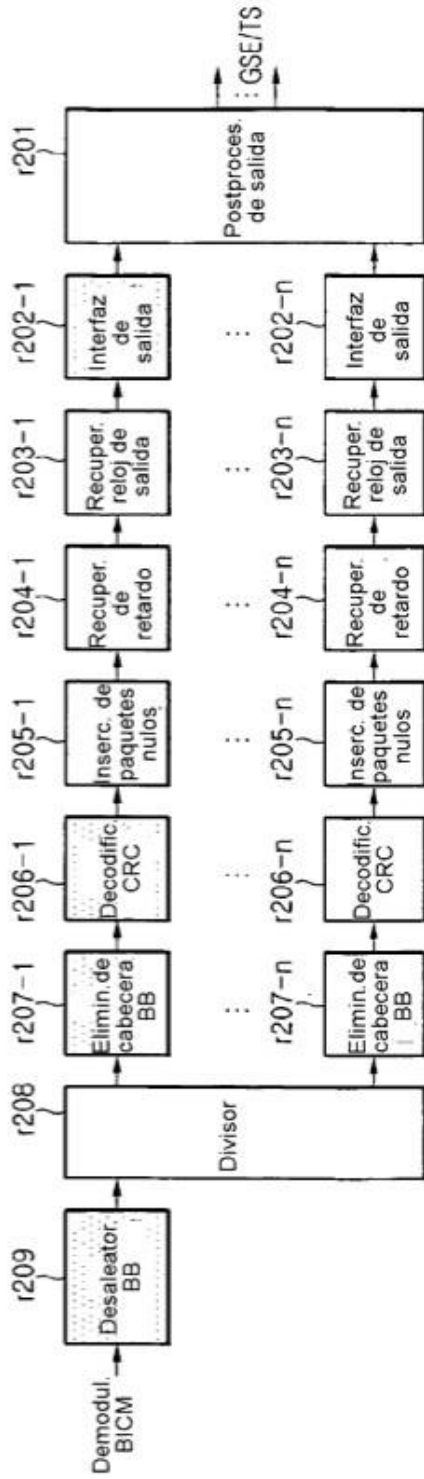


Fig. 67

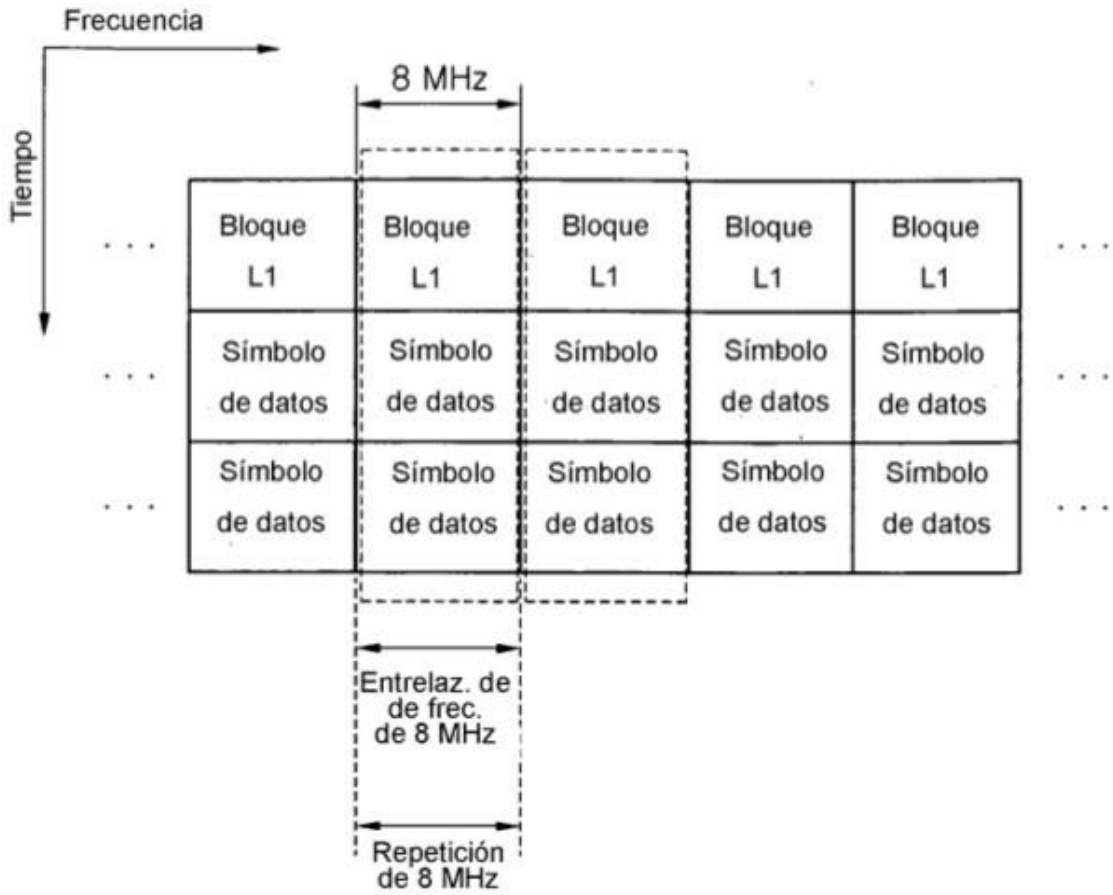


Fig. 68

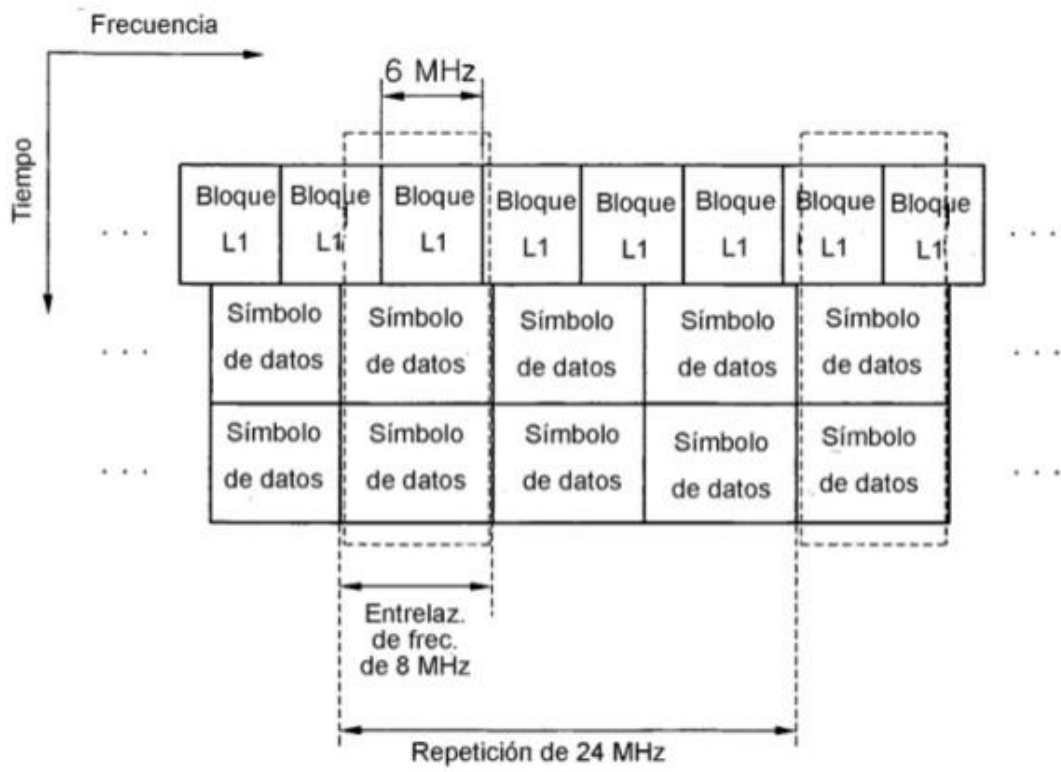


Fig. 69

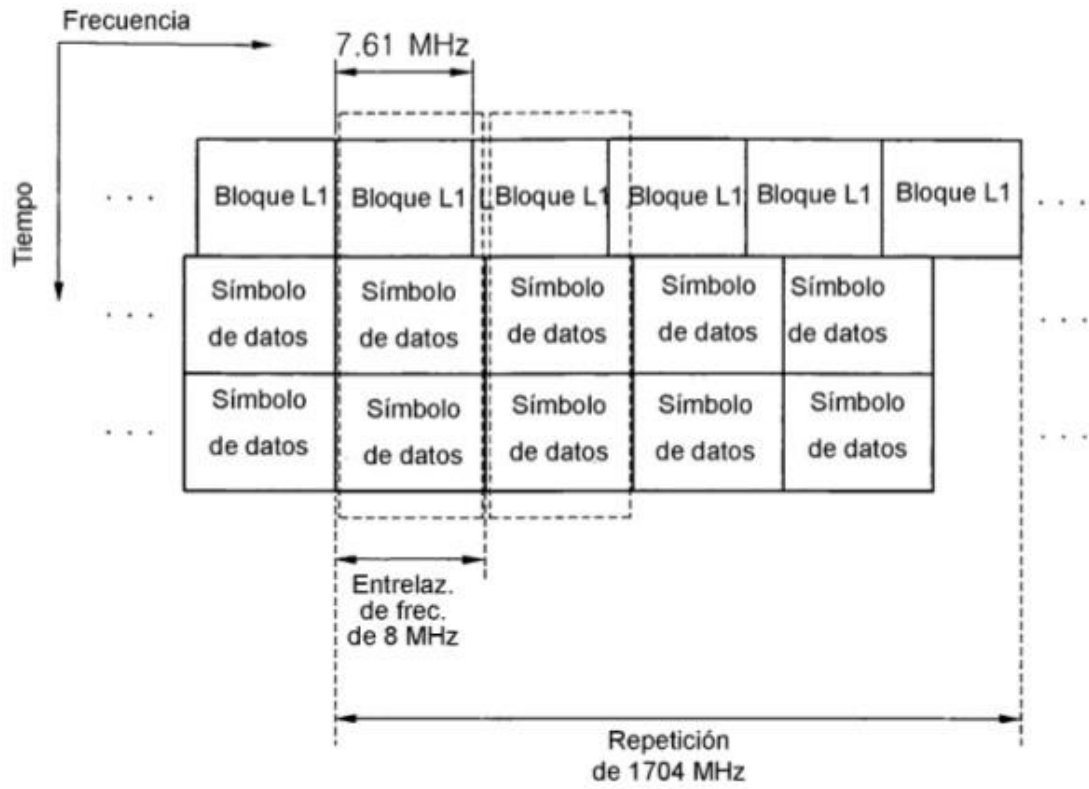


Fig.70

Campo	Bits	
L1_span	12	Número de portadoras abarcadas por el bloque L1 dentro de un símbolo OFDM (Max=7,61 MHz)
num_chbon	3	Número de canales unidos
num_dslice	8	Número de segmentos de datos
num_plp	8	Número de PLP
num_notch	5	Número de bandas de ranura
for dslice {		
chbon_index	3	Índice de canal unido
dslice_start	9	Inicio de segmento de datos dentro de un canal (8 MHz)
dslice_width	9	Ancho de segmento de datos
}		
for plp {		
dslice_id	8	ID segmentado de datos
plp_id	8	ID PLP
plp_type	1	Tipo de PLP (común/datos)
plp_payload_type	5	Tipo de carga útil PLP (TS, GS, ...)
}		
for notch {		
chbon_index	3	Índice de canal unido
notch_start	9	Inicio de banda de ranura dentro de un canal (8MHz)
notch_width	9	Ancho de banda de ranura
}		
gi	1	Modo de intervalo de seguridad
sframe_id	16	ID de supertrama
frame_id	16	ID de trama
reserved	0	rú
crc32	32	CRC32
Total	11760	

El número de bits de información L1 varía según diversas configuraciones/condiciones

**Fig. 71**

Info L1 (bits)	11760
Bloque L1 (bits)	23520
Símbolos 16 - QAM	5880
Portadoras totales	3408
Distancia SP de preámbulo	6
Portadoras de datos	2840
LDPC corto	1.45
Símbolos OFDM	2.07

Tamaño máximo

Fig.72

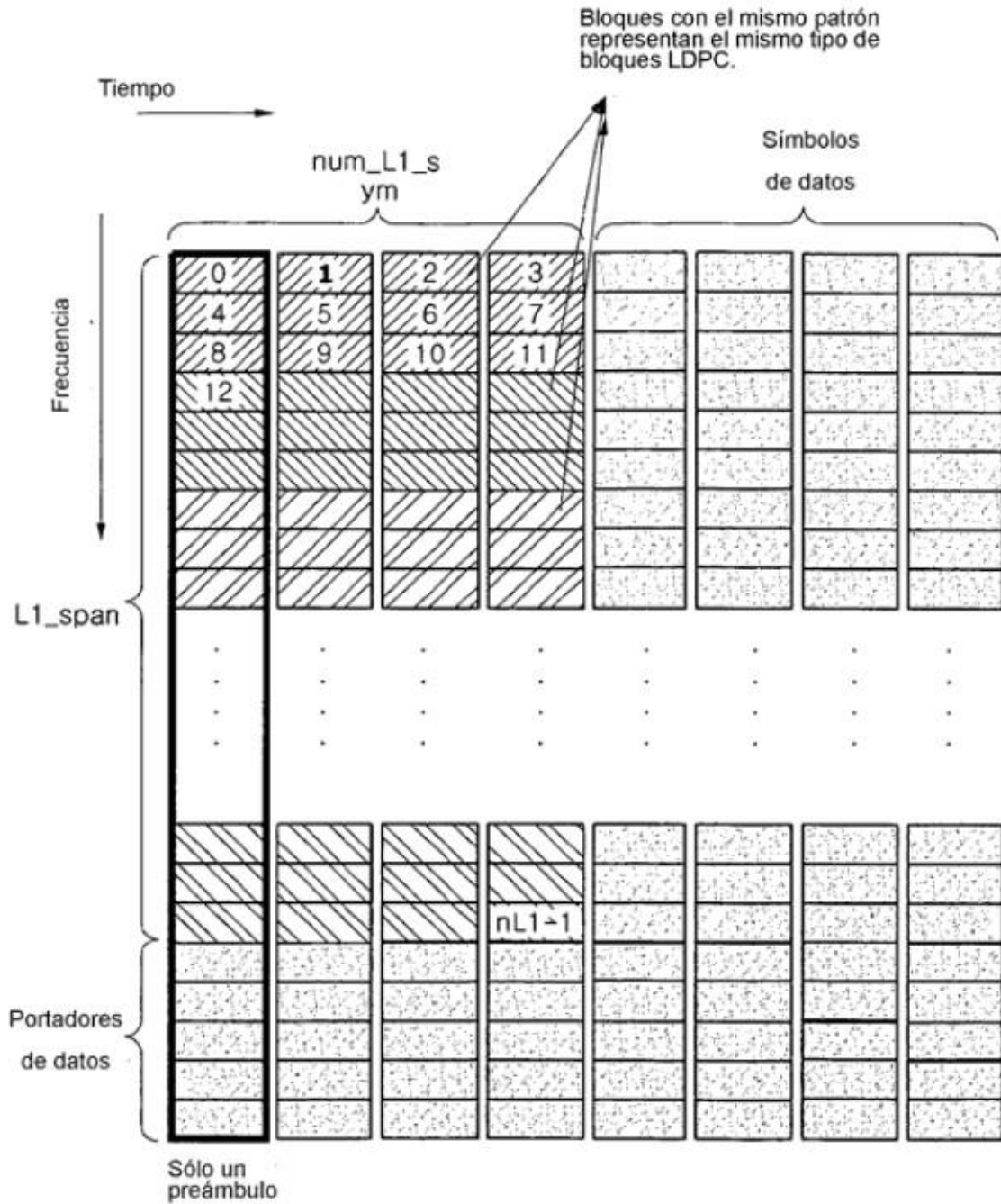


Fig.73

